

JAERI-M

7062

有限要素法による三次元渦電流解析

(臨界プラズマ試験装置設計報告・XXXVII)

1977年5月

高野 一郎^{*}・鈴木 康夫

日本原子力研究所
Japan Atomic Energy Research Institute

この報告書は、日本原子力研究所が JAERI-M レポートとして、不定期に刊行している研究報告書です。入手、複製などのお問合せは、日本原子力研究所技術情報部（茨城県那珂郡東海村）あて、お申しこしください。

JAERI-M reports, issued irregularly, describe the results of research works carried out in JAERI. Inquiries about the availability of reports and their reproduction should be addressed to Division of Technical Information, Japan Atomic Energy Research Institute, Tokai-mura, Naka-gun, Ibaraki-ken, Japan.

有限要素法による三次元渦電流解析
(臨界プラズマ試験装置設計報告・XXXVII)

日本原子力研究所東海研究所大型トカマク開発部

高野一郎^{*}・鈴木康夫

(1977年4月4日受理)

臨界プラズマ試験装置 (JT-60) の各部に誘起される渦電流を三次元的に解析するためには有限要素法を適用した。解析方法として、外部供給電流を発生源とするベクトル・ポテンシャル法の他に、新たに、外部印加磁界を発生源とする変形ベクトル・ポテンシャル法を考案し、この二つの方法について、主として、理論的検討を行った。

変形ベクトル・ポテンシャル法に関しては、正方形断面の円形ループにおける電流の表皮効果を調べ、すでに知られている解析解と比較・検討した。その結果、この解析方法には問題がないことが判った。

* 外来研究員：東京芝浦電気株式会社 総合研究所

Three-Dimensional Analysis of Eddy Current with the Finite Element Method

Ichiro TAKANO^{*} and Yasuo SUZUKI

Division of Large Tokamak, Development, Tokai, JAERI

(Received April 4, 1977)

The finite element method is applied to three-dimensional analysis of eddy current induced in a large Tokamak device (JT-60).

Two techniques to study the eddy current are presented: those of ordinary vector potential and modified vector potential. The latter is originally developed for decreasing dimension of the global matrix. Theoretical treatment of these two is given.

The skin effect for alternate current flowing in the circular loop of rectangular cross section is examined as an example of the modified vector potential technique, and the result is compared with analytical one. This technique is useful in analysis of the eddy current problem.

* Tokyo Shibaura Electric Co. Inc., Toshiba Research & Development Center, Kawasaki

目 次

	頁
第1章 はじめに	1
第2章 解析方法	3
2.1 基礎方程式	3
2.1.1 ベクトル・ポテンシャル法	3
2.1.2 変形ベクトル・ポテンシャル法	6
2.2 有限要素法の導入	9
2.2.1 ベクトル・ポテンシャル法	9
2.2.2 変形ベクトル・ポテンシャル法	13
2.3 形状関数	16
第3章 計算結果と検討	21
3.1 臨界プラズマ試験装置における周期条件及び上下対称境界条件	21
3.2 変形ベクトル・ポテンシャル法の計算コード	23
3.3 変形ベクトル・ポテンシャル法の計算例とその計算結果	25
3.4 検討	30
第4章 まとめ	36
謝辞	36
参考文献	37
付録I ゲージと境界条件	38
付録II 形状関数の積分	40
付録III 外部磁界 $\mathbf{H}^{(e)}$, 外部ベクトル・ポテンシャル $\mathbf{A}^{(e)}$ の表式	46
付録IV 変形ベクトル・ポテンシャル法の計算コード	49
付録V ベクトル・ポテンシャル法の改良	86

1 はじめに

臨界プラズマ試験装置（JT-60）を設計するにあたり、この装置を構成する種々の機構、すなわち、トロイダル・コイル、ポロイダル・コイル、真空容器、ライナー等において誘起される渦電流、およびこの電流がつくる磁界を解析することが重要になっている。渦電流がつくる磁界は、プラズマに影響を及ぼし、プラズマを上下左右に変位させたり、プラズマの断面形状を変えたりする。又、この磁界は、各種コイルに誘起電圧を発生させ、電源電圧を変動させる。さらに、JT-60の種々の機構には、この渦電流に働く電磁力に耐える様な構造強度を持たせておかねばならない。この様に、渦電流とこの電流がつくる磁場を解析することは、JT-60のプラズマ位置断面制御設計、電源設計、及び本体の機械設計において、非常に重要な要素のひとつとなっている。

今までに、JT-60の一つの機構（たとえば、真空容器）に誘起される渦電流については検討が成されている^{(1), (2)}。ところが、JT-60の構造は非常に複雑で、JT-60の各部において誘起される渦電流同志が相互に作用し合う。この状態に対処するため、すでに、構造解析の分野でその手法が確立されている有限要素法を、JT-60の渦電流解析に適用することが考えられる。

有限要素法の渦電流解析への適用については、すでに、J. Donea ら⁽³⁾や M. V. K. Chari⁽⁴⁾が試みている。さらに、有限要素法を磁場解析や電気機器の解析に応用することも行われている^{(5), (6)}。上記の文献では、解析の対象として、二次元の問題を取り扱っている。

JT-60の渦電流解析も、J. Donea らの文献に従って、まず二次元問題から始められた⁽⁷⁾。この場合、JT-60の構造はトロイダル方向に一様であるという制限が付くため、真空容器の厚肉部とベローズ部、あるいはトロイダル・コイルのポロイダル・カット等を解析の対象にすることができない。

以上のことから考慮して、本報告では、有限要素法の三次元渦電流解析への適用について述べる。解析方法としては、外部供給電流を発生源とするベクトル・ポテンシャル法の他に、新たに、外部印加磁界を発生源とする変形ポテンシャル法を考案し、この二つの方法について述べる。ベクトル・ポテンシャル法では、 $\nabla \cdot \mathbf{B} = 0$ より、 $\mathbf{B} = \nabla \times \mathbf{A}$ なるベクトル・ポテンシャル \mathbf{A} が定義される。他方、変形ポテンシャル法では、 $\nabla \cdot \mathbf{i} = 0$ より、 $\mathbf{i} = \nabla \times \mathbf{F}$ なるベクトル・ポテンシャル \mathbf{F} を定義する。このようなベクトル・ポテンシャルを電磁気の解析に導入する方法は、S. Caeymaex や C.W. Trowbridge の文献^{(8), (9)}に見られる。これらの文献では、加速器用のマグネットを設計するために、鉄心を有する場合の静磁界について解析を行っており、このベクトル・ポテンシャルを変形ベクトル・ポテンシャル (Modified vector potential)、これに付随して導びき出されるスカラー・ポテンシャルを変形スカラー・ポテンシャル (Modified scalar potential) と呼んでいる。本報告においても、この名称を用いることとする。

JT-60の渦電流解析に変形ベクトル・ポテンシャルを用いた場合、境界条件がどうなる

かについては、筆者の知る限りにおいて、明らかではない。又、ベクトル・ポテンシャルの境界条件については、通常、あるゲージを指定した上で決められる⁽¹⁰⁾。ところが、後述するように、有限要素法を適用する場合、ゲージに検討を加えておく必要がある。従って、ベクトル・ポテンシャルの境界条件についても検討を要することになる。以上のことから、ベクトル・ポテンシャル法とともに、境界条件を明確にしておく必要がある。従って、本報告では、境界条件の導出過程も述べることにする。

有限要素法に関しては、文献(11)、(12)を参考にし、すでに確立された手法に従って、定式化を進めて行く。

以下、第2章に解析方法を述べ、最終的に、要素方程式を導く。第3章では、主に、変形ベクトル・ポテンシャル法の計算コード、及び計算例について述べ、検討を行う。第4章はまとめである。

なお、使用する単位系はすべてMKS有理単位系とする。また、記号に付される \cdot はこの記号が複素数であることを意味するものとする。たとえば、 $\dot{\mathbf{X}}$ は、ベクトル $\dot{\mathbf{X}}$ の成分が複素数であることを意味する。

2 解析方法

2.1 基礎方程式

等方でかつ均質な電磁的性質を有する(導電性)媒質、すなわち磁気透磁率 μ 、導電率 σ 、誘電率 ϵ が一定である媒質を含む系に、外部から複素表示で $\dot{i}^{(e)} e^{j\omega t}$ の電流密度が供給されているものとする。ここに $\dot{i}^{(e)}$ は位置にのみ依存する複素関数である。この時、Maxwellの電磁方程式は、変位電流を無視すると、次のように表わされる。

$$\nabla \times \dot{H} = \dot{i} + \dot{i}^{(e)} \quad (1)$$

$$\nabla \times \dot{E} = -j\omega \dot{B} \quad (2)$$

さらに、

$$\nabla \cdot \dot{B} = 0 \quad (3)$$

$$\nabla \times \dot{D} = \dot{\rho} \quad (4)$$

$$\dot{B} = \mu \dot{H} \quad (5)$$

$$\dot{D} = \epsilon \dot{E} \quad (6)$$

$$\dot{i} = \sigma \dot{E} \quad (7)$$

が成り立つ。電界 \dot{E} 、磁界 \dot{H} 、磁束密度 \dot{B} 、電気変位 \dot{D} 、電流密度 \dot{i} 、電荷密度 $\dot{\rho}$ は、いずれも、 $\dot{i}^{(e)}$ と同様、位置にのみ依存する複素関数であって、 $e^{j\omega t}$ の振幅を与える。さらに、外部供給電流密度 $\dot{i}^{(e)}$ に対して、

$$\nabla \cdot \dot{i}^{(e)} = 0 \quad (8)$$

が成り立つものとする。 \dot{i} は $\dot{i}^{(e)}$ により誘起される電流密度であって、渦電流そのものである。

以下に、ベクトル・ポテンシャル法と変形ベクトル・ポテンシャル法に対する基礎方程式を導く。

2.1.1 ベクトル・ポテンシャル法

式(3)は考へている電磁系の至る所で成り立つ。従って、通常の電気磁気学の通り、

$$\dot{B} = \nabla \times \dot{A} \quad (9)$$

により、ベクトル・ポテンシャル $\dot{\mathbf{A}}$ を定義する。この時、式(2)より、

$$\dot{\mathbf{E}} = -j\omega \dot{\mathbf{A}} - \nabla \dot{\phi} \quad (10)$$

が導びかれる。 $\dot{\phi}$ はスカラー・ポテンシャルである。本報告では、表式を簡便にするため、 $\dot{\phi}$ の代りに、

$$\dot{\Phi} = \frac{\dot{\phi}}{j\omega} \quad (11)$$

を用いる。従って、

$$\dot{\mathbf{E}} = -j\omega (\dot{\mathbf{A}} + \nabla \dot{\Phi}) \quad (12)$$

となる。式(1)、式(5)、式(7)、式(9)、式(12)を用いて、次式が得られる。

$$\frac{1}{\mu} \nabla \times \nabla \times \dot{\mathbf{A}} + j\omega \sigma (\dot{\mathbf{A}} + \nabla \dot{\Phi}) = \dot{\mathbf{i}}^{(e)} \quad (13)$$

媒質の表面を除いて、式(1)より

$$\nabla \cdot \dot{\mathbf{i}} = 0 \quad (14)$$

従って、

$$\nabla \cdot \dot{\mathbf{E}} = 0 \quad (15)$$

が成り立つ。式(12)を上式に代入して、

$$\nabla \cdot \dot{\mathbf{A}} + \nabla^2 \dot{\Phi} = 0 \quad (16)$$

が得られる。媒質中では、ベクトル・ポテンシャル $\dot{\mathbf{A}}$ とスカラー・ポテンシャル $\dot{\Phi}$ を、式(13)と式(16)を連立させて解かねばならない。

真空中の基礎方程式としては、式(13)の導電率 σ を零とおくだけによく、

$$\frac{1}{\mu} \nabla \times \nabla \times \dot{\mathbf{A}} = \dot{\mathbf{i}}^{(e)} \quad (17)$$

となる。 $\dot{\mathbf{i}}^{(e)}$ を伝導電流 (conduction current) によるものと考えると、真空中ではこの電流は流れ得ず、 $\dot{\mathbf{i}}^{(e)} \equiv 0$ となる。しかし、本報告では、この様に $\dot{\mathbf{i}}^{(e)}$ の物理的性質を限定する必要はなく、真空中でも $\dot{\mathbf{i}}^{(e)}$ が存在しうるものとして取り扱うこともできる。この取り扱いは、 $\dot{\mathbf{i}}^{(e)}$ をあくまで伝導電流と見なし、 $\dot{\mathbf{i}}^{(e)} = \lim_{\sigma \rightarrow 0} \sigma \times \lim_{\dot{\mathbf{E}}^{(e)} \rightarrow \infty} \dot{\mathbf{E}}^{(e)}$ が有限の確定値を持つ (13) と考えることと同等である。

真空中の基礎方程式としては、式(17)の他に、媒質中と同様、式(16)が得られる。これは、真空中では、電荷が存在し得ず、式(4)の ρ が零となることより、導びかれる。真空中では、式(17)の中に $\dot{\Phi}$ の項がないため、媒質中のように二つの方程式を連立させて解く必要がない。 $\dot{\mathbf{A}}$ が式(17)より確定した後に、式(16)を解いて、 $\dot{\Phi}$ を求める。真空中の $\dot{\mathbf{E}}$ を求める必要がある場合には、式(16)を解かねばならないが、真空中の $\dot{\mathbf{B}}$ あるいは $\dot{\mathbf{H}}$ だけを求める

場合には、式(16)を解く必要はない。

今、任意の関数 χ を選び、 $\dot{\mathbf{A}}' = \dot{\mathbf{A}} - \nabla \chi$, $\dot{\Phi}' = \dot{\Phi} + \chi$ とおく。すると、 $\dot{\mathbf{A}}'$, $\dot{\Phi}'$ も媒質中および真空中の基礎方程式の解となる(ゲージ不変性)。従って、二つの基礎方程式だけでは、 $\dot{\mathbf{A}}$, $\dot{\Phi}$ は一意的に決まらない。このため、通常、ローレンツ・ゲージ、あるいはクーロン・ゲージが用いられる。しかし、本報告のように有限要素法を適用する場合には、有限要素内で $\dot{\mathbf{A}}$, $\dot{\Phi}$ に何らかの近似を行うため、上の二つのゲージとは全く別のゲージが選ばれることもある。このゲージについては第3章で検討することにする。

この節の最後に境界条件について述べる。境界には、媒質と真空との境界、媒質と媒質との境界の二つの境界がある。

媒質と真空との境界条件

媒質中と真空中との区別を付けるために、媒質中では添字 m 、真空中では添字 v を用いる。たとえば、 $\dot{\mathbf{E}}_m$ は媒質中の電界、 $\dot{\mathbf{E}}_v$ は真空中の電界を意味するものとする。すでに良く知られている通り、

$$\dot{\mathbf{H}}_{m\parallel} = \dot{\mathbf{H}}_{v\parallel} \quad (18)$$

$$\dot{\mathbf{B}}_{m\perp} = \dot{\mathbf{B}}_{v\perp} \quad (19)$$

$$\dot{\mathbf{E}}_{m\parallel} = \dot{\mathbf{E}}_{v\parallel} \quad (20)$$

$$\dot{\mathbf{E}}_{m\perp} = 0, \quad \dot{\mathbf{E}}_{v\perp} = (w/\epsilon_0) \mathbf{n} \quad (21)$$

ここに、添字 \parallel と添字 \perp は、それぞれ、境界面に平行な成分と垂直な成分を意味する。 \mathbf{n} は境界面上に垂直な単位ベクトル、 w は境界面上の表面電荷密度である。

$\dot{\mathbf{A}}$ と $\dot{\Phi}$ に対する境界条件は次の様になる。前述した様に Φ は任意の関数 χ だけの不定性を持つから、媒質中の χ_m 、真空中の χ_v を適当に選ぶことにより、

$$\dot{\Phi}_m = \dot{\Phi}_v \quad (22)$$

$$\dot{\mathbf{A}}_{m\perp} = \dot{\mathbf{A}}_{v\perp} \quad (23)$$

とすることができる(付録I)。

式(22)より $(\nabla \dot{\Phi}_m)_\parallel = (\nabla \dot{\Phi}_v)_\parallel$ が得られ、式(12)と式(20)を用いると、

$$\dot{\mathbf{A}}_{m\parallel} = \dot{\mathbf{A}}_{v\parallel} \quad (24)$$

が得られる。式(21)、式(22)、式(23)を用いて

$$\frac{\partial \dot{\Phi}_m}{\partial \mathbf{n}} - \frac{\partial \dot{\Phi}_v}{\partial \mathbf{n}} = \frac{w}{j \omega \epsilon_0} \quad (25)$$

となる。ここに、 $\partial/\partial n$ は境界面に垂直な方向の勾配を取ることを意味する。

媒質と媒質との境界条件

$\dot{H}_\parallel, \dot{B}_\perp, \dot{E}_\parallel, \dot{\Phi}, \dot{A}$ の境界条件は媒質と真空中との境界条件と全く同様で、 \dot{E}_\perp の境界条件だけが異なる。媒質が異なることを示すために添字 1, 2 を用いる。たとえば i_1 は媒質 1 における電流密度、 i_2 は媒質 2 における電流密度を意味するものとする。新たな境界条件は、

$$\dot{i}_{1\perp} = \dot{i}_{2\perp} \quad (26)$$

従って、

$$\sigma_1 \dot{E}_{1\perp} = \sigma_2 \dot{E}_{2\perp} \quad (27)$$

となる。この場合、

$$\sigma_1 \frac{\partial \dot{\Phi}_1}{\partial n} - \sigma_2 \frac{\partial \dot{\Phi}_2}{\partial n} = \sigma_2 \dot{A}_{2\perp} - \sigma_1 \dot{A}_{1\perp} = (\sigma_2 - \sigma_1) \dot{A}_{1\perp} \quad (28)$$

$$\begin{aligned} \dot{w} &= \dot{D}_{2\perp} - \dot{D}_{1\perp} \\ &= j\omega \left\{ (\epsilon_1 - \epsilon_2) \dot{A}_{1\perp} + \epsilon_1 \frac{\partial \dot{\Phi}_1}{\partial n} - \epsilon_2 \frac{\partial \dot{\Phi}_2}{\partial n} \right\} \end{aligned} \quad (29)$$

の関係が成り立つ。 $\epsilon_1 = \epsilon_2 = \epsilon$ の場合には、

$$\dot{w} = j\omega \epsilon \left(\frac{\partial \dot{\Phi}_1}{\partial n} - \frac{\partial \dot{\Phi}_2}{\partial n} \right) \quad (30)$$

となる。このように、境界面には、常に、電荷密度が存在することになる。

$\epsilon_1 = \epsilon_2 = \epsilon$ の場合、明らかに次式が成り立つ。

$$\dot{E}_{2\perp} - \dot{E}_{1\perp} = j\omega \left(\frac{\partial \dot{\Phi}_1}{\partial n} - \frac{\partial \dot{\Phi}_2}{\partial n} \right) = \frac{\dot{w}}{\epsilon} \quad (31)$$

2.1.2 変形ベクトル・ポテンシャル法

変形ベクトル・ポテンシャル法で渦電流を求める際には、媒質はすべて単連結であることが条件になる。以下に、媒質中と真空中において成り立つ基礎方程式を与える。

媒質中の基礎方程式

$$\nabla \times \dot{H}^{(e)} = \dot{i}^{(e)} \quad (32)$$

とおき、新たに、磁界 \dot{h} を

$$\dot{h} = \dot{H} - \dot{H}^{(e)} \quad (33)$$

と定義する。この時、式(1)より

$$\nabla \times \dot{\mathbf{h}} = \dot{\mathbf{i}} \quad (34)$$

が得られる。この式より

$$\nabla \cdot \dot{\mathbf{i}} = \nabla \cdot (\nabla \times \dot{\mathbf{h}}) \equiv 0 \quad (35)$$

となる。 $\nabla \cdot \dot{\mathbf{B}} = 0$ よりベクトル・ポテンシャル $\dot{\mathbf{A}}$ を定義した様に、式(35)より、変形ベクトル・ポテンシャル $\dot{\mathbf{F}}$ を定義することができる。

$$\dot{\mathbf{i}} = \nabla \times \dot{\mathbf{F}} \quad (36)$$

式(34)と式(36)より

$$\dot{\mathbf{h}} = \dot{\mathbf{F}} + \nabla \dot{\Omega}_m \quad (37)$$

が得られる。ここに $\dot{\Omega}_m$ を変形スカラー・ポテンシャルと呼ぶ。式(2)、式(5)、式(7)、式(33)式(37)より、

$$\dot{\mathbf{p}} \nabla \times \nabla \times \dot{\mathbf{F}} - \dot{\mathbf{F}} - \nabla \dot{\Omega}_m = \dot{\mathbf{H}}^{(e)} \quad (38)$$

$$\dot{\mathbf{p}} = \frac{\dot{\mathbf{j}}}{\omega \mu \sigma} \quad (39)$$

が得られる。ベクトル・ポテンシャル法では外部供給電流密度が発生源であったが、変形ベクトル・ポテンシャル法では磁界 $\dot{\mathbf{H}}^{(e)}$ が発生源となる。基本方程式としては、式(38)の他に、

$$\nabla \cdot \dot{\mathbf{h}} = 0 \quad (40)$$

すなわち、

$$\nabla \cdot \dot{\mathbf{F}} + \nabla^2 \dot{\Omega}_m = 0 \quad (41)$$

が加わる。式(40)は、

$$\nabla \cdot \dot{\mathbf{H}}^{(e)} = 0 \quad (42)$$

と式(33)より導びかれる。 $\dot{\mathbf{F}}$ と $\dot{\Omega}_m$ には、ベクトル・ポテンシャル法の場合と同様、 $\dot{\mathbf{F}}' = \dot{\mathbf{F}} - \nabla \dot{\chi}$ 、 $\dot{\Omega}'_m = \dot{\Omega}_m + \dot{\chi}$ のゲージ不変性がある。

真空中の基礎方程式

真空中では渦電流 $\dot{\mathbf{i}}$ が存在せず、式(34)より

$$\nabla \times \dot{\mathbf{h}} = 0 \quad (43)$$

同時に、媒質が単連結であることより、

$$\oint_{\ell} \dot{\mathbf{h}} \cdot d\mathbf{l} = \int_S \dot{\mathbf{i}} \cdot d\mathbf{s} = 0 \quad (44)$$

ここに、 ℓ は媒質表面上にある任意の閉曲線、 s は ℓ を外縁とする面とする。式(43)と式(44)より、真空中では、

$$\dot{\mathbf{h}} = \nabla \dot{\Omega}_v \quad (45)$$

とおける。真空中の基礎方程式は、媒質中の場合と同様、式(40)が成り立たねばならないことから導びかれる。

$$\nabla^2 \dot{\Omega}_v = 0 \quad (46)$$

媒質と真空との境界条件

媒質中の $\dot{\Omega}_m$ には、任意の関数 χ の不定性があることを利用して、境界表面で $\dot{\Omega}_m$ と $\dot{\Omega}_v$ を等しくすることができる(付録I)。

$$\dot{\Omega}_m = \dot{\Omega}_v \quad (47)$$

この様にすると、 $(\nabla \dot{\Omega}_m)_n = (\nabla \dot{\Omega}_v)_n$ が成り立つ。このことと、 $\dot{\mathbf{h}}$ の連続性より、境界面では、

$$\dot{\mathbf{F}}_n = 0 \quad (48)$$

となる。次に $\dot{\mathbf{B}}_1$ の連続性より、

$$\mu (\dot{\mathbf{F}}_1 + \frac{\partial \dot{\Omega}_m}{\partial n} \mathbf{n}) = \mu_0 \frac{\partial \dot{\Omega}_v}{\partial n} \mathbf{n} \quad (49)$$

が得られる。上式より、

$$\mu_0 \frac{\partial \dot{\Omega}_v}{\partial n} - \mu \frac{\partial \dot{\Omega}_m}{\partial n} = \mu \dot{\mathbf{F}}_1 \quad (50)$$

となる。式(48)より、境界面では、

$$\dot{\mathbf{i}}_1 = 0 \quad (51)$$

が満足される(式(57)参照)。

媒質と媒質との境界条件

ベクトル・ポテンシャル法の場合と同様、

$$\dot{\Omega}_1 = \dot{\Omega}_2 \quad (52)$$

$$\dot{\mathbf{F}}_{11} = \dot{\mathbf{F}}_{21} \quad (53)$$

と選ぶことができる。 \mathbf{h}_{\parallel} の連続性より

$$\dot{\mathbf{F}}_{1\parallel} = \dot{\mathbf{F}}_{2\parallel} \quad (54)$$

$\dot{\mathbf{B}}_{\perp}$ の連続性より、

$$\mu_1 (\dot{\mathbf{F}}_{1\perp} + \frac{\partial \Omega_1}{\partial n} \mathbf{n}) = \mu_2 (\dot{\mathbf{F}}_{2\perp} + \frac{\partial \Omega_2}{\partial n} \mathbf{n}) \quad (55)$$

さらに \mathbf{F}_{\parallel} の連続性より、

$$\dot{\mathbf{i}}_{1\perp} = \dot{\mathbf{i}}_{2\perp} \quad (56)$$

が得られる。なぜなら、境界面で

$$\begin{aligned} \dot{\mathbf{i}}_{\perp} &= \mathbf{n} \cdot \nabla \times \dot{\mathbf{F}} \\ &= \lim_{\delta S \rightarrow 0} \oint_{\delta \ell} \dot{\mathbf{F}} \cdot d\mathbf{l} / \delta S \end{aligned} \quad (57)$$

が成り立つからである。上式で δS は境界面上の微小面積、 $\delta \ell$ は δS を囲む微小閉曲線である。

2.2 有限要素法の導入

前節で与えた基礎方程式を定められた境界条件の下に解くために、変分法を適用する。このためにはエネルギー汎関数を求める必要がある。実際は基礎方程式と境界条件からエネルギー汎関数を組み上げるのであるが、ここではその過程を省略し、結果のみを記すと次の様になる。

$$\dot{\mathbf{i}}^T = \dot{\mathbf{i}} + \dot{\mathbf{i}}^{(e)} \quad (58)$$

として、

$$\dot{\mathbf{I}}_0(\dot{\mathbf{B}}, \dot{\mathbf{i}}^T) = \sum_{V^{(e)}} \dot{\mathbf{I}}_0^{(e)}(\dot{\mathbf{B}}, \dot{\mathbf{i}}^T) \quad (59)$$

$$\dot{\mathbf{I}}_0^{(e)}(\dot{\mathbf{B}}, \dot{\mathbf{i}}^T) = \int_{V^{(e)}} \left[\frac{1}{2\mu} \dot{\mathbf{B}}^2 - \frac{j}{2\omega\sigma} (\dot{\mathbf{i}}^T)^2 \right] dV \quad (60)$$

$\dot{\mathbf{I}}_0(\dot{\mathbf{B}}, \dot{\mathbf{i}}^T)$ は全系のエネルギー汎関数、 $\dot{\mathbf{I}}_0^{(e)}(\dot{\mathbf{B}}, \dot{\mathbf{i}}^T)$ は有限要素内のエネルギー汎関数である。式(59)の $\sum_{V^{(e)}}$ は全系内のすべての有限要素に関する総和を意味し、式(60)の $\int_{V^{(e)}}$ は有限要素の占める領域に関する積分を意味する。なお、一つの有限要素内では、 μ , σ , ϵ は一定であるとしておく。

2.2.1 ベクトル・ポテンシャル法

式(7), 式(9), 式(12), 式(58)を用いると、式(60)は次の様になる。

$$\dot{I}_0^{(e)}(\dot{\mathbf{A}}, \dot{\Phi}) = \int_{V^{(e)}} \left[\frac{1}{2\mu} (\nabla \times \dot{\mathbf{A}})^2 - \frac{j}{2\omega\sigma} \{ -j\omega\sigma (\dot{\mathbf{A}} + \nabla \dot{\Phi}) + \dot{\mathbf{i}}^{(e)} \}^2 \right] dV \quad (61)$$

$\dot{I}_0^{(e)}(\dot{\mathbf{A}}, \dot{\Phi})$ の変分を取る時に、 $(\dot{\mathbf{i}}^{(e)})^2$ の項は完全に消失するため、新たに

$$\dot{I}^{(e)}(\dot{\mathbf{A}}, \dot{\Phi}) = \dot{I}_0^{(e)}(\dot{\mathbf{A}}, \dot{\Phi}) + \int_{V^{(e)}} \frac{j}{2\omega\sigma} (\dot{\mathbf{i}}^{(e)})^2 dV \quad (62)$$

と定義すると、

$$\begin{aligned} I^{(e)}(\dot{\mathbf{A}}, \dot{\Phi}) &= \int_{V^{(e)}} \left[\frac{1}{2\mu} (\nabla \times \dot{\mathbf{A}})^2 + \frac{j\omega\sigma}{2} (\dot{\mathbf{A}} + \nabla \dot{\Phi})^2 - (\dot{\mathbf{A}} + \nabla \dot{\Phi}) \cdot \dot{\mathbf{i}}^{(e)} \right] dV \\ &\quad (63) \end{aligned}$$

$$\begin{aligned} &= \int_{V^{(e)}} \left[\frac{1}{2\mu} (\nabla \times \dot{\mathbf{A}})^2 + \frac{j\omega\sigma}{2} (\dot{\mathbf{A}} + \nabla \dot{\Phi})^2 - \dot{\mathbf{A}} \cdot \dot{\mathbf{i}}^{(e)} \right] dV \\ &\quad (64) \end{aligned}$$

式(63)において、閉じた電流源 $\dot{\mathbf{i}}^{(e)}$ を考えれば、

$$\int_{V^{(e)}} \nabla \dot{\Phi} \cdot \dot{\mathbf{i}}^{(e)} dV = \int_{V^{(e)}} \nabla \cdot (\dot{\Phi} \dot{\mathbf{i}}^{(e)}) dV = \int_{S^{(e)}} \dot{\Phi} \dot{\mathbf{i}}^{(e)} \cdot d\mathbf{S} = 0 \quad (65)$$

となるため、式(64)ではこの項を省略してある。

全系のエネルギー汎関数も新しく、

$$\dot{I}(\dot{\mathbf{A}}, \dot{\Phi}) = \sum_{V^{(e)}} \dot{I}^{(e)}(\dot{\mathbf{A}}, \dot{\Phi}) \quad (66)$$

と再定義しておく。

次に、 $\dot{I}^{(e)}(\dot{\mathbf{A}}, \dot{\Phi})$ の変分をとると次の様になる。

$$\begin{aligned} \delta \dot{I}^{(e)}(\dot{\mathbf{A}}, \dot{\Phi}) &= \int_{V^{(e)}} \left[\frac{1}{\mu} \nabla \times \nabla \times \dot{\mathbf{A}} + j\omega\sigma (\dot{\mathbf{A}} + \nabla \dot{\Phi}) - \dot{\mathbf{i}}^{(e)} \right] \cdot \delta \dot{\mathbf{A}} \\ &\quad - j\omega\sigma (\nabla \cdot \dot{\mathbf{A}} + \nabla^2 \dot{\Phi}) \delta \dot{\Phi} dV + \int_{S^{(e)}} [\delta \dot{\mathbf{A}} \times \dot{\mathbf{H}} - \dot{\mathbf{i}} \delta \dot{\Phi}] \cdot d\mathbf{S} \\ &\quad (67) \end{aligned}$$

有限要素内では、基礎方程式(式(13), 式(16), 式(17))により、式(67)の体積積分は零となる。 $\delta \dot{\mathbf{A}}, \dot{\mathbf{H}}$ が任意の境界面で連続であることより、境界面を共有する有限要素の寄与同志が打ち消し合って、 $\delta \dot{\mathbf{A}}, \dot{\mathbf{H}}$ の表面積分の項はなくなる。さらに、 $S^{(e)}$ が真空

中との境界面であれば、 $\dot{i}_1 = 0$ より、 $\dot{i} \delta \dot{\Phi}$ の表面積分の項はなくなる。又 $S^{(e)}$ が媒質同志の境界面の場合も、 \dot{i}_1 、 $\dot{\Phi}$ の連続性より、この項はなくなる（無限遠で $\dot{H}_\infty = 0$ の仮定が含まれている）。従って、

$$\delta \dot{I}(\dot{\mathbf{A}}, \dot{\Phi}) = 0 \quad (68)$$

逆に、 $\dot{I}(\dot{\mathbf{A}}, \dot{\Phi})$ を停留とする $\dot{\mathbf{A}}$ 、 $\dot{\Phi}$ は基礎方程式と境界条件を満足する。

次に、あるひとつの有限要素に関する要素方程式を導出する。円筒座標系を採用し、図 1 に示される領域をひとつの有限要素と決める。有限要素内で $\dot{\mathbf{A}}$ 、 $\dot{\Phi}$ を r 、 θ 、 z に関して線型と近似すると、この有限要素によって決まる形状関数 $N_i(r, \theta, z)$ が導びかれる。この形状関数を用いて、 $\dot{\mathbf{A}}$ 、 $\dot{\Phi}$ は次の様に表わされる。

$$\dot{\mathbf{A}}(r, \theta, z) = \sum_{i=1}^6 N_i(r, \theta, z) \dot{\mathbf{A}}_i \quad (69)$$

$$\dot{\Phi}(r, \theta, z) = \sum_{i=1}^6 N_i(r, \theta, z) \dot{\Phi}_i \quad (70)$$

ここに、 $\dot{\mathbf{A}}_i$ 、 $\dot{\Phi}_i$ は $\dot{\mathbf{A}}(r, \theta, z)$ 、 $\dot{\Phi}(r, \theta, z)$ の節点における値である。 $i^{(e)}$ は有限要素内で一定と考えておくこととする。形状関数 $N_i(r, \theta, z)$ と式(69)、式(70)については第 2、3 節で詳述する。

式(69)、式(70)を式(64)に代入すると次の様になる。

$$\dot{c} = j \omega \sigma \quad (71)$$

$$\begin{aligned} I^{(e)}(\dot{\mathbf{A}}, \dot{\Phi}) &= \int_{V^{(e)}} \left[\frac{1}{2\mu} \left\{ \left(\frac{1}{r} \frac{\partial \dot{\mathbf{A}}_z}{\partial \theta} - \frac{\partial \dot{\mathbf{A}}_\theta}{\partial z} \right)^2 + \left(\frac{\partial \dot{\mathbf{A}}_r}{\partial z} - \frac{\partial \dot{\mathbf{A}}_z}{\partial r} \right)^2 + \left(\frac{1}{r} \frac{\partial (\dot{r} \dot{\mathbf{A}}_\theta)}{\partial r} \right. \right. \right. \\ &\quad \left. \left. \left. - \frac{1}{r} \frac{\partial \dot{\mathbf{A}}_r}{\partial \theta} \right)^2 \right\} + \frac{1}{2} c \left\{ \left(\dot{\mathbf{A}}_r + \frac{\partial \dot{\mathbf{A}}}{\partial r} \right)^2 + \left(\dot{\mathbf{A}}_\theta + \frac{1}{r} \frac{\partial \dot{\mathbf{A}}}{\partial \theta} \right)^2 + \left(\dot{\mathbf{A}}_z + \frac{\partial \dot{\mathbf{A}}}{\partial z} \right)^2 \right\} \right. \\ &\quad \left. - \left(i_r^{(e)} \dot{\mathbf{A}}_r + i_\theta^{(e)} \dot{\mathbf{A}}_\theta + i_z^{(e)} \dot{\mathbf{A}}_z \right) \right] r dr d\theta dz \end{aligned} \quad (72)$$

$$\begin{aligned} &= \int_{V^{(e)}} \left[\frac{1}{2\mu} \left\{ \left(\frac{1}{r} \sum_{i=1}^6 \frac{\partial N_i}{\partial \theta} \dot{A}_{zi} - \sum_{i=1}^6 \frac{\partial N_i}{\partial z} \dot{A}_{\theta i} \right)^2 + \left(\sum_{i=1}^6 \frac{\partial N_i}{\partial z} \dot{A}_{ri} \right)^2 \right. \right. \\ &\quad \left. \left. - \sum_{i=1}^6 \frac{\partial N_i}{\partial r} \dot{A}_{zi} \right)^2 + \left(\frac{1}{r} \sum_{i=1}^6 \frac{\partial (\dot{r} N_i)}{\partial r} \dot{A}_{\theta i} - \frac{1}{r} \sum_{i=1}^6 \frac{\partial N_i}{\partial \theta} \dot{A}_{ri} \right)^2 \right\} \right. \\ &\quad \left. + \frac{1}{2} c \left\{ \left(\sum_{i=1}^6 N_i \dot{A}_{ri} + \sum_{i=1}^6 \frac{\partial N_i}{\partial r} \dot{\Phi}_i \right)^2 + \left(\sum_{i=1}^6 N_i \dot{A}_{\theta i} + \frac{1}{r} \sum_{i=1}^6 \frac{\partial N_i}{\partial \theta} \dot{\Phi}_i \right)^2 \right. \right. \\ &\quad \left. \left. + \left(\sum_{i=1}^6 N_i \dot{A}_{zi} + \sum_{i=1}^6 \frac{\partial N_i}{\partial z} \dot{\Phi}_i \right)^2 \right\} \right] \end{aligned}$$

$$= \left(i_r \sum_{i=1}^6 N_i \dot{A}_{ri} + i_\theta \sum_{i=1}^6 N_i \dot{A}_{\theta i} + i_z \sum_{i=1}^6 N_i \dot{A}_{zi} \right) r dr d\theta dz \quad (73)$$

式(73)の体積積分を実行すると $\dot{A}_i, \dot{\Phi}_i$ は r, θ, z に依存しないため積分外に出る。積分内に残るのは形状関数 $N_i(r, \theta, z)$ とその偏微分のみとなる。エネルギー汎関数を停留とする $\dot{A}_i, \dot{\Phi}_i$ ($i = 1 \sim 6$) は、

$$\frac{\partial \dot{A}_i^{(e)}}{\partial A_{ri}} = 0, \frac{\partial \dot{A}_i^{(e)}}{\partial A_{\theta i}} = 0, \frac{\partial \dot{A}_i^{(e)}}{\partial A_{zi}} = 0, \frac{\partial \dot{A}_i^{(e)}}{\partial \Phi_i} = 0, \quad i = 1 \sim 6 \quad (74)$$

の 24 個の連立一次方程式から得られる。これを実行すると計算が複雑となるので、新たに $\dot{A}_i, \dot{\Phi}_i$ ($i = 1 \sim 6$) を独立変数とみなし、式(74)の変分をとり、その結果あらわれる $\delta A_i, \delta \Phi_i$ ($i = 1 \sim 6$) の係数を零として、要素方程式を得る、結果のみを記すと次の様になる。

$i = 1 \sim 6$ に対して、

$$\begin{aligned} & \sum_{j=1}^6 \left\{ \dot{A}_{rj} \left(\frac{1}{\mu} \int \frac{1}{r^2} \frac{\partial N_i}{\partial \theta} \frac{\partial N_j}{\partial \theta} dV + \frac{1}{\mu} \int \frac{\partial N_i}{\partial z} \frac{\partial N_j}{\partial z} dV + c \int N_i N_j dV \right) \right. \\ & + \dot{A}_{\theta j} \left(-\frac{1}{\mu} \int \frac{1}{r^2} \frac{\partial N_i}{\partial \theta} \frac{\partial (r N_j)}{\partial r} dV \right) + \dot{A}_{zj} \left(-\frac{1}{\mu} \int \frac{\partial N_i}{\partial z} \frac{\partial N_j}{\partial r} dV \right) \\ & \left. + \dot{\Phi}_j c \int N_i \frac{\partial N_j}{\partial r} dV \right\} = i_r^{(e)} \int N_i dV \end{aligned} \quad (75)$$

$$\begin{aligned} & \sum_{j=1}^6 \left\{ \dot{A}_{rj} \left(-\frac{1}{\mu} \int \frac{1}{r^2} \frac{\partial (r N_i)}{\partial r} \frac{\partial N_j}{\partial \theta} dV \right) + \dot{A}_{\theta j} \left(\frac{1}{\mu} \int \frac{\partial N_i}{\partial z} \frac{\partial N_j}{\partial z} dV \right. \right. \\ & + \frac{1}{\mu} \int \frac{1}{r^2} \frac{\partial (r N_i)}{\partial r} \frac{\partial (r N_j)}{\partial r} dV + c \int N_i N_j dV \\ & \left. \left. + \dot{A}_{zj} \left(-\frac{1}{\mu} \int \frac{1}{r} \frac{\partial N_i}{\partial z} \frac{\partial N_j}{\partial \theta} dV \right) + \dot{\Phi}_j c \int \frac{1}{r} N_i \frac{\partial N_j}{\partial \theta} dV \right\} = i_\theta^{(e)} \int N_i dV \right. \end{aligned} \quad (76)$$

$$\begin{aligned} & \sum_{j=1}^6 \left\{ \dot{A}_{rj} \left(-\frac{1}{\mu} \int \frac{\partial N_i}{\partial r} \frac{\partial N_j}{\partial z} dV \right) + \dot{A}_{\theta j} \left(-\frac{1}{\mu} \int \frac{1}{r} \frac{\partial N_i}{\partial \theta} \frac{\partial N_j}{\partial z} dV \right) \right. \\ & + \dot{A}_{zj} \left(\frac{1}{\mu} \int \frac{\partial N_i}{\partial r} \frac{\partial N_j}{\partial r} dV + \frac{1}{\mu} \int \frac{1}{r^2} \frac{\partial N_i}{\partial \theta} \frac{\partial N_j}{\partial \theta} dV + c \int N_i N_j dV \right) \\ & \left. + \dot{\Phi}_j c \int N_i \frac{\partial N_j}{\partial z} dV \right\} = i_z^{(e)} \int N_i dV \end{aligned} \quad (77)$$

$$\begin{aligned}
& \sum_{j=1}^6 \left\{ A_{rj} \dot{\int} \frac{\partial N_i}{\partial r} N_j dV + A_{\theta j} \dot{\int} \frac{1}{r} \frac{\partial N_i}{\partial \theta} N_j dV + A_{zj} \dot{\int} \frac{\partial N_i}{\partial z} N_j dV \right. \\
& \left. + \Phi_j \dot{\int} \left(\int \frac{\partial N_i}{\partial r} \frac{\partial N_i}{\partial r} dV + \int \frac{1}{r^2} \frac{\partial N_i}{\partial \theta} \frac{\partial N_i}{\partial \theta} dV + \int \frac{\partial N_i}{\partial z} \frac{\partial N_i}{\partial z} dV \right) \right\} = 0
\end{aligned} \tag{78}$$

式(75)～式(78)の体積積分は有限要素の領域 $V^{(e)}$ にわたって行う。この積分に関しては付録Ⅱに示す。

式(75)～式(78)により、24個の連立一次方程式(未知数24個)が得られた。この連立一次方程式の係数行列は要素マトリクスと呼ばれている。このマトリクスは24行24列の対称行列となる。要素マトリクスをすべての有限要素に関して組み上げることにより、全行列方程式(global matrix equation)が与えられる。

2.2.2 変形ベクトル・ポテンシャル法

ベクトル・ポテンシャル法では真空中の基礎方程式は媒質中の基礎方程式の μ を μ_0 、 σ を0、 ϵ を ϵ_0 とおきかえるだけで良かった。このため、有限要素法の適用も統一的に記述できた。ところが、変形ベクトル・ポテンシャル法では媒質中と真空中の基礎方程式の形が異っているため、有限要素法の適用に際しても、媒質中の有限要素と真空中の有限要素とでは異った取り扱いをする必要がある。そこで、媒質中であるひとつの有限要素 $V_m^{(e)}$ 、真空中であるひとつの有限要素 $V_v^{(e)}$ をとりだし、

$$\dot{I}_0(\dot{\mathbf{B}}, \dot{\mathbf{i}}^T) = \int_{V_m^{(e)}} \left[\frac{1}{2\mu} \dot{\mathbf{B}}^2 - \frac{j}{2\omega\sigma} (\dot{\mathbf{i}}^T)^2 \right] dV + \int_{V_v^{(e)}} \frac{1}{2\mu} \dot{\mathbf{B}}^2 dV \tag{79}$$

とおく、式(59)の $\sum_{V^{(e)}}$ は、 $V^{(e)}$ が媒質であるときは上式の第一項を加え、 $V^{(e)}$ が真空であるときは上式の第二項を加えるものとする。

式(79)に、式(33)、式(36)、式(37)、式(45)を組み合わせて代入する。式(58)の $\dot{\mathbf{i}}^{(e)}$ は零であることに注意して、次式を得る。

$$\begin{aligned}
\dot{I}_0^{(e)}(\dot{\mathbf{F}}, \dot{\Omega}) &= \int_{V_m^{(e)}} \left[\frac{1}{2} \mu (\dot{\mathbf{F}} + \nabla \dot{\Omega}_m + \dot{\mathbf{H}}^{(e)})^2 - \frac{1}{2} \mu_0 (\nabla \times \dot{\mathbf{F}})^2 \right] dV \\
&+ \int_{V_v^{(e)}} \left[\frac{1}{2} \mu_0 (\nabla \dot{\Omega}_v + \dot{\mathbf{H}}^{(e)})^2 \right] dV
\end{aligned} \tag{80}$$

上式の $(\dot{\mathbf{H}}^{(e)})^2$ の項は I_0 の変分には全く影響しない。そこで、新たに、

$$\dot{I}_0^{(e)}(\dot{\mathbf{F}}, \dot{\Omega}) = \dot{I}_0^{(e)}(\dot{\mathbf{F}}, \dot{\Omega}) - \int_{V_m^{(e)}} \frac{\mu}{2} (\dot{\mathbf{H}}^{(e)})^2 dV - \int_{V_v^{(e)}} \frac{\mu_0}{2} (\dot{\mathbf{H}}^{(e)})^2 dV \tag{81}$$

$$\dot{I}(\dot{\mathbf{F}}, \dot{\Omega}) = \sum_{V_m^{(e)}} \dot{I}^{(e)}(\dot{\mathbf{F}}, \dot{\Omega}) \quad (82)$$

と定義する。 $\dot{I}^{(e)}(\dot{\mathbf{F}}, \dot{\Omega})$ は次の様になる。

$$\begin{aligned} \dot{I}^{(e)}(\dot{\mathbf{F}}, \dot{\Omega}) &= \int_{V_m^{(e)}} \left[\frac{1}{2} \mu (\dot{\mathbf{F}} + \nabla \dot{\Omega}_m)^2 + \mu \dot{\mathbf{H}}^{(e)} \cdot (\dot{\mathbf{F}} + \nabla \dot{\Omega}_m) \right. \\ &\quad \left. - \frac{1}{2} \mu \dot{p} (\nabla \times \dot{\mathbf{F}})^2 \right] dV + \int_{V_v^{(e)}} \left[\frac{1}{2} \mu_0 (\nabla \dot{\Omega}_v)^2 + \mu_0 \dot{\mathbf{H}}^{(e)} \cdot \nabla \dot{\Omega}_v \right] dV \end{aligned} \quad (83)$$

式(65)の $\nabla \Phi \cdot \dot{I}^{(e)}$ のように、 $\int \mu \dot{\mathbf{H}}^{(e)} \cdot \nabla \dot{\Omega}_m dV, \int \mu_0 \dot{\mathbf{H}}^{(e)} \cdot \nabla \dot{\Omega}_v dV$ を部分積分すると、面積分が残る。ところが、表面を共有する有限要素同志の寄与が打消し合って、これらの項はなくなる。従って、

$$\begin{aligned} \dot{I}^{(e)}(\dot{\mathbf{F}}, \dot{\Omega}) &= \int_{V_m^{(e)}} \left[\frac{1}{2} \mu (\dot{\mathbf{F}} + \nabla \dot{\Omega}_m) + \mu \dot{\mathbf{H}}^{(e)} \cdot \dot{\mathbf{F}} - \frac{1}{2} \mu \dot{p} (\nabla \times \dot{\mathbf{F}})^2 \right] dV \\ &\quad + \int_{V_v^{(e)}} \frac{1}{2} \mu_0 (\nabla \dot{\Omega}_v)^2 dV \end{aligned} \quad (84)$$

$\dot{I}^{(e)}(\dot{\mathbf{F}}, \dot{\Omega})$ の変分をとると次の様になる。

$$\begin{aligned} \delta \dot{I}^{(e)}(\dot{\mathbf{F}}, \dot{\Omega}) &= -\mu \int_{V_m^{(e)}} \left\{ \dot{p} \nabla \times \nabla \times \dot{\mathbf{F}} - \dot{\mathbf{F}} - \nabla \dot{\Omega}_m - \dot{\mathbf{H}}^{(e)} \right\} \cdot \delta \dot{\mathbf{F}} \\ &\quad + (\nabla \cdot \dot{\mathbf{F}} + \nabla^2 \dot{\Omega}_m) \delta \dot{\Omega}_m \} dV - \mu_0 \int_{V_v^{(e)}} (\nabla^2 \dot{\Omega}_v) \delta \dot{\Omega}_v dV \\ &\quad + \int_{S_m^{(e)}} \left\{ \frac{j}{\omega} \dot{\mathbf{E}} \times \delta \dot{\mathbf{F}} + \dot{\mathbf{B}}_m \delta \dot{\Omega}_m \right\} \cdot dS + \int_{S_v^{(e)}} \delta \dot{\Omega}_v \dot{\mathbf{B}}_v \cdot dS \end{aligned} \quad (85)$$

式(38), 式(41), 式(46)より、上式の体積積分の項は零となる。同時に、 $S_m^{(e)}$ が媒質と真空との境界を含む場合、 $\dot{\mathbf{F}}_\parallel = 0$ より、 $S_m^{(e)}$ が媒質と媒質との境界を含む場合、 \mathbf{F}_\parallel と \mathbf{E}_\parallel の連続性より $S_m^{(e)}$ を含む有限要素同志の寄与が相殺するため、 $\dot{\mathbf{E}} \times \delta \dot{\mathbf{F}}$ の項はなくなる。同様に、 $\dot{\Omega}$ ($\dot{\Omega}_m$ あるいは $\dot{\Omega}_v$)と $\dot{\mathbf{B}}$ の連続性より $\dot{\mathbf{B}}_m \delta \dot{\Omega}_m, \dot{\mathbf{B}}_v \delta \dot{\Omega}_v$ の項はなくなる(無限遠で $\dot{\mathbf{B}}_{v1} = 0$ の仮定が含まれている)。従って、

$$\delta \dot{I}(\dot{\mathbf{F}}, \dot{\Omega}) = 0 \quad (86)$$

逆に、 $\dot{I}(\dot{\mathbf{F}}, \dot{\Omega})$ を停留とする $\dot{\mathbf{F}}, \dot{\Omega}$ は媒質中と真空中の基礎方程式と境界条件を満足する。

次に、要素方程式を導く。ベクトル・ポテンシャル法の場合と全く同様に、

$$\dot{\mathbf{F}}(r, \theta, z) = \sum_{i=1}^6 N_i(r, \theta, z) \dot{\mathbf{F}}_i \quad (87)$$

$$\dot{\Omega}(r, \theta, z) = \sum_{i=1}^6 N_i(r, \theta, z) \dot{\Omega}_i \quad (88)$$

$$\dot{H}^{(e)}(r, \theta, z) = \sum_{i=1}^6 N_i(r, \theta, z) \dot{H}_i^{(e)} \quad (89)$$

とおき、有限要素が媒質の場合と真空の場合のそれについて、次の要素方程式を得る。

有限要素が媒質の場合

$i = 1 \sim 6$ に対して、

$$\begin{aligned} & \sum_{j=1}^6 \left\{ \dot{\Omega}_j \mu \left(\int \frac{\partial N_i}{\partial r} \frac{\partial N_j}{\partial r} dV + \int \frac{1}{r^2} \frac{\partial N_i}{\partial \theta} \frac{\partial N_j}{\partial \theta} dV + \int \frac{\partial N_i}{\partial z} \frac{\partial N_j}{\partial z} dV \right) \right. \\ & \quad \left. + F_{rj} \mu \int \frac{\partial N_i}{\partial r} N_j dV + F_{\theta j} \mu \int \frac{1}{r} \frac{\partial N_i}{\partial \theta} N_j dV + F_{zj} \mu \int \frac{\partial N_i}{\partial z} N_j dV \right\} = 0 \end{aligned} \quad (90)$$

$$\begin{aligned} & \sum_{j=1}^6 \left\{ \dot{\Omega}_j \mu \int N_i \frac{\partial N_j}{\partial r} dV + F_{rj} \mu \left(\int N_i N_j dV - p \int \frac{1}{r^2} \frac{\partial N_i}{\partial \theta} \frac{\partial N_j}{\partial \theta} dV \right. \right. \\ & \quad \left. - p \int \frac{\partial N_i}{\partial z} \frac{\partial N_j}{\partial z} dV \right) + F_{\theta j} \mu p \int \frac{1}{r^2} \frac{\partial N_i}{\partial \theta} \frac{\partial (r N_j)}{\partial r} dV \\ & \quad \left. + F_{zj} \mu p \int \frac{\partial N_i}{\partial z} \frac{\partial N_j}{\partial r} dV \right\} = - \sum_{j=1}^6 \mu \dot{H}_{rj}^{(e)} \int N_i N_j dV \end{aligned} \quad (91)$$

$$\begin{aligned} & \sum_{j=1}^6 \left\{ \dot{\Omega}_j \mu \int \frac{1}{r} N_i \frac{\partial N_j}{\partial \theta} dV + F_{rj} \mu p \int \frac{1}{r^2} \frac{\partial (r N_i)}{\partial r} \frac{\partial N_j}{\partial \theta} dV \right. \\ & \quad \left. + F_{\theta j} \mu \left(\int N_i N_j dV - p \int \frac{\partial N_i}{\partial z} \frac{\partial N_j}{\partial z} dV - p \int \frac{1}{r^2} \frac{\partial (r N_i)}{\partial r} \frac{\partial (r N_j)}{\partial r} dV \right. \right. \\ & \quad \left. \left. + F_{zj} \mu p \int \frac{1}{r} \frac{\partial N_i}{\partial z} \frac{\partial N_j}{\partial \theta} dV \right) \right\} = - \sum_{j=1}^6 \mu \dot{H}_{\theta j}^{(e)} \int N_i N_j dV \end{aligned} \quad (92)$$

$$\begin{aligned} & \sum_{j=1}^6 \left\{ \dot{\Omega}_j \mu \int N_i \frac{\partial N_j}{\partial z} dV + F_{rj} \mu p \int \frac{\partial N_i}{\partial r} \frac{\partial N_j}{\partial z} dV + F_{\theta j} \mu p \int \frac{1}{r} \frac{\partial N_i}{\partial \theta} \frac{\partial N_j}{\partial z} dV \right. \\ & \quad \left. + F_{zj} \mu \left(\int N_i N_j dV - p \int \frac{\partial N_i}{\partial r} \frac{\partial N_j}{\partial z} dV - p \int \frac{1}{r^2} \frac{\partial N_i}{\partial \theta} \frac{\partial N_j}{\partial \theta} dV \right) \right\} \\ & = - \sum_{j=1}^6 \mu \dot{H}_{zj}^{(e)} \int N_i N_j dV \end{aligned} \quad (93)$$

式(90)～式(93)の体積積分は有限要素の領域 $V_m^{(e)}$ にわたって行う。これで 24 行 24 列の要素マトリクスが得られた。この行列は対称行列となる。外部印加磁界 $\dot{H}^{(e)}(r, \theta, z)$ の

表式は付録Ⅲに与える。

有限要素が真空の場合

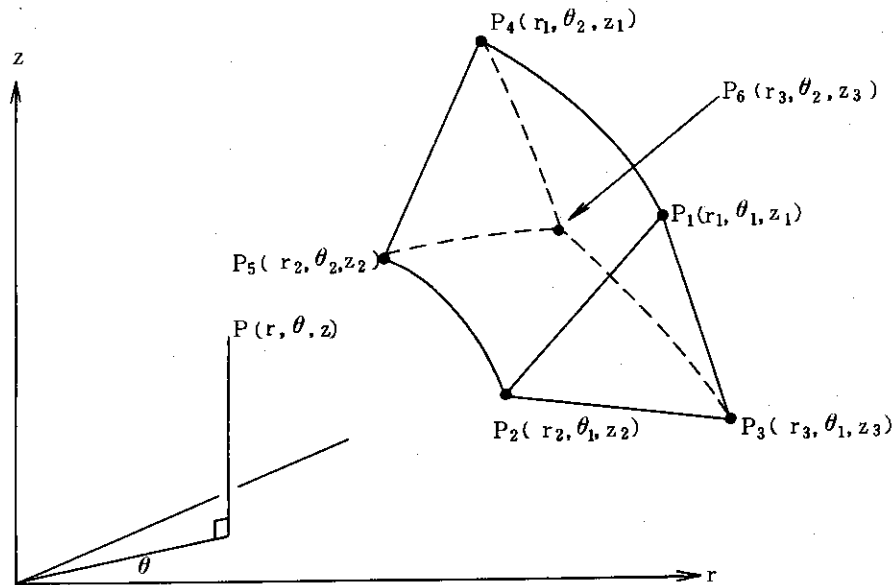
$i = 1 \sim 6$ に対して、

$$\sum_{j=1}^6 \Omega_j \mu_0 \left(\int \frac{\partial N_i}{\partial r} \frac{\partial N_j}{\partial r} dV + \int \frac{1}{r^2} \frac{\partial N_i}{\partial \theta} \frac{\partial N_j}{\partial \theta} dV + \int \frac{\partial N_i}{\partial z} \frac{\partial N_j}{\partial z} dV \right) = 0 \quad (94)$$

この要素マトリクスは 6 行 6 列の対称行列となる。

2.3 形 状 関 数

臨界プラズマ試験装置 (JT-60) の渦電流解析においては、第1図に示すように、円筒座標系 r, θ, z の rz 平面における断面が三角形（頂点の座標 $(r_1, z_1), (r_2, z_2), (r_3, z_3)$ ）で、この三角形を θ_1 から θ_2 まで回転させたときに得られる立体を有限要素に選ぶのが最良と考えられる。この立体の六つの頂点 $P_1 \dots, P_6$ は、通常、節点と呼ばれている。



第1図 有限要素と節点座標

ある関数 $A(r, z, \theta)$ をこの有限要素内で r, θ, z の一次の関数と近似すると、 $A(r, z, \theta)$ は次式のようになる。

$$A(r, z, \theta) = \alpha_1 + \alpha_2 r + \alpha_3 z + \alpha_4 \theta + \alpha_5 \theta r + \alpha_6 \theta z \quad (95)$$

ここに、 $\alpha_1, \dots, \alpha_6$ は定数で、この定数を有限要素の六つの節点における $A(r, z, \theta)$ の値より決める。すなわち、

$$\left. \begin{aligned} A(r_1, z_1, \theta_1) &= \alpha_1 + \alpha_2 r_1 + \alpha_3 z_1 + \alpha_4 \theta_1 + \alpha_5 \theta_1 r_1 + \alpha_6 \theta_1 z_1 \\ A(r_2, z_2, \theta_1) &= \alpha_1 + \alpha_2 r_2 + \alpha_3 z_2 + \alpha_4 \theta_1 + \alpha_5 \theta_1 r_2 + \alpha_6 \theta_1 z_2 \\ A(r_3, z_3, \theta_1) &= \alpha_1 + \alpha_2 r_3 + \alpha_3 z_3 + \alpha_4 \theta_1 + \alpha_5 \theta_1 r_3 + \alpha_6 \theta_1 z_3 \\ A(r_1, z_1, \theta_2) &= \alpha_1 + \alpha_2 r_1 + \alpha_3 z_1 + \alpha_4 \theta_2 + \alpha_5 \theta_2 r_1 + \alpha_6 \theta_2 z_1 \\ A(r_2, z_2, \theta_2) &= \alpha_1 + \alpha_2 r_2 + \alpha_3 z_2 + \alpha_4 \theta_2 + \alpha_5 \theta_2 r_2 + \alpha_6 \theta_2 z_2 \\ A(r_3, z_3, \theta_2) &= \alpha_1 + \alpha_2 r_3 + \alpha_3 z_3 + \alpha_4 \theta_2 + \alpha_5 \theta_2 r_3 + \alpha_6 \theta_2 z_3 \end{aligned} \right\} \quad (96)$$

今

$$\left. \begin{aligned} A_1 &= A(r_1, z_1, \theta_1) \\ A_2 &= A(r_2, z_2, \theta_1) \\ A_3 &= A(r_3, z_3, \theta_1) \\ A_4 &= A(r_1, z_1, \theta_2) \\ A_5 &= A(r_2, z_2, \theta_2) \\ A_6 &= A(r_3, z_3, \theta_2) \end{aligned} \right\} \quad (97)$$

とおき、式(96)を $\alpha_1, \dots, \alpha_6$ について解くと次のようになる。

$$\begin{pmatrix} \alpha_1 \\ \alpha_2 \\ \alpha_3 \end{pmatrix} = \frac{1}{\theta_2 - \theta_1} \begin{pmatrix} a_{ij} \end{pmatrix} \begin{pmatrix} \theta_2 A_1 - \theta_1 A_4 \\ \theta_2 A_2 - \theta_1 A_5 \\ \theta_2 A_3 - \theta_1 A_6 \end{pmatrix} \quad (98)$$

$$\begin{pmatrix} \alpha_4 \\ \alpha_5 \\ \alpha_6 \end{pmatrix} = \frac{1}{\theta_2 - \theta_1} \begin{pmatrix} a_{ij} \end{pmatrix} \begin{pmatrix} A_4 - A_1 \\ A_5 - A_2 \\ A_6 - A_3 \end{pmatrix} \quad (99)$$

ここで、

$$\begin{pmatrix} a_{ij} \end{pmatrix} = \begin{pmatrix} 1 & r_1 & z_1 \\ 1 & r_2 & z_2 \\ 1 & r_3 & z_3 \end{pmatrix}^{-1} \quad (100)$$

式(98)、式(99)の $\alpha_1, \dots, \alpha_6$ を式(95)に代入して、整理すると次の様になる。

$$A(r, z, \theta) = \sum_{i=1}^6 N_i(r, \theta, z) A_i \quad (101)$$

ここで、

$$\begin{pmatrix} N_1(r, \theta, z) \\ N_2(r, \theta, z) \\ N_3(r, \theta, z) \\ N_4(r, \theta, z) \\ N_5(r, \theta, z) \\ N_6(r, \theta, z) \end{pmatrix} = \frac{1}{\theta_2 - \theta_1} \begin{pmatrix} (\theta_2 - \theta_1) \cdot (a_{11} + a_{21}r + a_{31}z) \\ (\theta_2 - \theta_1) \cdot (a_{12} + a_{22}r + a_{32}z) \\ (\theta_2 - \theta_1) \cdot (a_{13} + a_{23}r + a_{33}z) \\ (\theta - \theta_1) \cdot (a_{11} + a_{21}r + a_{31}z) \\ (\theta - \theta_1) \cdot (a_{12} + a_{22}r + a_{32}z) \\ (\theta - \theta_1) \cdot (a_{13} + a_{23}r + a_{33}z) \end{pmatrix} \quad (102)$$

式(102)は

$$M_i(r, z) = a_{1i} + a_{2i}r + a_{3i}z \quad (103)$$

とおき、次のようにまとめることができる。

$$N_i(r, \theta, z) = \frac{(-1)^{I_1}}{\theta_2 - \theta_1} (\theta - \theta_1 I_2) M_{I_3} \quad (104)$$

ただし、

$$I_1 = 1 - \left[\frac{i-1}{3} \right] = \begin{cases} 1, & i=1, 2, 3 \text{ のとき} \\ 0, & i=4, 5, 6 \text{ のとき} \end{cases} \quad (105)$$

$$I_2 = I_1 + 1 = \begin{cases} 2, & i=1, 2, 3 \text{ のとき} \\ 1, & i=4, 5, 6 \text{ のとき} \end{cases} \quad (106)$$

$$I_3 = i - 3 \times \left[\frac{i-1}{3} \right] = \begin{cases} 1, & i=1, 4 \text{ のとき} \\ 2, & i=2, 5 \text{ のとき} \\ 3, & i=3, 6 \text{ のとき} \end{cases} \quad (107)$$

とする。式(105), 式(107)の $[x]$ は、ガウス記号で、 x の値を越えない最大の整数を意味する。

$N_i(r, \theta, z)$ はある有限要素の形状関数(Shape function)と呼ばれている。

次に、 $N_i(r, \theta, z)$, $M_i(r, \theta, z)$, a_{ij} の性質について調べよう。まず、

$$A = \begin{vmatrix} 1 & r_1 & z_1 \\ 1 & r_2 & z_2 \\ 1 & r_3 & z_3 \end{vmatrix} = r_1(z_2 - z_3) + r_2(z_3 - z_1) + r_3(z_1 - z_2) \quad (108)$$

とおくと、

$$\left(a_{ij} \right) = \frac{1}{A} \begin{pmatrix} r_2 z_3 - r_3 z_2 & , & r_3 z_1 - r_1 z_3 & , & r_1 z_2 - r_2 z_1 \\ z_2 - z_3 & , & z_3 - z_1 & , & z_1 - z_2 \\ r_3 - r_2 & , & r_1 - r_2 & , & r_2 - r_1 \end{pmatrix} \quad (109)$$

従って、

$$\sum_{j=1}^3 a_{1j} = 1, \quad \sum_{j=1}^3 a_{2j} = \sum_{j=1}^3 a_{3j} = 0 \quad (110)$$

上式より、

$$\sum_{i=1}^3 M_i(r, z) = 1, \quad \sum_{i=1}^6 N_i(r, \theta, z) = 1 \quad (111)$$

さらに、次の関係が容易に導びかれる。

$$\theta_1 N_i + \theta_2 N_{i+3} = \theta M_i \quad (i=1 \sim 3) \quad (112)$$

$$N_i + N_{i+3} = M_i \quad (i=1 \sim 3) \quad (113)$$

$$\begin{aligned} N_1 N_5 &= N_2 N_4 \\ N_2 N_6 &= N_3 N_5 \\ N_3 N_4 &= N_1 N_6 \end{aligned} \quad (114)$$

式(103)は次のように書き換えることができる。

$$M_i(r, z) = \frac{1}{4} \begin{vmatrix} 1 & 1 & 1 \\ r_1 & r & r_3 \\ z_1 & z & z_3 \end{vmatrix} \quad (115)$$

↑
i行目の r_i , z_i が r , z に入れかわる。

従って, δ_{ij} をクロネッカーの記号とすると,

$$M_i(r_j, z_j) = \delta_{ij} \quad (116)$$

次に例として $i=1$ の場合を考えると, 式(115)より, $M_1 = 0$ は rz 平面で (r_2, z_2) と (r_3, z_3) を通る直線をあらわす。従って, この直線上では必ず $M_1 = 0$ である。

$N_i(r, \theta, z)$ に関する次の関係も容易に導くことができる。

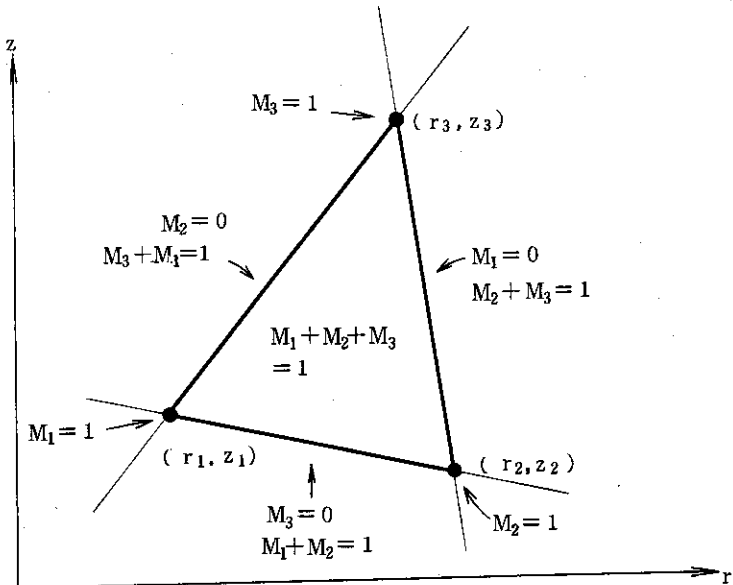
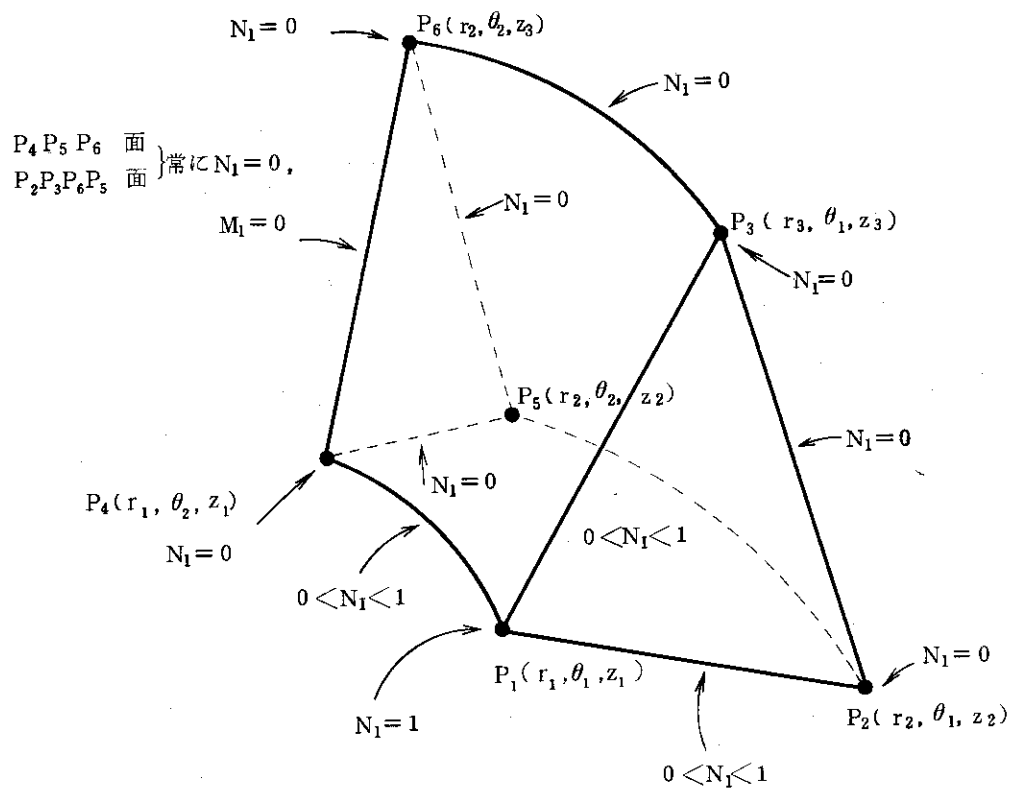
$$N_i(r_j, \theta_1, z_j) = \delta_{ij}, \quad i=1 \sim 3 \quad (117)$$

$$N_i(r_j, \theta_2, z_j) = \delta_{ij}, \quad i=4 \sim 6 \quad (118)$$

$$N_i(r, \theta_2, z) = 0, \quad i=1 \sim 3 \quad (119)$$

$$N_i(r, \theta_1, z) = 0, \quad i=4 \sim 6 \quad (120)$$

以上の関係より, M_i と N_i (例として N_1) の位置との関係を調べると第2図のようになる。

(a) $M_i(r, \theta, z)$ と位置との関係(b) $N_i(r, \theta, z)$ と位置との関係

第2図 形状関数と位置との関係

3 計算結果と検討

第2章に述べた解析方法に従って計算コードを作成すれば、臨界プラズマ試験装置における渦電流を解析することが出来る。その際、この装置のトロイダル方向の周期性と上下方向の対称性を考慮すると、全空間を有限要素に分割する必要はなく、解くべき全体マトリクスの大きさとバンド幅を著しく遞減させることができる。使用する電子計算機の容量に関する制限より、装置の周期性と対称性を考慮しなければ、実のところ、この装置における渦電流を解析することは不可能に近い。そこで、まず、装置の周期性と対称性を考慮した場合、その境界条件がどの様になるかを述べる。その後、変形ベクトル・ポテンシャル法に関する計算コードと計算例を述べ、最後に検討を加えることにする。ベクトル・ポテンシャル法に関する計算コード、計算例、臨界プラズマ試験装置への適用に関しては、すでに「臨界プラズマ試験装置 プラズマ位置形状制御技術の開発 総合報告書 (1)」に与えられているので、本報告では省略する。上記のR & Dに関する報告書には、この報告書の持つ性格から、解析方法に関してはその要旨のみが記述されているだけである。そこで、このR & D報告書を補完する意味で、本報告では、変形ベクトル・ポテンシャル法とともに、ベクトル・ポテンシャル法に関する解析方法についても詳述することにした。

3.1 臨界プラズマ試験装置における周期境界条件及び上下対称境界条件

臨界プラズマ試験装置には、トロイダル・コイル及び真空容器の厚肉部とベローズ部等の様に、トロイダル方向に一定の周期性が存在する。さらに、この一周期の構造の中に $\frac{1}{2}$ 周期を対称面とする対称性が存在する。第3図にこの様子を模擬的に示す。A面及びA'面を周期境界面B面を $\frac{1}{2}$ 周期境界面とする。

今、閉じたポロイダル電流のみを外部供給電流とすると、この電流により生じる渦電流の周期性と $\frac{1}{2}$ 周期面に関する対称性のために、

$$\dot{E}_\theta = 0 \quad (\text{すなわち}, \dot{E}_r = \dot{E}_z = 0) \quad (121)$$

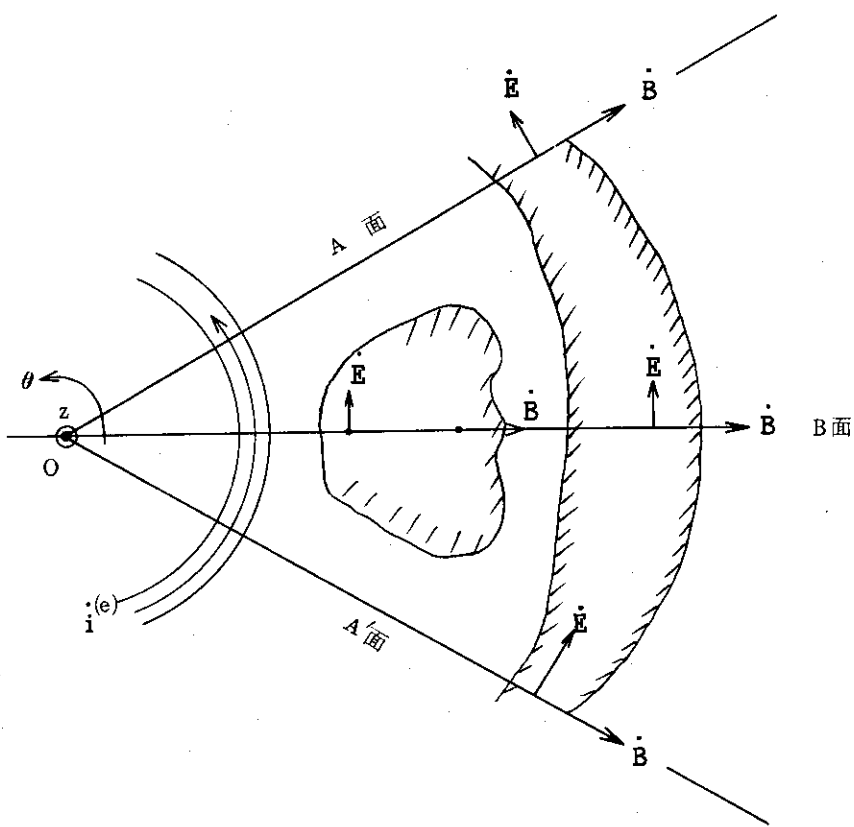
となる。式(57)の関係式を式(2)に適用すると、

$$\dot{B}_\theta = 0 \quad (\text{すなわち}, \dot{B}_r = 0) \quad (122)$$

が得られる。 $\dot{E} = -j\omega(\dot{\mathbf{A}} + \nabla\dot{\Phi})$ より、式(121)の条件を $\dot{\mathbf{A}}$ と $\nabla\dot{\Phi}$ にも別々に課すと次の様になる。

$$\dot{\mathbf{A}}_\theta = 0 \quad (\text{すなわち}, \dot{\mathbf{A}}_r = \dot{\mathbf{A}}_z = 0) \quad (123)$$

$$(\nabla\dot{\Phi})_\theta = 0 \quad (124)$$



第3図 周期境界条件と非周期境界条件

式(124)の条件より、無限遠で $\Phi = 0$ と考えられるため、

$$\dot{\Phi} = 0 \quad (125)$$

となる。

変形ベクトル・ポテンシャル法では、式(122)より、

$$\dot{F}_\perp = 0 \quad (\text{すなわち}, \dot{F}_\theta = 0) \quad (126)$$

$$\frac{\partial \Omega}{\partial \theta} = 0 \quad (127)$$

が得られる。

次に、 $z = 0$ 平面に関して、臨界プラズマ試験装置に上下対称性を考える場合の境界条件について考えよう。この場合、やはり、外部供給電流としてポロイダル電流のみを考えると、

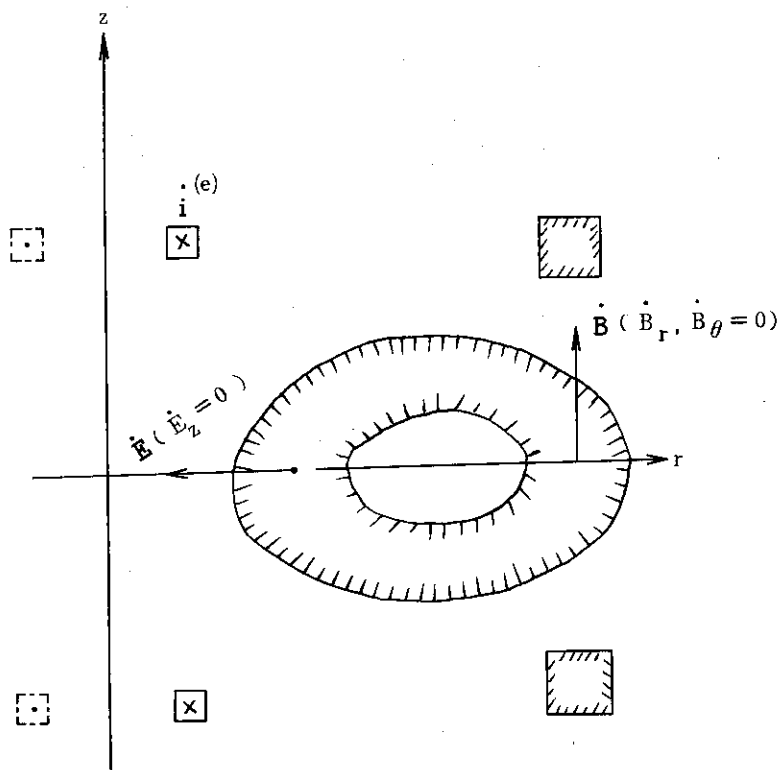
$$\dot{B}_\parallel = 0 \quad (\text{すなわち}, \dot{B}_r = \dot{B}_\theta = 0) \quad (128)$$

$$\dot{E}_\perp = 0 \quad (\text{すなわち}, \dot{E}_z = 0) \quad (129)$$

となる(第4図参照)。

上式より、ベクトル・ポテンシャル法では、

$$\dot{A}_\perp = 0 \quad (\text{すなわち}, \dot{A}_z = 0) \quad (130)$$



第4図 上下対称境界条件

$$\frac{\partial \Phi}{\partial z} = 0 \quad (131)$$

変形ベクトル・ポテンシャル法では、

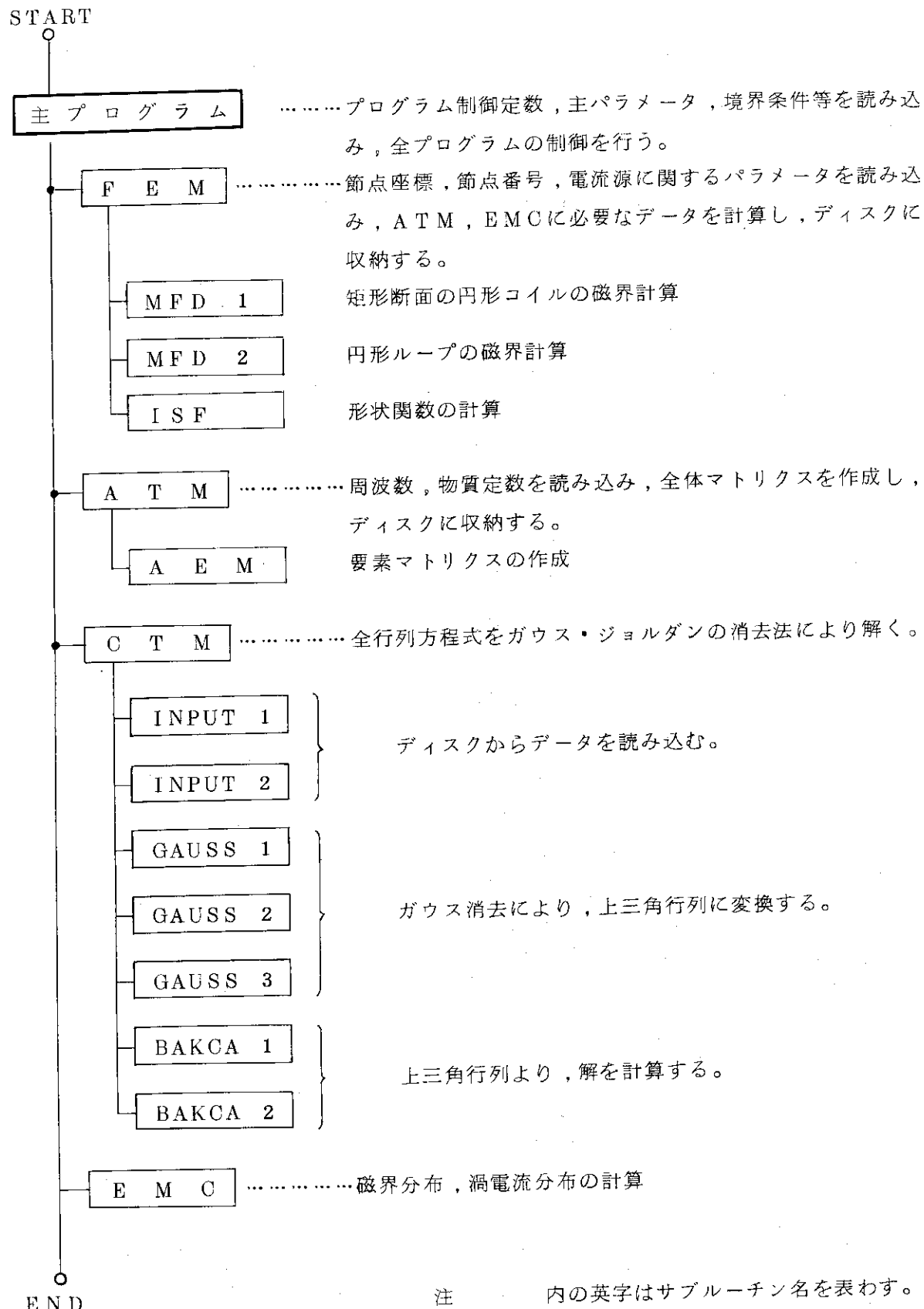
$$\dot{F}_n = 0 \quad (\text{すなわち}, \dot{F}_r = \dot{F}_\theta = 0) \quad (132)$$

$$\dot{\Omega} = 0 \quad (133)$$

が得られる。

3.2 変形ベクトル・ポテンシャル法の計算コード

第5図に、計算コードの構成と各サブルーチンの主な役割を示す。主プログラムに直接続く4つのサブルーチンを、それぞれ、オーバー・レイ構造のひとつのセグメントとしている。付録IVに、実際の計算コードのリストを与える。



第5図 計算コードの構成

3.3 変形ベクトル・ポテンシャル法の計算例とその計算結果

変形ベクトル・ポテンシャル法の計算例として、第6図に示すように、交流の定電流源（電源の内部インピーダンスを無限大とする）にその両端を接続された、正方形断面の円形ループを考える。この円形ループの断面中心がつくる円の半径を100[m]、正方形断面の一辺の長さを0.5[m]、円形ループを構成する導体の抵抗率を $2.0 \times 10^{-8} [\Omega\text{m}]$ 、通電電流を1000[A]、周波数を $f [\text{Hz}]$ とする。

この場合、明らかに、導体表面に電流が集まる傾向をもつ（表皮効果）。この計算例における表皮効果の解析には、ベクトル・ポテンシャル法より変形ベクトル・ポテンシャル法を用いる方が、はるかに便利である。なお、電流分布から、できるだけ、トロイダル効果を除き、解析解との比較を容易にするため、円形ループの半径を断面の一辺の長さより著しく大きくした。

十分大きな領域を有限要素に分割した結果を第7図に示す。図には、 $r z$ 平面における要素番号と節点番号が示されている。このような有限要素に分割した場合、（要素数468、節点数390）全体マトリクスの大きさは501元で、その半バンド幅（half band width）は125であった。

計算の結果得られた電流密度分布を第8図及び第9図に示す。横軸は導体の内壁を基準にとっている。 $x = 0.5 [\text{m}]$ が丁度、外壁に相当する。電流密度の実数部には、外部供給電流密度 $4000 [\text{A}/\text{m}^2]$ だけのゲタがあること、図8と図9とは z 座標が異なることに注意されたい。パラメータとして周波数を取り、代表的に $f = 0.1 [\text{Hz}]$, $1.0 [\text{Hz}]$, $10 [\text{Hz}]$ と選んだ。

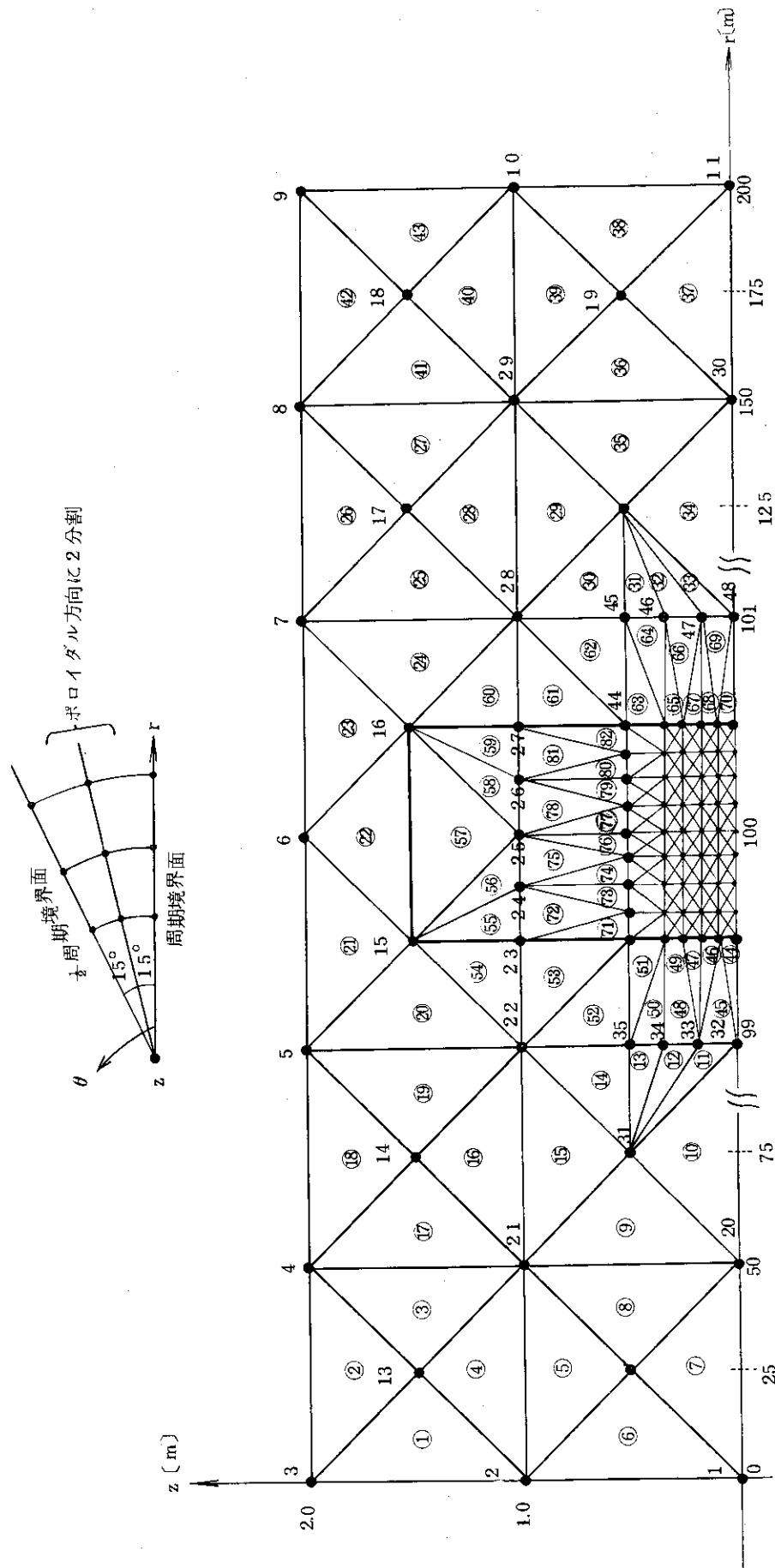
両図より、周波数が高くなるに従い、表皮効果が著しくなることは明白である。

以上の結果と比較するために、すでによく知られた無限の円筒状導体の表皮効果に対する式⁽¹⁴⁾

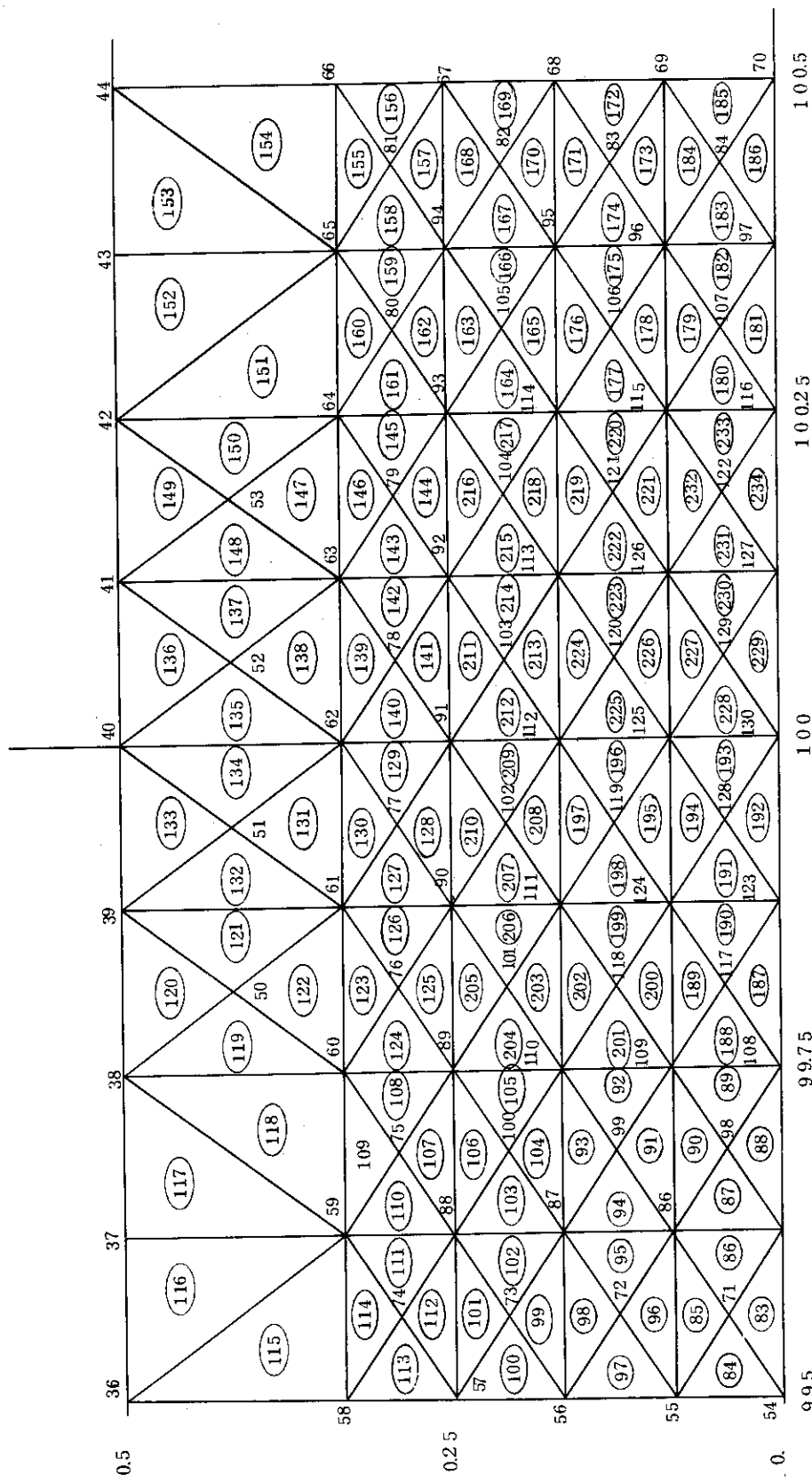
$$\frac{\dot{J}_z}{2\pi a} = \frac{\dot{I}}{q} - \frac{I_0(\dot{q}\rho)}{I_1(\dot{q}a)} \quad (134)$$

を採用する。ここに、 \dot{I} は全通電電流、 a は円形断面の半径、 I_0 と I_1 は零次と一次の変形ベッセル関数である。 δ を表皮厚さ、すなわち、

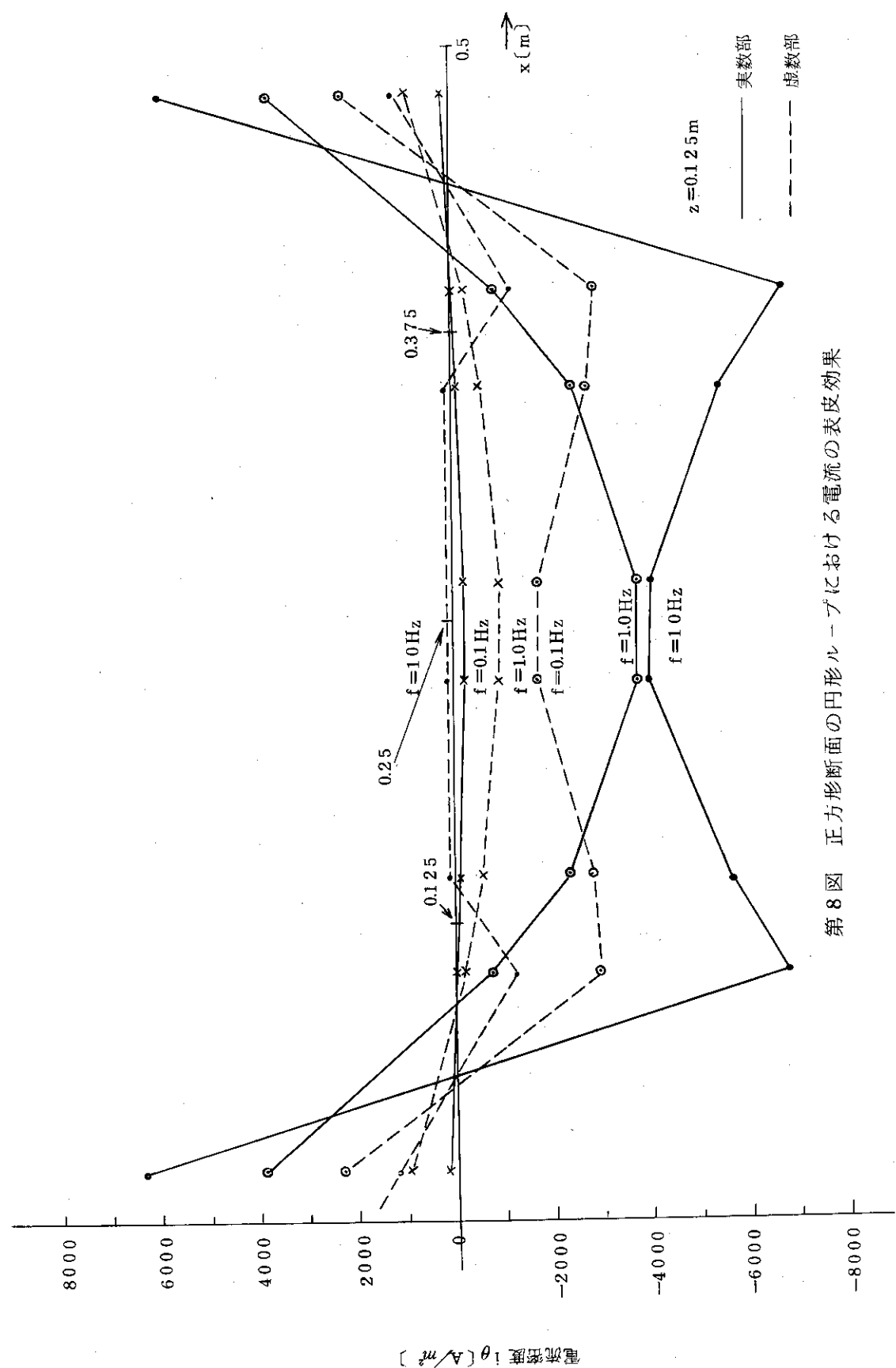
$$\delta = \sqrt{\frac{2}{\omega\mu\sigma}} \quad (135)$$



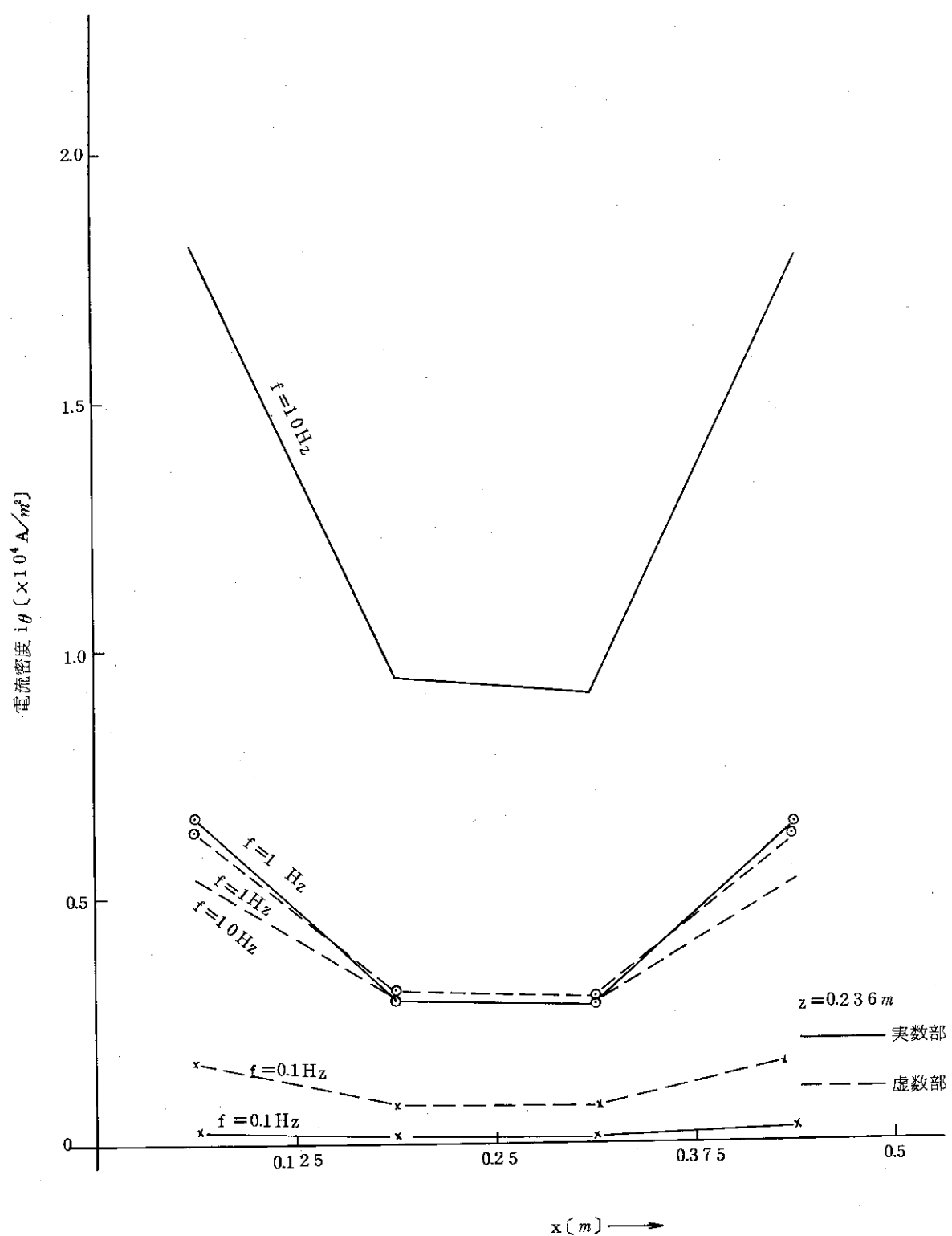
第7図(a) 有限要素への分割(全体図)



第7図(b) 有限要素への分割(導体近傍の拡大図)



第8図 正方形断面の円形ループにおける電流の表面効果



第9図 正方形断面の円形ループにおける電流の表皮効果

として， \dot{q} は、

$$\dot{q} = \frac{1}{\delta} (1 + j) \quad (136)$$

と表わされる。

この表式は、厳密な意味では、本報告の計算例のような正方形断面の導体の場合の数値解に対する比較の対象とはならない。しかし、例えば、その断面積を等しくするように、式(134)の a を選んでやれば、表皮効果が周波数に依存する様子は、両者ともに変わらないはずである。そこで、式(134)により計算した結果を第10図、11図に示す。第10図は実数部、第11図は虚数部である。

第8、9図と第10、11図とを比較してみると、両者はほぼ同一の傾向を持っていることがわかる。また定量的にもかなり良くあっている。例えば、第8図で $f = 10\text{ Hz}$ の場合、実数部のとる極小値は $-6700 [\text{A}/\text{m}^2]$ である。第10図において、これに相当する値は $-5300 [\text{A}/\text{m}^2]$ となる。

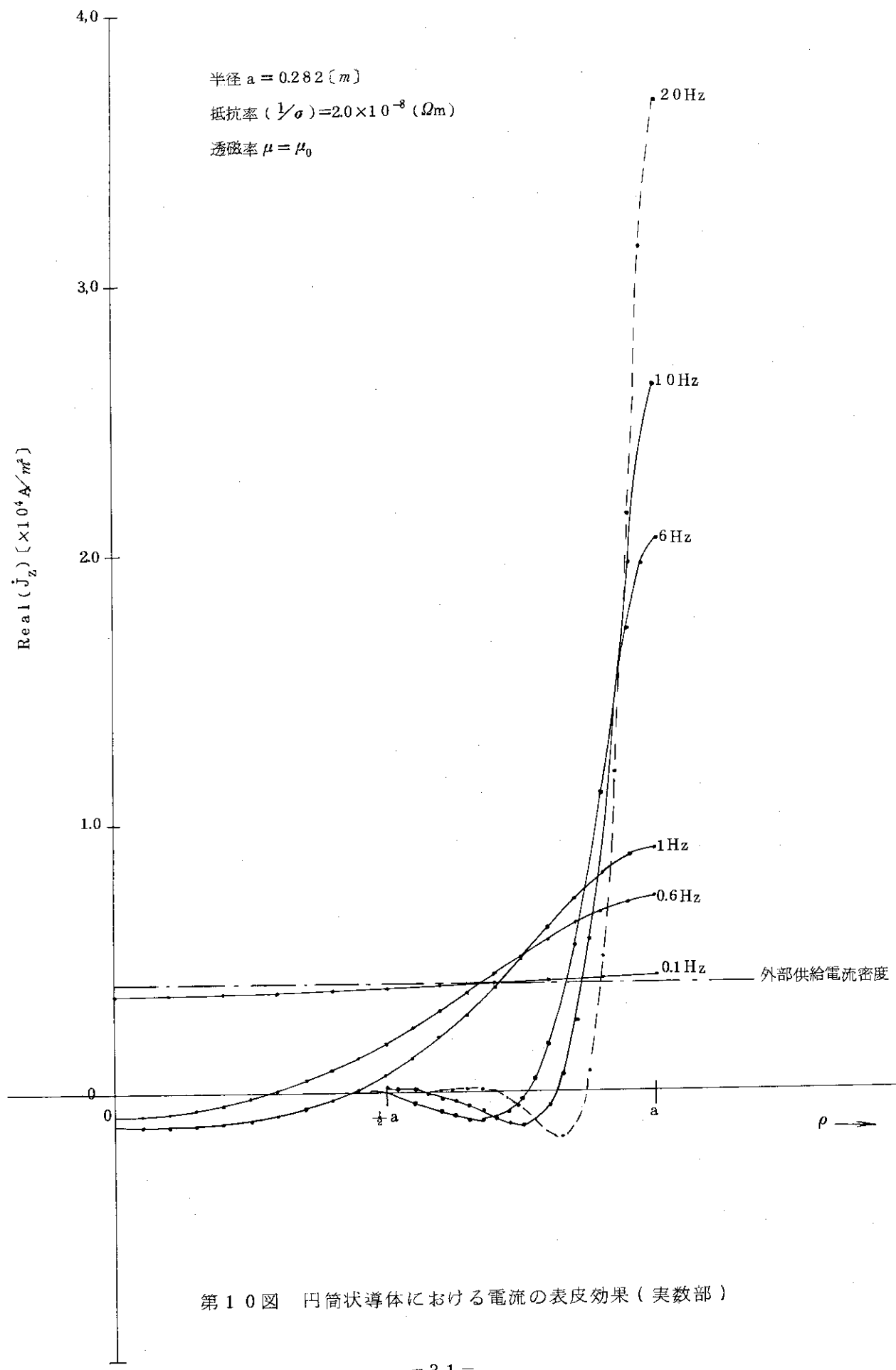
以上のことより、変形ベクトル・ポテンシャル法の解析方法には問題がないものと判断することができる。

3.4 檢 討

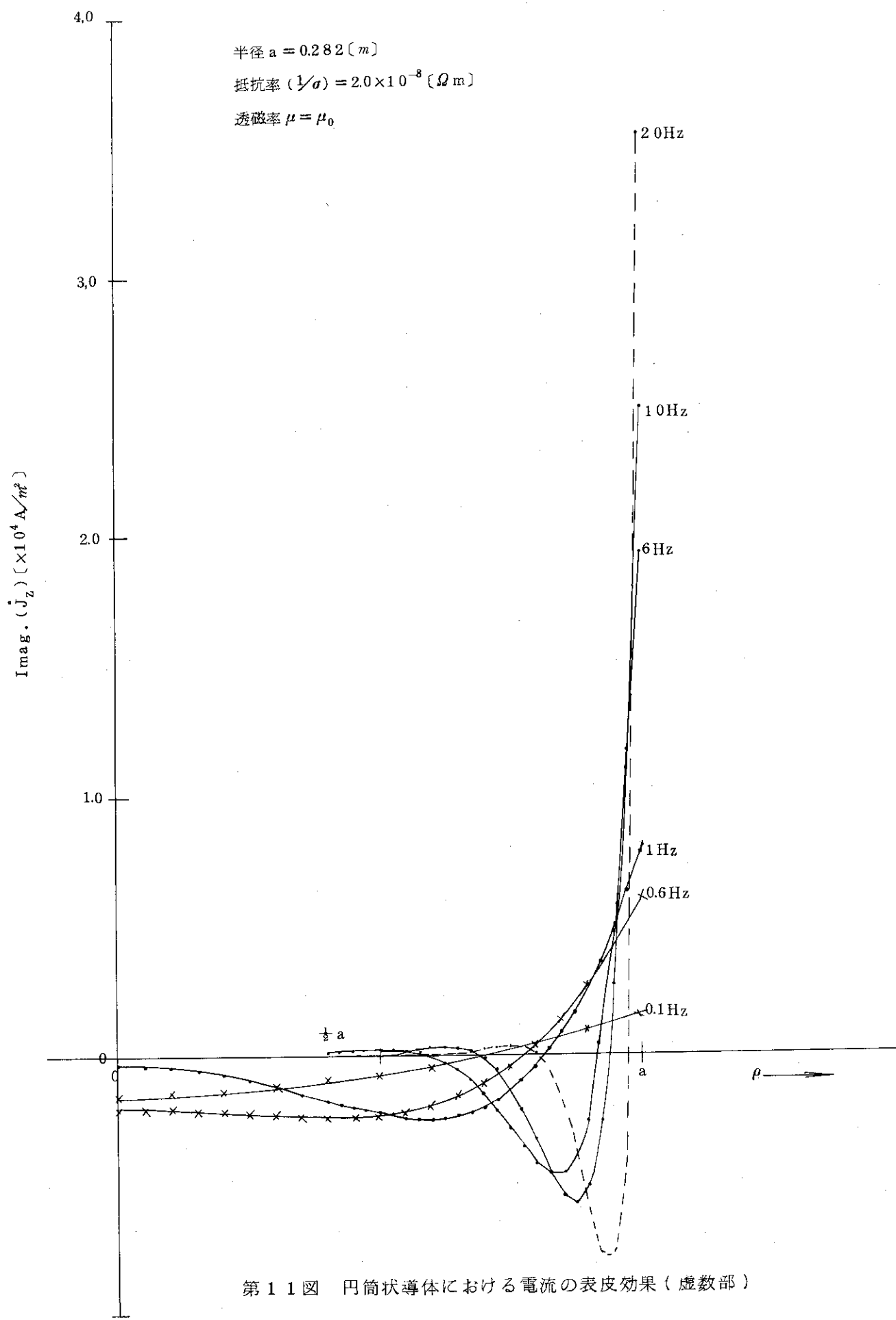
以下の項目にわたって検討する。

(1) ベクトル・ポテンシャル法と変形ベクトル・ポテンシャル法との比較

- (A) 変形ベクトル・ポテンシャル法では、すでに解析方法において述べた通り、真空中の磁界 $\dot{\mathbf{H}}_v$ が $\dot{\mathbf{H}}_v = \nabla \Omega_v$ とあらわされることを前提条件とする。媒質が単連結であれば、この条件は満足される（臨界プラズマ試験装置の構造に、 $z = 0$ 平面を対称面とする上下方向の対称性を仮定すれば、トロイダル・コイルには、このコイルをポロイダル方向に一周して流れない。単連結でなくとも、この様な場合、変形ベクトル・ポテンシャル法で解析が可能となる）。変形ベクトル・ポテンシャル法を臨界プラズマ試験装置の渦電流解で適用した場合の最大の弱点は、例えば、真空容器の厚肉部とペローズ部をトロイダル方向に一周して流れる電流を考慮することができない点にある（なぜなら、この様な循環電流が存在する場合、真空中の磁界 $\dot{\mathbf{H}}_v$ がスカラー・ポテンシャル Ω_v の勾配のみでは与えられないからである）。このような場合には、構造上、なんらかのポロイダル・カットを仮定しておく必要がある。他方、ベクトル・ポテンシャル法では、トロイダル方向、あるいはポロイダル方向に一周して流れる電流を、何の問題もなく、取り扱うことができる。
- (B) 変形ベクトル・ポテンシャル法では、至る所で、 $\int_s \dot{\mathbf{i}} \cdot d\mathbf{S} = 0$ が成り立っている。ポロイダル・コイルの断面に対しても、この等式が成立するから、この方法では、ポロイダル・コイルの導電率 σ を零と見なした場合も、見なさない場合も、ポロイダル・コイルの電源として、常に定電流源（電源の内部インピーダンスが無限大、このインピーダンスが有限の場合、負荷の変動、あるいは逆起電力に応じて、電源電圧を変化させ、通電電流を一定に保つものとする）を想定していることになる。他方、ベクトル・ポテンシャル法で



第10図 円筒状導体における電流の表皮効果（実数部）



第11図 円筒状導体における電流の表皮効果(虚数部)

は、理論上、解析の仕方により、ポロイダル・コイルの電源として定電圧源（電源の内部インピーダンスが零、このインピーダンスが零でない場合、負荷の変動、あるいは逆起電力に応じて電源電圧を変化させ、電源の端子電圧を一定に保つものとする）を想定する場合も生じるし、又定電流源を想定する場合も生じる。まず、(a)ポロイダル・コイルの導電率 σ を零と見なした場合。この場合、ポロイダル・コイルの電源として、定電流源を想定し、かつ、ポロイダル・コイル内の表皮効果を完全に無視したことと相当する。(b)ポロイダル・コイルに零とは異なる導電率を持たせる場合。この場合、ポロイダル・コイルに（コイル断面に沿うような）カットを入れる場合と入れない場合の二つの場合が考えられる。(b-1) カットを入れない場合。この場合、ポロイダル・コイルの電源として定電圧源を想定し、かつ、ポロイダル・コイル内の表皮効果を考慮することと相当する。(b-2) カットを入れた場合、この場合、定電流源を想定し、かつ、ポロイダル・コイル内の表皮効果を考慮することと相当する。ただし、この場合、式(63)から式(64)に移る際に省略した面積分の項 $\int_s \dot{\Phi} \cdot \dot{i}^{(e)} dS$ （面積分はコイル断面にわたって行う）を全行列方程式の右辺に組み込む必要がある。理論上は以上の通りであるが、実際問題として、(b-2)の場合の計算には非常な困難を伴う（トロイダル・コイル、ポロイダル・コイル、真空容器、ライナー等、多数の複雑な構造物を解析の対象に加える場合、電子計算機の容量に関する制限より、ポロイダル・コイルに一箇所だけカットを入れることは不可能に近い。そこで、トロイダル・コイル、あるいは真空容器の周期性を勘案して、ポロイダル・コイルに（トロイダル方向に）周期的なカットを入れることになる。その結果、カットの入れ方に対しても種々の議論が必要になり、問題を極めて複雑にする）。

ところで、ポロイダル・コイルには種々の制御装置が装備されるため、ポロイダル・コイルの電源は定電流源であると考える方が実際の状態に近い。そこで、定電流源を想定し、かつポロイダル・コイル内の表皮効果を考慮しようとすると、上に述べた理由から、ベクトル・ポテンシャル法では非常な困難を伴うことになる。ベクトル・ポテンシャル法にはこのような弱点がある。この点、変形ベクトル・ポテンシャル法では、前節の計算例に示した如く、全く問題がない。

- (c) 次に、両方の運用上の比較に移ろう。両者ともに、媒質中では、ひとつの節点に対し4自由度（ベクトル・ポテンシャル3自由度、スカラー・ポテンシャル1自由度）が必要である。ところが、真空中では、ひとつの節点に対し、ベクトル・ポテンシャル法では3自由度（ベクトル・ポテンシャルのみ）、変形ベクトル・ポテンシャル法では1自由度（スカラー・ポテンシャルのみ）を有することになる。このため、変形ベクトル・ポテンシャル法は、ベクトル・ポテンシャル法に較べて、解くべき全体マトリクスの元数が（場合によっては半バンド幅も）著しく小さくなる。例えば、前節の計算例（501元）をベクトル・ポテンシャル法で行うと、さらに500元程度、マトリクスの元数が増えることになる。これが、変形ベクトル・ポテンシャル法の最大の長所となる。

変形ベクトル・ポテンシャル法では、媒質中の磁界 $\dot{H}^{(e)}$ が発生源となる。このため、電流源 $\dot{i}^{(e)}$ の媒質の導電率 σ を零と考える場合、電流源 $\dot{i}^{(e)}$ 近傍の領域の有限要素への分割を荒くすることができる。ベクトル・ポテンシャル法では、電流源 $\dot{i}^{(e)}$ の媒質の導電率 σ

を零と考える場合でも、電流源 $i^{(e)}$ 近傍のベクトル・ポテンシャルの値が精度に非常に良く効くので、この領域を、比較的こまかく、有限要素に分割しなければならない。ただしこの点に関しては、媒質中のベクトル・ポテンシャル $\mathbf{A}^{(e)}$ が発生源となるように、ベクトル・ポテンシャル法を改良することができる（付録V）。

(D) 変形ベクトル・ポテンシャル法では、媒質中の外部印加磁界 $\dot{\mathbf{H}}^{(e)}$ を計算する必要があること、媒質と真空との境界面における境界条件 $\dot{\mathbf{F}} = 0$ を考慮する必要があることの二点に関して、ベクトル・ポテンシャル法より計算コードが複雑となる。これは、とりたてて、変形ベクトル・ポテンシャル法の欠点と見なされるほど、大きな欠点とはならない。

以上に述べた様に、ベクトル・ポテンシャル法と変形ベクトル・ポテンシャル法は、それ相異った特徴を持っており、解析の目的に応じて使い分けることが望ましい。

(2) ゲージ問題

第 2.1.1 節に述べたように、本報告では、クーロン・ゲージあるいはローレンツ・ゲージの様な特定のゲージを指定していない。従って、ベクトル・ポテンシャル法では、媒質中と真空中の両方の領域にわたって、一つの関数 χ が、変形ベクトル・ポテンシャル法では、媒質内において、真空との境界面である与えられた値をとる関数 χ が、ゲージ不変性に関連して残っている。当然、エネルギー汎関数（式（63）と式（83））とこの関数の変分を与える表式（式（67）と式（85））にも、ゲージ不変性が存在している。従って、得られた解にもゲージ不変性が存在していなければならぬはずだが、有限要素法を適用して得られた解は一意的に決定されてしまう。なぜ、このようになるのかを、ベクトル・ポテンシャル法を例にとって、以下に考察する。

有限要素法を適用する際に、あるひとつの有限要素内で、スカラー・ポテンシャル $\Phi(r, \theta, z)$ を r, θ, z に関して一次の関数と近似して、次式を得た（式（70））。

$$\Phi(r, \theta, z) = \sum_{i=1}^j N_i(r, \theta, z) \Phi_i \quad (137)$$

$N_i(r, \theta, z)$ は r, θ, z に関し一次の関数であるから、上式に ∇^2 の演算を施すと、

$$\nabla^2 \Phi(r, \theta, z) \equiv 0 \quad (138)$$

となる。式(16)より、

$$\nabla \cdot \vec{A}(\vec{r}, t) = 0 \quad (139)$$

従って、有限要素内で、任意の関数を r , θ , z に関して一次の関数と近似することは、クーロン・ゲージを採用したことになる。(このように、ゲージを決めてしまえば、ベクトル・ポテンシャルの境界条件は文献(14)に述べられた方法から導びかれる。) 有限要素法において、より高次の項を近似に加えれば、このゲージとは別のゲージを採用することになろう(例えは、二次までの近似をとれば、 $\nabla \cdot \dot{\mathbf{A}} = \text{const}$ のゲージを選ぶことになる)。

(3) 変形ベクトル・ポテンシャル法の境界条件

変形ゲクトル・ポテンシャル法では、媒質と真空との境界面において、

(140)

となる様に、スカラー・ポテンシャル Ω を選んだ。上式が成り立つため、式(85)の面積積分

$$\int_{S_m^{(e)}} \frac{j}{\omega} \dot{\mathbf{E}} \times \delta \dot{\mathbf{F}} \cdot d\mathbf{S} \quad (141)$$

の項が零となり、変形ベクトル・ポテンシャル法に有限要素法が適用できた。

しかるに、式(44)より、 ℓ を媒質表面上にある、任意の閉曲線として；

$$\oint_{\ell} \dot{\mathbf{F}} \cdot d\mathbf{l} = 0 \quad (142)$$

となる。式(140)は、もちろん、上式を満足する。ところが、上式を満足する $\dot{\mathbf{F}}$ は、境界面において、一般に、

$$\dot{\mathbf{F}}_{\parallel} = (\nabla \Omega_b)_{\parallel} \quad (143)$$

とあらわせる。この場合、境界面において、

$$\dot{\mathbf{i}}_{\perp} = 0 \quad (144)$$

が成り立つことがわかる。 $\dot{\mathbf{F}}_{\parallel}$ を式(143)のように考えると、有限要素法が適用できなくなる。その結果、渦電流解析におけるひとつの手法として、変形ベクトル・ポテンシャル法を成り立たせることが不可能となる。従って、ゲージ不变性より、式(140)のように境界条件を選ぶことが、変形ベクトル・ポテンシャル法にとって最も強調されるべきことと言える。

4 ま と め

臨界プラズマ試験装置の設計を行うにあたり、この装置の種々の機構、たとえば、トロイダル・コイル、ポロイダル・コイル、真空容器、ライナー等に発生する渦電流、及び、この電流により生ずる磁場を三次元的に解析することが重要になっている。本報告では、有限要素法に着目し、この方法の三次元渦電流・磁場解析への適用について検討を行った。有限要素法を用いる点は同じであるが、外部発生源を外部供給電流に選ぶか、外部印加磁界に選ぶかにより、ベクトル・ポテンシャル法と変形ベクトル・ポテンシャル法の二つの解法が考えられる。両解法の基礎方程式と境界条件について述べ、次にエネルギー汎関数を導出し、この汎関数を停留とするベクトル・ポテンシャルとスカラー・ポテンシャルを見い出すことと、境界条件の下に基礎方程式を解くこととは同等であることを示した。断面が三角形の五面体を有限要素に選び、この要素内で r 、 θ 、 z の一次の関数となる形状関数を定義し、形状関数の体積積分を係数にもつ、連立一次の要素方程式を導き出した。この要素方程式をすべての有限要素について組み立てることにより、全行列方程式が得られ、この方程式を解いて、渦電流と磁界を算出した。

変形ベクトル・ポテンシャル法に関しては、正方形断面の円形ループの表皮効果を計算例として与え、その結果を、解析解として与えられている円筒状導体の表皮効果と比較した。このことより、変形ベクトル・ポテンシャル法の解析方法には問題がないことが判った。

最後に、ベクトル・ポテンシャル法と変形ベクトル法の比較、ゲージ問題、変形ベクトル・ポテンシャル法の境界条件について検討した。

謝 辞

本報告は、全般を通じて、「臨界プラズマ試験装置 プラズマ位置形状制御技術の開発」において、渦電流・磁界解析を担当された、東京芝浦電気株式会社 重電技術研究所の田辺義雄氏との議論に負うところが大きかった。巨大なマトリクス方程式の解法については、同社の第一電子計最機事業部、平野管谷氏から貴重なコメントをいただいた。又、ゲージ不変性について、大型トカマク開発部の二宮博正氏と龜有昭久氏には有益な示唆をいただいた。さらに、吉川允二大型トカマク開発室長をはじめとするグループの諸氏には、本研究を遂行するにあたり、種々の御援助をいただいた。ここに、以上の方々に感謝の意を表します。

4 ま と め

臨界プラズマ試験装置の設計を行うにあたり、この装置の種々の機構、たとえば、トロイダル・コイル、ポロイダル・コイル、真空容器、ライナー等に発生する渦電流、及び、この電流により生ずる磁場を三次元的に解析することが重要になっている。本報告では、有限要素法に着目し、この方法の三次元渦電流・磁場解析への適用について検討を行った。有限要素法を用いる点は同じであるが、外部発生源を外部供給電流に選ぶか、外部印加磁界に選ぶかにより、ベクトル・ポテンシャル法と変形ベクトル・ポテンシャル法の二つの解法が考えられる。両解法の基礎方程式と境界条件について述べ、次にエネルギー汎関数を導出し、この汎関数を停留とするベクトル・ポテンシャルとスカラー・ポテンシャルを見い出すことと、境界条件の下に基礎方程式を解くこととは同等であることを示した。断面が三角形の五面体を有限要素に選び、この要素内で r 、 θ 、 z の一次の関数となる形状関数を定義し、形状関数の体積積分を係数にもつ、連立一次の要素方程式を導き出した。この要素方程式をすべての有限要素について組み立てることにより、全行列方程式が得られ、この方程式を解いて、渦電流と磁界を算出した。

変形ベクトル・ポテンシャル法に関しては、正方形断面の円形ループの表皮効果を計算例として与え、その結果を、解析解として与えられている円筒状導体の表皮効果と比較した。このことより、変形ベクトル・ポテンシャル法の解析方法には問題がないことが判った。

最後に、ベクトル・ポテンシャル法と変形ベクトル法の比較、ゲージ問題、変形ベクトル・ポテンシャル法の境界条件について検討した。

謝 辞

本報告は、全般を通じて、「臨界プラズマ試験装置 プラズマ位置形状制御技術の開発」において、渦電流・磁界解析を担当された、東京芝浦電気株式会社 重電技術研究所の田辺義雄氏との議論に負うところが大きかった。巨大なマトリクス方程式の解法については、同社の第一電子計最機事業部、平野管谷氏から貴重なコメントをいただいた。又、ゲージ不変性について、大型トカマク開発部の二宮博正氏と亀有昭久氏には有益な示唆をいただいた。さらに、吉川允二大型トカマク開発室長をはじめとするグループの諸氏には、本研究を遂行するにあたり、種々の御援助をいただいた。ここに、以上の方々に感謝の意を表します。

参 考 文 献

- (1) 亀有, 相川, 二宮, 鈴木: JAERI-M 6468 (1976)
- (2) 亀有, 二宮, 鈴木: JAERI-M 6953 (1977)
- (3) J.Donea, S.Giuliai and S.Philippe : International Journal for Numerical Methods in Engineering , Vol.8, 359-367 (1974)
- (4) M.V.K. Chari : IEEE Vol. PAS-93, 62-72 (1974)
- (5) W.Kinsner and Edward Della Torre : IEEE Vol. MTT-22, 221-228 (1974)
- (6) 奥田宏史: 昭和51年電気学会全国大会予稿集 S. 7-3
- (7) 臨界プラズマ試験装置, プラズマ位置形状制御技術の開発 総合報告書(1)
- (8) S.Caeymaex : CERN ISR-MA/70-19 (1970)
- (9) C.W.Trowbridge : RPP/A92 (1972)
Presented at the 4th International Conference on Magnet Technology, Brookhaven, 19-22 September 1972.
- (10) 後藤以紀: 「電気磁気学本論」, 215頁, 註 I・9・1, オーム社,
昭和40年6月20日
- (11) O.C. Zienkiewicz著, 吉識, 山田監訳: 「基礎工学におけるマトリックス有限要素法」
培風館 1975年
- (12) P.Daly : International Journal for Numerical Methods in Engineering, Vol. 6, 169-178 (1973)
- (13) Calius Vernon Dodd : ORNL-TM-1185 (1965)
- (14) 林重憲ら共著: 「電気磁気学 II」 120頁, オーム社, 昭和42年10月20日発行

付録 I. ゲージと境界条件

ベクトル・ポテンシャル法

媒質中のベクトル・ポテンシャルとスカラー・ポテンシャルを $\dot{\mathbf{A}}_m, \dot{\Phi}_m$ 、真空中のベクトル・ポテンシャルとスカラー・ポテンシャルを $\dot{\mathbf{A}}_v, \dot{\Phi}_v$ とする。この時、ゲージ不变性より、 χ_m, χ_v を任意の独立な関数として、

$$\left\{ \begin{array}{l} \dot{\mathbf{A}}'_m = \dot{\mathbf{A}}_m - \nabla \chi_m \\ \dot{\Phi}'_m = \dot{\Phi}_m + \dot{\chi}_m \end{array} \right. \quad (I-1)$$

$$\left\{ \begin{array}{l} \dot{\mathbf{A}}'_v = \dot{\mathbf{A}}_v - \chi_v \\ \dot{\Phi}'_v = \dot{\Phi}_v + \dot{\chi}_v \end{array} \right. \quad (I-2)$$

$$(I-3)$$

$$(I-4)$$

も、又、基礎方程式の解となり得る。 χ_m と χ_v は任意の独立な関数であるから、境界において、

$$\dot{\Phi}'_m = \dot{\Phi}'_v \quad (I-5)$$

$$\dot{\mathbf{A}}'_{m\perp} = \dot{\mathbf{A}}'_{v\perp} \quad (I-6)$$

となる様に χ_m, χ_v を決めてみる。すなわち、境界では、

$$\dot{\chi}_m - \dot{\chi}_v = \dot{\Phi}_v - \dot{\Phi}_m \quad (I-7)$$

$$\frac{\partial}{\partial n} (\dot{\chi}_m - \dot{\chi}_v) = \dot{\mathbf{A}}_{m\perp} - \dot{\mathbf{A}}_{v\perp} \quad (I-8)$$

の関係式が成り立つとする。今、境界で、

$$\dot{\chi} = \dot{\chi}_m - \dot{\chi}_v \quad (I-9)$$

とおけば、

$$\dot{\chi} = \dot{\Phi}_v - \dot{\Phi}_m \quad (I-10)$$

$$\frac{\partial \dot{\chi}}{\partial n} = \dot{\mathbf{A}}_{m\perp} - \dot{\mathbf{A}}_{v\perp} \quad (I-11)$$

となる。境界面において、式(I-10)と式(I-11)を満たす χ は必ず存在する。従って、式(I-5), 式(I-6)を満足する様に χ_m, χ_v を選ぶことが可能である。

境界面において、 $\dot{\chi}_m$, $\dot{\chi}_v$ は、もはや、任意の独立な関数とは成り得ない。しかし、境界において、 χ' を任意の関数として、

$$\dot{\chi}'_m = \dot{\chi}_m + \dot{\chi}' \quad (I-12)$$

$$\dot{\chi}'_v = \dot{\chi}_v + \dot{\chi}' \quad (I-13)$$

も、又、式(I-5), 式(I-6)を満足するスカラー・ポテンシャルとなり得る。従って、真空中、媒質中両方で、一つの独立な関数がゲージ不变性に関連して残されることになる。
異なった媒質間の境界条件についても、全く同様のことが言える。

変形ベクトル・ポテンシャル法

媒質中の基礎方程式にだけ、

$$\left\{ \begin{array}{l} \dot{\mathbf{F}}' = \dot{\mathbf{F}} - \nabla \dot{\chi} \\ \dot{\Omega}'_m = \dot{\Omega}_m + \dot{\chi} \end{array} \right. \quad (I-14)$$

のゲージ不变性が存在する。この時、境界面において、

$$\dot{\Omega}'_m = \dot{\Omega}_v \quad (I-16)$$

となる様に $\dot{\chi}$ を選んでみる。すなわち

$$\dot{\chi} = \dot{\Omega}_v - \dot{\Omega}_m \quad (I-17)$$

境界面で $\dot{\chi}$ をこの様に選ぶことは常に可能である。媒質中の $\dot{\chi}$ は、境界面の $\dot{\chi}$ の値に連続的に変化しなければならない。このため、媒質中の $\dot{\chi}$ は完全に任意な関数ではなく、境界面で、式(I-17)を満たす関数のみが許可される。

付録 II. 形状関数の積分

式(75)～式(78), 式(90)～式(94)の係数は形状関数の積分で表わされている。ここでは、形状関数の積分を、すべて、表式にして与える。

まず、式(103)を行列表示で記すと次の様になる。

$$\begin{pmatrix} M_1 \\ M_2 \\ M_3 \end{pmatrix} = \begin{pmatrix} a_{11} & a_{21} & a_{31} \\ a_{12} & a_{22} & a_{32} \\ a_{13} & a_{23} & a_{33} \end{pmatrix} \begin{pmatrix} 1 \\ r \\ z \end{pmatrix} \quad (\text{II-1})$$

従って、

$$\begin{pmatrix} 1 \\ r \\ z \end{pmatrix} = ((a_{ij})^*)^{-1} \begin{pmatrix} M_1 \\ M_2 \\ M_3 \end{pmatrix} \quad (\text{II-2})$$

$$= \begin{pmatrix} 1 & 1 & 1 \\ r_1 & r_2 & r_3 \\ z_1 & z_2 & z_3 \end{pmatrix} \begin{pmatrix} M_1 \\ M_2 \\ M_3 \end{pmatrix} \quad (\text{II-3})$$

となる。従って、

$$\sum_{i=1}^3 M_i = 1 \quad (\text{II-4})$$

$$r = \sum_{i=1}^3 r_i M_i \quad (\text{II-5})$$

$$z = \sum_{i=1}^3 z_i M_i \quad (\text{II-6})$$

となる。

形状関数の積分の中で $d\theta$ は容易に積分できる。従って $\int_{S(e)} f(r, z) dr dz$ の型の積分のみが残る。この積分は次の様にして行う。

(ℓ, m, n) を $(1, 2, 3)$ の順列とする。式(II-4), 式(II-5), (II-6)より, (r, z) を (M_m, M_n) に座標変換する。

$$\int_{S(e)} f(r, z) dr dz = \int_0^1 dM_m \int_0^{1-M_m} dM_n \left| \begin{array}{c} \frac{\partial r}{\partial M_m} \frac{\partial r}{\partial M_n} \\ \frac{\partial z}{\partial M_m} \frac{\partial z}{\partial M_n} \end{array} \right| f(M_m, M_n)$$

$$\begin{aligned}
 &= |r_\ell(z_m - z_n) + r_m(z_n - z_\ell) + r_n(z_\ell - z_m)| \int_0^{1-M_m} dM_m \int_0^{1-M_n} dM_n f(M_m, M_n) \\
 &= |\Delta| + \int_0^1 dM_m \int_0^{1-M_m} dM_n f(M_m, M_n) \quad (\text{II-7})
 \end{aligned}$$

上式を用いれば形状関数の体積積分を容易に計算することができる。例として、次の二つの計算を行っておく。

$$S^{(e)} = \int_S^{(e)} d\tau dz = |\Delta| + \int_0^1 dM_1 \int_0^{1-M_1} dM_2 = \frac{1}{2} |\Delta| \quad (\text{II-8})$$

$$\begin{aligned}
 V^{(e)} &= \int_V^{(e)} d\tau d\theta dz \\
 &= (\theta_2 - \theta_1) |\Delta| + \int_0^1 dM_1 \int_0^{1-M_1} dM_2 (r_1 M_1 + r_2 M_2 + r_3 M_3) \quad (\text{II-9})
 \end{aligned}$$

式 (II-4) を用いて、 M_3 を消去し、積分を実行する。

$$V^{(e)} = \frac{1}{6} (\theta_2 - \theta_1) |\Delta| + (r_1 + r_2 + r_3) = (\theta_2 - \theta_1) \frac{r_1 + r_2 + r_3}{3} S^{(e)} \quad (\text{II-10})$$

$S^{(e)}$ は r_z 平面の三角形の面積、 $V^{(e)}$ は有限要素の体積である。

形状関数の積分の表式を与える前に、次の関数を与えておく。

$$\varepsilon = \begin{cases} 1 & \Delta > 0 \text{ のとき} \\ -1 & \Delta < 0 \text{ のとき} \end{cases} \quad (\text{II-11})$$

$$\Theta = \theta_2 - \theta_1 \quad (> 0) \quad (\text{II-12})$$

$$A_{ij} = \Delta \cdot a_{ij}, \quad (i=1 \sim 3, j=1, 3) \quad (\text{II-13})$$

$$\begin{aligned}
 F_0(r_1, r_2, r_3) &= \frac{1}{3\Delta} \int_0^1 dM_m \int_0^{1-M_m} dM_n (r_1 M_1 + r_2 M_2 + r_3 M_3) \\
 &= \frac{r_1 + r_2 + r_3}{18\Delta} \quad (\text{II-14})
 \end{aligned}$$

$$\begin{aligned}
 F_1^{(i)}(r_1, r_2, r_3) &= \frac{1}{3} \int_0^1 dM_m \int_0^{1-M_m} dM_n M_i (r_1 M_1 + r_2 M_2 + r_3 M_3) \\
 &= \frac{1}{72} (r_1 + r_2 + r_3 + r_i) \quad (i=1 \sim 3) \quad (\text{II-15})
 \end{aligned}$$

$$F_2^{(i,j)}(r_1, r_2, r_3) = \frac{1}{3} \int_0^1 dM_m \int_0^{1-M_m} dM_n M_i M_j (r_1 M_1 + r_2 M_2 + r_3 M_3) \\ (i=1 \sim 3, j=1 \sim 3)$$

$$= \frac{1}{360} \times \begin{cases} 2(r_1+r_2+r_3) + 4r_i & i=j \text{ のとき} \\ 2(r_1+r_2+r_3) - r_k & i \neq j \text{ のとき}, k=6-i-j \end{cases}$$

(II-16)

$$F_3^{(i,j)}(r_1, r_2, r_3) = 4 \int_0^1 dM_m \int_0^{1-M_m} dM_n \frac{M_i M_j}{r_1 M_1 + r_2 M_2 + r_3 M_3}$$

(II-17)

この積分はかなり複雑である。まず、 r_1, r_2, r_3 の中で零となるものがあれば（例えば r_i を零とする、非常に小さな値（例えば 1 cm）を持つ r_{\min} に対し、

$$r_i = r_{\min} \quad (II-18)$$

とおく。その後、この積分は次の二つの場合に分かれる。 i, j の取り得る値はともに 1, 2, 3 である。

(1) $r_1 \neq r_2, r_2 \neq r_3, r_3 \neq r_1$ の場合

$$F_3^{(i,j)}(r_1, r_2, r_3) / 4 = \begin{cases} \frac{1}{3(r_m-r_n)} \left[\frac{r_m^3}{(r_i-r_m)^3} \log \left(\frac{r_i}{r_m} \right) - \frac{r_n^3}{(r_i-r_n)^3} \log \left(\frac{r_i}{r_n} \right) \right. \\ \left. - \frac{3r_m^2 - r_i r_m}{2(r_i-r_m)^2} + \frac{3r_n^2 - r_i r_n}{2(r_i-r_n)^2} \right] & i=j \text{ の時}, m \neq i, n \neq i, m \neq n \\ \frac{1}{6(r_j-r_k)} \left[\frac{r_j^3}{(r_i-r_j)^3} \log \left(\frac{r_i}{r_j} \right) - \frac{r_k^2}{(r_i-r_k)^2} \log \left(\frac{r_i}{r_k} \right) \right. \\ \left. - \frac{3r_j^2 - r_i r_j}{2(r_i-r_j)^2} + \frac{3r_k^2 - r_i r_k}{2(r_i-r_k)^2} \right] + \frac{r_k}{2(r_i-r_k)^2} \left[\frac{r_j^2}{(r_i-r_j)^2} \log \left(\frac{r_i}{r_j} \right) \right. \\ \left. - \frac{r_k^2}{(r_i-r_k)^2} \log \left(\frac{r_i}{r_k} \right) - \frac{r_j}{r_i-r_j} + \frac{r_k}{r_i-r_k} \right] & i \neq j \text{ の時}, k=6-i-j \end{cases}$$

(II-19)

(2) r_1, r_2, r_3 の中で、どれか二つが等しい場合

$i=j$ の場合

$$F_3^{(i,j)}(r_1, r_2, r_3) / A$$

$$= \begin{cases} \frac{1}{3(r_o - r_n)} \left\{ \frac{1}{3} + \frac{r_n(3r_n - r_o)}{2(r_o - r_n)^2} - \frac{r_n^3}{(r_o - r_n)^3} \log(\frac{r_o}{r_n}) \right\}, \\ \quad r_o = r_i = r_m \text{ の時} \quad m \neq i, n = 6 - i - m \\ \frac{1}{r_o - r_i} \left\{ \frac{1}{3} + \frac{r_i}{2(r_o - r_i)} + \frac{r_o r_i}{(r_o - r_i)^2} + \frac{r_i r_o^2}{(r_o - r_i)} \log(\frac{r_i}{r_o}) \right\}, \\ \quad r_o = r_m = r_n \text{ の時} \quad m \neq i, n \neq i, m \neq n \\ \frac{1}{3(r_o - r_m)} \left\{ \frac{1}{3} + \frac{r_m(3r_m - r_o)}{2(r_o - r_m)^2} - \frac{r_m^3}{(r_o - r_m)^3} \log(\frac{r_o}{r_m}) \right\}, \\ \quad r_o = r_i = r_n \text{ の時} \quad n \neq i, m = 6 - i - n \end{cases}$$

(II-20)

i ≠ j の場合

$$F_3^{(i,j)}(r_1, r_2, r_3) / A$$

$$= \begin{cases} \frac{1}{6(r_o - r_k)} \left\{ \frac{1}{3} - \frac{r_k}{2(r_o - r_k)} + \frac{r_k^2}{(r_o - r_k)^2} - \frac{r_k^3}{(r_o - r_k)^3} \log(\frac{r_o}{r_k}) \right\}, \\ \quad r_o = r_i = r_j \text{ の時} \quad k = 6 - i - j \\ \frac{1}{2(r_o - r_i)} \left\{ -\frac{1}{3} + \frac{r_o}{2(r_o - r_i)} - \frac{r_o r_i}{(r_o - r_i)^2} + \frac{r_o r_i^2}{(r_o - r_i)} \log(\frac{r_o}{r_i}) \right\}, \\ \quad r_o = r_j = r_k \text{ の時} \quad k = 6 - i - j \\ \frac{1}{2(r_o - r_j)} \left\{ -\frac{1}{3} + \frac{r_o}{2(r_o - r_j)} - \frac{r_o r_j}{(r_o - r_j)^2} + \frac{r_o r_j^2}{(r_o - r_j)} \log(\frac{r_o}{r_j}) \right\}, \\ \quad r_o = r_i = r_k \text{ の時} \quad k = 6 - i - j \end{cases}$$

(II-21)

以上の A_{ij} , $F_0(r_1, r_2, r_3)$, $F_1^{(i)}(r_1, r_2, r_3)$, $F_2^{(i,j)}(r_1, r_2, r_3)$,

$F_3^{(i,j)}(r_1, r_2, r_3)$ を用いて、形状関数の体積積分は次のようになる。

$$\int_{V(e)} N_i dV = \frac{3}{2} \cdot \varepsilon \cdot \theta \cdot A \cdot F_1^{(I_3)}(r_1, r_2, r_3), \quad i = 1 \sim 6$$

(II-22)

$i = 1 \sim 6, j = 1 \sim 6$ に対して ,

$$\int_{V^{(e)}} N_i N_j dV = \epsilon \cdot \theta \cdot A \cdot F_2^{(I_3, J_3)}(r_1, r_2, r_3) \times \begin{cases} 1, & I_1 = J_1 \text{ の時} \\ \frac{1}{2}, & I_1 \neq J_1 \text{ の時} \end{cases}$$

(II-23)

$$\int_{V^{(e)}} N_i \frac{\partial N_j}{\partial r} dV = \epsilon \cdot \theta \cdot A_{2J_3} \cdot F_1^{(I_3)}(r_1, r_2, r_3) \times \begin{cases} 1, & I_1 = J_1 \text{ の時} \\ \frac{1}{2}, & I_1 \neq J_1 \text{ の時} \end{cases}$$

(II-24)

$$\int_{V^{(e)}} \frac{1}{r} N_i \frac{\partial N_j}{\partial \theta} dV = (-1)^{J_1} \cdot \frac{1}{24} \cdot \epsilon \cdot A \times \begin{cases} 1, & I_3 = J_3 \text{ の時} \\ \frac{1}{2}, & I_3 \neq J_3 \text{ の時} \end{cases}$$

(II-25)

$$\int_{V^{(e)}} N_i \frac{\partial N_j}{\partial z} dV = \epsilon \cdot \theta \cdot A_{3J_3} \cdot F_1^{(I_3)}(r_1, r_2, r_3) \times \begin{cases} 1, & I_1 = J_1 \text{ の時} \\ \frac{1}{2}, & I_1 \neq J_1 \text{ の時} \end{cases}$$

(II-26)

$$\int_{V^{(e)}} \frac{1}{r^2} \frac{\partial N_i}{\partial r} \frac{\partial N_j}{\partial r} dV = \epsilon \cdot \theta \cdot A_{2I_3} \cdot A_{2J_3} \cdot F_0(r_1, r_2, r_3) \times \begin{cases} 1, & I_1 = J_1 \text{ の時} \\ \frac{1}{2}, & I_1 \neq J_1 \text{ の時} \end{cases} \quad (II-27)$$

$$\int_{V^{(e)}} \frac{1}{r^2} \frac{\partial N_i}{\partial \theta} \frac{\partial N_j}{\partial \theta} dV = (-1)^{I_1 + J_1} \cdot \epsilon \cdot \frac{1}{\theta} \cdot F_3^{(I_3, J_3)}(r_1, r_2, r_3) \quad (II-28)$$

$$\int_{V^{(e)}} \frac{\partial N_i}{\partial z} \frac{\partial N_j}{\partial z} dV = (-1)^{I_1} \cdot \frac{1}{12} \cdot \epsilon \cdot A_{3J_3} \quad (II-29)$$

$$\int_{V^{(e)}} \frac{\partial N_i}{\partial z} \frac{\partial N_j}{\partial r} dV = \epsilon \cdot \theta \cdot A_{3I_3} \cdot A_{2J_3} \cdot F_0(r_1, r_2, r_3) \times \begin{cases} 1, & I_1 = J_1 \text{ の時} \\ \frac{1}{2}, & I_1 \neq J_1 \text{ の時} \end{cases} \quad (II-30)$$

$$\int_{V^{(e)}} \frac{1}{r^2} \frac{\partial(rN_i)}{\partial r} \frac{\partial(rN_j)}{\partial r} dV = \varepsilon \cdot \Theta \cdot \left\{ A_{2I_3} \cdot A_{2J_3} \cdot F_0(r_1, r_2, r_3) \right. \\ \left. + \frac{1}{18} (A_{2I_3} + A_{2J_3}) + \frac{1}{3} F_3^{(I_3, J_3)}(r_1, r_2, r_3) \right\} \times \begin{cases} 1, & I_1 = J_1 \text{ の時} \\ \frac{1}{2}, & I_1 \neq J_1 \text{ の時} \end{cases}$$

(II-31)

$$\int_{V^{(e)}} \frac{1}{r^2} \frac{\partial(rN_i)}{\partial r} \frac{\partial N_j}{\partial \theta} dV = (-1)^{J_1} \cdot \frac{1}{2} \cdot \varepsilon \cdot \left\{ \frac{1}{6} A_{2I_3} + F_3^{(I_3, J_3)}(r_1, r_2, r_3) \right\}$$

(II-32)

以上の表式の中で， I_1, I_2, I_3 （又は J_1, J_2, J_3 ）は，与えられた i （又は j ）に対し，それぞれ式(105)，式(106)，式(107)に従って計算された値をとるものとする。

次に，以上に与えた表式の性質について述べる。表式の左辺に i, j の添字のあるものは，すべて，3行3列あるいは6行6列の正方行列の型にあらわすことが可能である。この正方行列が対称行列となるものは次の通りである。

$$F_2^{(i,j)}(r_1, r_2, r_3), F_3^{(i,j)}(r_1, r_2, r_3) \quad (3 \text{ 行 } 3 \text{ 列})$$

$$\int_{V^{(e)}} N_i N_j dV, \int_{V^{(e)}} \frac{\partial N_i}{\partial r} \frac{\partial N_j}{\partial r} dV, \int_{V^{(e)}} \frac{1}{r^2} \frac{\partial N_i}{\partial \theta} \frac{\partial N_j}{\partial \theta} dV, \int_{V^{(e)}} \frac{\partial N_i}{\partial r} \frac{\partial N_j}{\partial \theta} dV$$

$$\int_{V^{(e)}} \frac{1}{r^2} \frac{\partial(rN_i)}{\partial r} \frac{\partial(rN_j)}{\partial r} dV \quad (6 \text{ 行 } 6 \text{ 列})$$

形状関数の積分の表式については， $i = 1 \sim 3, j = 1 \sim 3$ とした時に得られる3行3列の小行列を(m)として，もとの6行6列の行列は次の4個の型の行列に分類できる。

$$\begin{pmatrix} (m) & -(m) \\ -(m) & (m) \end{pmatrix} \text{ 型: } \int_{V^{(e)}} \frac{1}{r^2} \frac{\partial N_i}{\partial \theta} \frac{\partial N_j}{\partial \theta} dV$$

$$\begin{pmatrix} (m) & -(m) \\ (m) & -(m) \end{pmatrix} \text{ 型: } \int_{V^{(e)}} \frac{1}{r} N_i \frac{\partial N_j}{\partial \theta} dV, \int_{V^{(e)}} \frac{1}{r^2} \frac{\partial(rN_i)}{\partial r} \frac{\partial N_j}{\partial \theta} dV$$

$$\begin{pmatrix} (m) & (m) \\ -(m) & -(m) \end{pmatrix} \text{ 型: } \int_{V^{(e)}} \frac{1}{r} \frac{\partial N_i}{\partial \theta} \frac{\partial N_j}{\partial z} dV$$

$$\begin{pmatrix} (m) & \frac{1}{2}(m) \\ \frac{1}{2}(m) & (m) \end{pmatrix} \text{ 型: 上記を除くすべての体積積分}$$

形状関数の体積積分に関する以上の性質を利用することにより，実際の計算コード内における演算を簡略化することができる。

付録 III. 外部磁界 $H^{(e)}$, 外部ベクトル・ポテンシャル $A^{(e)}$ の表式

円筒座標系 r , θ , z の r - z 平面における断面が矩形(巾 w , 高さ h)で, この矩形を θ_1 から θ_2 まで回転させたときに得られる立体に, 電流 $I^{(e)}$ が, 一定電流密度で, θ 方向に流れている場合を考える。この場合, 点 (r_p, θ_p, z_p) におけるベクトル・ポテンシャル $A^{(e)}$ (r_p, r_p, z_p) は次式で与えられる。断面中心がつくる円の直径を d としておく。

$$A_r^{(e)}(r_p, \theta_p, z_p) = \frac{\mu}{4\pi} \frac{I^{(e)}(\theta_2 - \theta_p)}{wh} \int_{\theta_1 - \theta_p}^{\theta_2 - \theta_p} d\theta \int_{\frac{d-w}{2}}^{\frac{d+w}{2}} dr_Q \int_{-\frac{h}{2}}^{\frac{h}{2}} dz_Q \frac{-r_Q \sin \theta}{\sqrt{r_Q^2 + r_p^2 - 2r_p r_Q \cos \theta + (z_Q - z_p)^2}}$$

(III-1)

$$A_\theta^{(e)}(r_p, \theta_p, z_p) = \frac{\mu}{4\pi} \frac{I^{(e)}(\theta_2 - \theta_p)}{wh} \int_{\theta_1 - \theta_p}^{\theta_2 - \theta_p} d\theta \int_{\frac{d-w}{2}}^{\frac{d+w}{2}} dr_Q \int_{-\frac{h}{2}}^{\frac{h}{2}} dz_Q \frac{r_Q \cos \theta}{\sqrt{r_Q^2 + r_p^2 - 2r_p r_Q \cos \theta + (z_Q - z_p)^2}}$$

(III-2)

$$A_z^{(e)}(r_p, \theta_p, z_p) = 0$$

(III-3)

外部磁界 $H^{(e)}(r_p, \theta_p, z_p)$ は $B = \nabla \times A$ の関係式より導びかれる。

$$H_r^{(e)}(r_p, \theta_p, z_p) = -\frac{1}{\mu} \frac{\partial A_\theta^{(e)}(r_p, \theta_p, z_p)}{\partial z_p}$$

(III-4)

$$= \frac{1}{4\pi} \frac{I^{(e)}}{wh} \int_{\theta_1 - \theta_p}^{\theta_2 - \theta_p} d\theta \int_{\frac{d-w}{2}}^{\frac{d+w}{2}} dr_Q \int_{-\frac{h}{2}}^{\frac{h}{2}} dz_Q \left\{ -\frac{\partial}{\partial z_p} \frac{r_Q \cos \theta}{\sqrt{r_Q^2 + r_p^2 - 2r_p r_Q \cos \theta + (z_Q - z_p)^2}} \right\}$$

(III-5)

上式の dr_Q, dz_Q の積分は実行可能で次の様になる。

$$\left. \begin{aligned} R_1 &= \frac{d-w}{2} - r_p \cos \theta, \quad R_2 = \frac{d+w}{2} - r_p \cos \theta \\ Z_1 &= -z_p - \frac{h}{2}, \quad Z_2 = -z_p + \frac{h}{2} \\ \Phi_1 &= \theta_1 - \theta_p, \quad \Phi_2 = \theta_2 - \theta_p \end{aligned} \right\}$$

(III-6)

$$H_r^{(e)}(r_p, \theta_p, z_p) = \frac{1}{4\pi} \frac{I^{(e)}}{wh} \sum_{i=1}^2 \sum_{j=1}^2 (-1)^{i+j} \int_{\Phi_1}^{\Phi_2} d\theta \cos \theta$$

$$\times \left\{ \sqrt{R_i^2 + r_p^2 \sin^2 \theta + Z_j^2} + r_p \cos \theta \log(R_i + \sqrt{R_i^2 + r_p^2 \sin^2 \theta + Z_j^2}) \right\}$$

(III-8)

$H_\theta^{(e)}(r_p, \theta_p, z_p), H_z^{(e)}(r_p, \theta_p, z_p)$ も、同様に計算されて次の様になる。

$$H_\theta^{(e)}(r_p, \theta_p, z_p) = \frac{1}{4\pi} \frac{I^{(e)}}{wh} \sum_{i=1}^2 \sum_{j=1}^2 \sum_{k=1}^2 (-1)^{i+j+k-1} \frac{1}{2r_p}$$

$$\left[R_i \sqrt{R_i^2 + r_p^2 \sin^2 \Phi_k + Z_j^2} + (r_p^2 \sin^2 \Phi_k + Z_j^2) \log(R_i + \sqrt{R_i^2 + r_p^2 \sin^2 \Phi_k + Z_j^2}) \right]$$

(III-9)

$$H_z^{(e)}(r_p, \theta_p, z_p) = \frac{1}{4\pi} \frac{I^{(e)}}{wh} \sum_{i=1}^2 \sum_{j=1}^2 (-1)^{i+j} \int_{\Phi_1}^{\Phi_2} d\theta$$

$$\times \left\{ \left(\frac{r_p^2 \sin^2 \theta}{R_i} - r_p \cos \theta \right) \log(Z_j + \sqrt{R_i^2 + r_p^2 \sin^2 \theta + Z_j^2}) \right.$$

$$+ Z_j \log(R_i + \sqrt{R_i^2 + r_p^2 \sin^2 \theta + Z_j^2})$$

$$- \frac{r_p^2 \sin^2 \theta}{R_i} \log \left(\frac{Z_j + \sqrt{R_i^2 + r_p^2 \sin^2 \theta + Z_j^2}}{Z_j - \sqrt{R_i^2 + r_p^2 \sin^2 \theta + Z_j^2}} \right) - \frac{\sqrt{R_i^2 + r_p^2 \sin^2 \theta}}{\sqrt{R_i^2 + r_p^2 \sin^2 \theta}}$$

$$\left. + 2r_p |\sin \theta| \tan^{-1} \left(\frac{r_p |\sin \theta|}{R_i + \sqrt{R_i^2 + r_p^2 \sin^2 \theta}} \right) \frac{\sqrt{R_i^2 + r_p^2 \sin^2 \theta + Z_j^2} - \sqrt{R_i^2 + r_p^2 \sin^2 \theta}}{Z_j} \right\}$$

(III-10)

$A_\theta^{(e)}(r_p, \theta_p, z_p)$ の表式は、本報告の変形ベクトル・ポテンシャル法ではまったく必要としないが、附録Vに述べる改良されたベクトル・ポテンシャル法では必須となるので、参考のために、与えておくことにする。

$$A_\theta(r_p, \theta_p, z_p) = \frac{\mu}{4\pi} \frac{I^{(e)}}{wh} \sum_{i=1}^2 \sum_{j=1}^2 (-1)^{i+j-1} \int_{\Phi_1}^{\Phi_2} d\theta \cos \theta$$

$$\times \left[\left\{ \frac{1}{2} (R_i^2 + r_p^2 \sin^2 \theta) + r_p R_i \cos \theta \right\} \log(\sqrt{R_i^2 + r_p^2 \sin^2 \theta + Z_j^2} - Z_j) \right]$$

$$\begin{aligned}
& - \frac{r_p^2 \sin^2 \theta + Z_j}{Z_j} r_p \cos \theta \log \left(\sqrt{R_i^2 + r_p^2 \sin^2 \theta + Z_j^2} + R_i \right) \\
& - \frac{Z_j}{2} \sqrt{R_i^2 + r_p^2 \sin^2 \theta + Z_j^2} \\
& + \frac{r_p^3 \sin^2 \theta \cos \theta}{Z_j} \log \left(\frac{R_i + \sqrt{R_i^2 + r_p^2 \sin^2 \theta + Z_j^2}}{R_i - \sqrt{R_i^2 + r_p^2 \sin^2 \theta + Z_j^2}} - \frac{\sqrt{r_p^2 \sin^2 \theta + Z_j^2}}{\sqrt{r_p^2 \sin^2 \theta + Z_j^2}} \right) \\
& + 2 r_p |\sin \theta| \cos \theta \tan^{-1} \left(\frac{r_p |\sin \theta| \sqrt{R_i^2 + r_p^2 \sin^2 \theta + Z_j^2} - \sqrt{r_p^2 \sin^2 \theta + Z_j^2}}{\sqrt{r_p^2 \sin^2 \theta + Z_j^2} - Z_j} \right) \quad (III-11)
\end{aligned}$$

ただし、上式では、

$$Z_1 = z_p + \frac{h}{2}, \quad Z_2 = z_p - \frac{h}{2} \quad (III-12)$$

とおいておく。

$A_r^{(e)}(r_p, \theta_p, z_p)$ の表式は、上式の $d\theta$ のすぐ後の $\cos \theta$ のみを $-\sin \theta$ に置き換えるだけで良いので省略する。

$H_r^{(e)}(r_p, \theta_p, z_p), H_z^{(e)}(r_p, \theta_p, z_p), A_\theta^{(e)}(r_p, \theta_p, z_p), A_r^{(e)}(r_p, \theta_p, z_p)$ の $\int d\theta$ の積分を行うことは不可能で、この部分は電子計算機による数値積分を行う。
(導体表面の座標を r_p, θ_p, z_p に代入すると、以上のすべての表式は発散することに注意されたい)。

以上の表式の中で、 $\theta_1 = 0, \theta_2 = 2\pi$ とすると、 $H_\theta^{(e)}(r_p, \theta_p, z_p)$ と $A_z^{(e)}(r_p, \theta_p, z_p)$ は零となる。又、 $H_r^{(e)}(r_p, \theta_p, z_p), H_z^{(e)}(r_p, \theta_p, z_p), A_\theta^{(e)}(r_p, \theta_p, z_p)$ は θ_p に依存しなくなる。

付録 IV. 変形ベクトル・ポテンシャル法の計算コード

FACOM 230-75 M7 FORTRAN-IV H COMPILER (OPT2) SOURCE PROGRAM LIST

ISN	ST-NO	SOURCE PROGRAM
C		THREE DIMENSIONAL ANALYSIS OF EDDY CURRENT IN A LARGE TOKAMAK
C		PROGRAM CODE ECT-1-A
C		MAIN PROGRAM
1		READ(5,10) INPC1,INPC2
2	10	FORMAT(2I5)
3		WRITE(6,20) INPC1,INPC2
4		20 FORMAT(1H0,35X,2(15,5X))
5		GO TO (1000,2000,4000,6000,8000),INPC1
6	1000	READ(5,1010) MAXNSE,MAXMSE,MAXNPE,MAXSE,MAXSMP,MAXRES,MAXCUR,MS
		1,INBC
7	1010	FORMAT(9I5)
8		MAXMPE=MAXNPE+1
9		MAXNRV=12*MAXSE
10		MPE=4*MAXMPE
11		MAXNCV=0
12		WRITE(6,1020) MAXNSE,MAXMSE,MAXNPE,MAXSE,MAXSMP,MAXRES,MAXCUR,MS
		1C,INBC
13	1020	FORMAT(1H0,17X,9(15,5X))
14		CALL FEM(MAXSMP,MAXCUR,MAXNSE,MAXMSE,MAXNPE,MAXMPE,MS,INBC,MA
		1XNCV)
15		WRITE(6,1030) MAXMPE,MAXNRV,MPE,MAXNCV
16	1030	FORMAT(1H0,42X,4(15,5X))
17		IF(INPC2.GT.1) GO TO 3000
C		OUTPUT TO MAGNETIC TAPE
18		GO TO 10000
19	2000	CONTINUE
20		3000 CALL ATM(MAXSMP,MAXRES,MAXCUR,MAXNSE,MAXNPE,MPE,MAXNCV,MAXNRV,
		1MAXMSE,MAXMPE)
21		IF(INPC2.GT.2) GO TO 5000
C		OUTPUT TO MAGNETIC TAPE
22		GO TO 10000
23	4000	CONTINUE
24		5000 CALL CTM
25		IF(INPC2.GT.3) GO TO 7000
C		OUTPUT TO MAGNETIC TAPE
26		GO TO 10000
27	6000	CONTINUE
28		7000 CALL EMC(MAXNSE,MAXMSE,MAXNPE,MAXMPE,MAXNCV,MAXNRV,MPE)
29		IF(INPC2.GT.4) GO TO 9000
C		OUTPUT TO MAGNETIC TAPE
30		GO TO 10000
31	8000	CONTINUE
32		9000 WRITE(6,9010)
33		9010 FORMAT(1H *17HSUBROUTINE PLOT)
34	10000	STOP
35		END

2.

FACOM 230-75 M7 FORTRAN-IV H COMPILER (OPT2) SOURCE PROGRAM LIST

ISN	ST-NO	SOURCE PROGRAM
	C	SUBROUTINE FEM
1	C	SUBROUTINE FEM(MAXSMP,MAXCUR,MAXNSE,MAXMSE,MAXNPE,MAXMPE,MSCE,I INBC,MAXNCV)
	C	DIMENSION R(MAXMSE),RP(3),Z(MAXMSE),ZP(3),INSMP(MAXNSE,MAXNPE) 1,INSMPO(MAXNPE),INR(MAXNSE,MAXNPE),INRU(MAXNPE),INRP(MAXNSE),MSE0(13),RISF(6,6,11),RISFF(MAXNPE,6,6,11),MSESC(MAXCUR),WCS(MAXCUR),HCS 1(MAXCUR),NSESC(MAXCUR,MSCE),RSC(MAXCUR),ZSC(MAXCUR),NASE(MAXSE,3),N 1SEF(MAXMSE),INCC(MAXMSE),INCC0(3),CUPVO(3),IFDO(3,MAXMPE,4),A2(3), 1A3(3),SH(3,2,MAXCUR),SH0(3,2),NSECS(2),MSECS(2),UNR(2),UNZ(2),MPER 1(MAXNPE)
2	C	DIMENSION R(130),RP(3),Z(130),ZP(3),INSMP(234, 2) 1,INSMPO(2),INR(234, 2),INRU(2),INRP(234),MSE0(13),RISF(6,6,11),RISFP(2,6,6,11),MSESC(1),WCS(1),HCS 1(1),NSESC(1, 48),RSC(1),ZSC(1),NASE(234,3 1),NSEF(130),INCC(130),INCC0(3),CUPVO(3),IFDO(3, 3,4),A2(3 1),A3(3),SH(3,2, 1),SH0(3,2),NSECS(2),MSECS(2),UNR(2),UNZ(2),MP 1ERC(3)
	C	DIMENSION RG(MAXNSE),ZG(MAXNSE),THETA(MAXNPE),CUPV(MAXMSE),MSE(MA 1XNSE,3),AR(MAXNSE,3),AZ(MAXNSE,3),IFD(MAXMSE,MAXMPE,4),MSER(MAXMSE 1)
3	C	DIMENSION RG(234),ZG(234),THETAC(2),CUPV(130),MSE 1(234,3),AR(234,3),AZ(234,3),IFD(130, 3,4),MSER(1234)
4		REWIND 10
5		REWIND 20
6		RAD=0.0174532925
7		READ(5,9) RMJN
8		FORMAT(F10.5)
9		READ(5,10) (MSER(I),R(I),Z(I),I=1,MAXMSE)
10		FORMAT(14,2F8.4,14,2F8.4,14,2F8.4,14,2F8.4)
11		WRITE(6,20) (MSER(I),R(I),Z(I),I=1,MAXMSE)
12		FORMAT(1H ,/(11X,4(14,2X,F8.4,1X,F8.4,5X),/))
13		READ(5,30) (MPER(I),THETA(I),I=1,MAXNPE)
14		FORMAT(18,F8.3,18,F8.3,18,F8.3,18,F8.3)
15		WRITE(6,40) (MPER(I),THETA(I),I=1,MAXNPE)
16		FORMAT(1H ,/(3X,2(14,2X,F8.3,4X)))
17		DO 50 I=1,MAXNPE
18		50 THETA(I)=RAD*THETA(I)
19		READ(5,60) (MSER(I),(MSE(I,J),J=1,3),I=1,MAXNSE)
20		60 FORMAT(20I4)
21		WRITE(6,70) (MSER(I),(MSE(I,J),J=1,3),I=1,MAXNSE)
22		70 FORMAT(1H ,/(7X,5(14,2X,14,1X,14,1X,14,4X),/))
23		DO 90 I=1,MAXNSE
24		IF(MSE(I,1).LT.MSE(I,2).AND.MSE(I,2).LT.MSE(I,3)) GO TO 90
25		WRITE(6,80) I
26		80 FORMAT(1H,9X,64HERROR *** MSE(I,1),GE,MSE(I,2) OR MSE(I,2),GE,MSE 1(I,3) AT NSE=.14,4H ***)
27		STOP
28		90 CONTINUE
29		IF(MAXSMP.NE.1) GO TO 110
30		DO 100 I=1,MAXNPE
31		100 INSMPO(I)=1
32		GO TO 140
33		110 READ(5,120) (MSER(I),(INSMP(I,J),J=1,MAXNPE),I=1,MAXNSE)
34		120 FORMAT(18I4)
35		WRITE(6,130) (MSER(I),(INSMP(I,J),J=1,MAXNPE),I=1,MAXNSE)
36		130 FORMAT(1H ,/(10X,6(14,2X,14,1X,14,1X,3X),/))

FACOM 230-75 M7 FORTRAN-IV H COMPILER (OPT2) SOURCE PROGRAM LIST

ISN	ST-NO	SOURCE PROGRAM	(FEM)
37	140	READ(5,150)	(MSER(I),(INR(I,J),J=1,MAXNPE),I=1,MAXNSE)
38	150	FORMAT(1814)	
39		WHITE(6,160)	(MSER(I),(INR(I,J),J=1,MAXNPE),I=1,MAXNSE)
40	160	FORMAT(1H ,/,10X,6(14.2X,14.1X,14.1X,3X),/)	
41	DO	170	I=1,MAXNSE
42	INRP(I)=0		
43	DO	170	J=1,MAXNPE
44	170	INRP(I)=INRP(I)+INR(I,J)	
45	READ(5,180)	(MSESC(I),WCS(I),HCS(I),(NSESC(I,J),J=1,MSC),I=1,M 1AXCUR)	
46	180	FORMAT(14.2F8.5,3(/,1615))	
47	WRITE(6,190)	(MSESC(I),WCS(I),HCS(I),(NSESC(I,J),J=1,MSC),I=1, 1MAXCUR)	
48	190	FORMAT(1H ,29X,14.2X,F8.5,2X,F8.5,3(/,2X,16(15,3X)))	
49	DO	230	I=1,MAXCUR
50	I1=MSESC(I)		
51	RSC(I)=R(I1)		
52	ZSC(I)=Z(I1)		
53	J2=0		
54	DO	200	J=1,1.MSC
55	IF(NSESC(I,J),EQ.0)	GO TO 200	
56	J2=J2+1		
57	200	CONTINUE	
58	IF(J2.EQ.0)	GO TO 230	
59	DO	220	J=1,J2
60	J3=NSESC(I,J)		
61	DO	220	K=1,MAXNPE
62	IF(INR(J3,K).NE.0)	GO TO 220	
63	WRITE(6,210)	I,J,J3,K	
64	210	FORMAT(1H0,9X,33HERROR *** INR(I,J)=0 AT I,J,J3,K=,4(14.2X),3H***)	
65	220	CONTINUE	
66	230	CONTINUE	
67	DO	240	I=1,MAXNSE
68	DO	240	J=1,3
69	240	NASE(I,J)=0	
70	DO	340	I=1,MAXNSE
71	DO	340	J=1,MAXNSE
72	IF(I.LE.J)	GO TO 340	
73	IF(MSE(I,2).GT.MSE(J,3))	GO TO 340	
74	IF(MSE(I,2).LT.MSE(J,3))	GO TO 260	
75	IF(MSE(I,1).NE.MSE(J,2))	GO TO 250	
76	NASE(I,3)=J		
77	NASE(J,1)=I		
78	GO TO 340		
79	250	IF(MSE(I,1).NE.MSE(J,1))	GO TO 340
80	NASE(I,3)=J		
81	NASE(J,2)=I		
82	GO TO 340		
83	260	IF(MSE(I,2).LE.MSE(J,2))	GO TO 280
84	IF(MSE(I,3).NE.MSE(J,3))	GO TO 340	
85	IF(MSE(I,1).NE.MSE(J,2))	GO TO 270	
86	NASE(I,2)=J		
87	NASE(J,1)=I		
88	GO TO 340		
89	270	IF(MSE(I,1).NE.MSE(J,1))	GO TO 340
90	NASE(I,2)=J		
91	NASE(J,2)=I		

4.

FACOM 230-75 M7 FORTRAN-IV H COMPILER (OPT2) SOURCE PROGRAM LIST

ISN	ST-NO	SOURCE PROGRAM	(FEM)		
92		GO TO 340			
93	280	IF(MSE(I,2).LT.MSE(J,2))	GO	TO	300
94		IF(MSE(I,3).NE.MSE(J,3))	GO	TO	290
95		NASE(I,1)=J			
96		NASE(J,1)=I			
97		GO TO 340			
98	290	IF(MSE(I,1).NE.MSE(J,1))	GO	TO	340
99		NASE(I,3)=J			
100		NASE(J,3)=I			
101		GO TO 340			
102	300	IF(MSE(I,2).LE.MSE(J,1))	GO	TO	320
103		IF(MSE(I,1).NE.MSE(J,1))	GO	TO	340
104		IF(MSE(I,3).NE.MSE(J,2))	GO	TO	310
105		NASE(I,2)=J			
106		NASE(J,2)=I			
107		GO TO 340			
108	310	IF(MSE(I,3).NE.MSE(J,3))	GO	TO	340
109		NASE(I,2)=J			
110		NASE(J,2)=I			
111		GO TO 340			
112	320	IF(MSE(I,2).LT.MSE(J,1))	GO	TO	340
113		IF(MSE(I,3).NE.MSE(J,2))	GO	TO	330
114		NASE(I,1)=J			
115		NASE(J,3)=I			
116		GO TO 340			
117	330	IF(MSE(I,3).NE.MSE(J,3))	GO	TO	340
118		NASE(I,1)=J			
119		NASE(J,2)=I			
120	340	CONTINUE			
121		DO 420 I=1,MAXNSE			
122		DO 420 J=1,3			
123		IF(NASE(I,J).NE.0)	GO	TO	420
124		J1=J+1			
125		IF(J1.LE.3)	GO	TO	350
126		J1=1			
127	350	J2=J1+1			
128		IF(J2.LE.3)	GO	TO	360
129		J2=1			
130	360	J1=MSE(I,J1)			
131		J2=MSE(I,J2)			
132		IF(R(J1))	390,370,390		
133	370	IF(R(J2))	390,380,390		
134		NASE(I,J)=-1			
135	380	IF(INBC,EQ.0)	GO	TO	420
136		IF(Z(J1))	420,400,420		
137	390	IF(Z(J2))	420,410,420		
138		400			
139	410	NASE(I,J)=-2			
140		420 CONTINUE			
141		WRITE(6,430) (MSE(I),(NASE(I,J),J=1,3),I=1,MAXNSE)			
142	430	FORMAT(1H ./,(7X,5(I4,2X,I4,1X,I4,1X,I4,1X,3X),/))			
143		DO 440 I=1,MAXMSE			
144	440	NSEF(I)=0			
145		DO 460 I=1,MAXNSE			
146		DO 460 J=1,3			
147		K=MSE(I,J)			
148		L=NSEF(K)			
		IF(L.EQ.0)	GO	TO	450

FACOM 230-75 M7 FORTRAN-IV H COMPILER (OPT2) SOURCE PROGRAM LIST

ISN	ST-NO	SOURCE PROGRAM	(FEM)
149		IF(INRP(L).NE.0)	GO TO 460
150		IF(INRP(I).EQ.0)	GO TO 460
151	450	NSEF(K)=I	
152	460	CONTINUE	
153		WRITE(6,470) (MSE(I),NSEF(I),I=1,MAXMSE)	
154	470	FORMAT(1H ./,(4X,9(14,2X,14,4X),/))	
155	DO 480	I=1,3	
156	DO 480	J=1,MAXMPE	
157	DO 480	K=1,4	
158	480	IFD(I,J,K)=0	
159	DO 490	I=1,MAXMSE	
160	INCC(I)=0		
161	CUPV(I)=0,		
162	DO 490	J=1,MAXMPE	
163	IFD(I,J,1)=1		
164	DO 490	K=2,4	
165	490	IFD(I,J,K)=0	
166	DO 1110	I=1,MAXNSE	
167	IF(MAXSMP.EQ.1)	GO TO 510	
168	DO 500	J=1,MAXNPE	
169	500	INSMP0(J)=INSMP(I,J)	
170	510	DO 520 J=1,MAXNPE	
171	520	INR0(J)=INR(I,J)	
172	DO 530	J=1,3	
173	DO 530	K=1,2	
174	DO 530	L=1,MAXCUR	
175	SH(J,K,L)=0.		
176	530	CONTINUE	
177	DO 540	J=1,3	
178	CUPV0(J)=0,		
179	INCC0(J)=0		
180	J1=MSE(I,J)		
181	MSE0(J)=J1		
182	RP(J)=R(J1)		
183	540	ZP(J)=Z(J1)	
184	INRP0=INRP(I)		
185	IF(INRP0.EQ.0)	GO TO 720	
186	DO 580	J=1,MAXCUR	
187	RSCO=RSC(J)		
188	ZSCO=ZSC(J)		
189	WCS0=WCS(J)		
190	HCS0=HCS(J)		
191	J1=0		
192	DO 560	K=1,MSM	
193	IF(I.NE.NSESC(J,K))	GO TO 560	
194	CALL MFD1(RSCO,ZSCO,WCS0,HCS0,RP,ZP,SH0)		
195	DO 550	L=1,3	
196	DO 550	M=1,2	
197	SH(L,M,J)=SH0(L,M)		
198	550	CONTINUE	
199	J1=J1+1		
200	560	CONTINUE	
201	IF(J1.NE.0)	GO TO 580	
202	CALL MFD2(RSCO,ZSCO,RP,ZP,SH0)		
203	DO 570	L=1,3	
204	DO 570	M=1,2	
205	SH(L,M,J)=SH0(L,M)		

FACOM 230-75 M7 FORTRAN-IV H COMPILER (OPT2) SOURCE PROGRAM LIST

ISN	ST-NO	SOURCE PROGRAM	(FEM)
206	570	CONTINUE	
207	580	CONTINUE	
208		DO 715 J=1,3	
209		MSEP=MSE(I,J)	
210		IF(NSEF(MSEP),EQ.0) GO TO 585	
211		CUPVU(J)=CUPV(MSEP)	
212		INCC0(J)=INCC(MSEP)	
213		GO TO 715	
214	585	K0=0	
215		DO 650 K=1,3	
216		IF(K.EQ.J) GO TO 650	
217		K1=K	
218		I1=I	
219	590	I2=NASE(I1,K1)	
220		IF(I2.EQ.I) GO TO 650	
221		IF(I2) 650,650,600	
222	600	IF(INRP(I2),EQ.0) GO TO 620	
223		DO 610 L=1,3	
224		IF(NASE(I2,L),EQ.I1) GO TO 610	
225		IF(MSE(I2,L),EQ.MSEP) GO TO 610	
226		K1=L	
227	610	CONTINUE	
228		I1=I2	
229		GO TO 590	
230	620	K0=K0+1	
231		NSECS(K0)=I1	
232	630	K1=K1+1	
233		IF(K1.LE.3) GO TO 640	
234		K1=1	
235	640	IF(MSE(I1,K1),EQ,MSEP) GO TO 630	
236		MSECS(K0)=MSE(I1,K1)	
237	650	CONTINUE	
238		IF(K0=1) 715,700,660	
239	660	DO 670 K=1,2	
240		I1=MSECS(K)	
241		DR=R(I1)-R(MSEP)	
242		DZ=Z(I1)-Z(MSEP)	
243		D=SQRT(DR*DR+DZ*DZ)	
244		UNR(K)=DR/D	
245		UNZ(K)=DZ/D	
246	670	CONTINUE	
247		UNR0=UNR(1)-UNR(2)	
248		UNZ0=UNZ(1)-UNZ(2)	
249		D=SQRT(UNR0*UNR0+UNZ0*UNZ0)	
250		UNR0=UNR0/D	
251		UNZ0=UNZ0/D	
252		IF(NSECS(1).GT.NSECS(2)) GO TO 680	
253		UNR0=-UNR0	
254		UNZ0=-UNZ0	
255	680	IF(ABS(UNR0),GT,ABS(UNZ0)) GO TO 690	
256		INCC0(J)=2	
257		CUPVU(J)=UNR0/UNZ0	
258		IF(ABS(CLIPV0(J)),LE,0.999) GO TO 710	
259		INCC0(J)=-2	
260		GO TO 710	
261	690	INCC0(J)=4	
262		CUPVU(J)=UNZ0/UNR0	

FACOM 230-75 M7 FORTTRAN-IV H COMPILER (OPT2) SOURCE PROGRAM LIST

ISN	ST-NO	SOURCE PROGRAM	(FEM)
263		IF(ABS(CUPVO(J)),LE.0.999)	GO TO 710
264		INCC0(J)=-4	
265		GO TO 710	
266	700	INCC0(J)=-1	
267	710	INCC(MSEP)=INCC0(J)	
268		CUPV(MSEP)=CUPVO(J)	
269		CONTINUE	
270	720	CALL ISF(RP,ZP,INRPO,RMIN,RG0,ZG0,A2,A3,RISF)	
271		RG(I)=RG0	
272		ZG(I)=ZG0	
273	DO 725	J=1,3	
274		AR(I,J)=A2(J)	
275		A2(I,J)=A3(J)	
276	725	CONTINUE	
277	DO 1090	J=1,MAXNPE	
278		IF(INR(I,J),NE.0)	GO TO 740
279	DO 730	K=1,6	
280	DO 730	L=1,6	
281		RISFP(J,K,L,1)=RISF(K,L,1)/THETA(J)	
282		RISFP(J,K,L,2)=RISF(K,L,2)*THETA(J)	
283		RISFP(J,K,L,3)=RISF(K,L,3)*THETA(J)	
284	DO 730	M=4,11	
285		RISFP(J,K,L,M)=0.	
286	730	CONTINUE	
287		GO TO 780	
288	740 DO 770	K=1,6	
289		DO 770 L=1,6	
290		RISFP(J,K,L,1)=RISF(K,L,1)/THETA(J)	
291	DO 750	M=2,8	
292	750	RISFP(J,K,L,M)=RISF(K,L,M)*THETA(J)	
293	DO 760	M=9,11	
294		RISFP(J,K,L,M)=RISF(K,L,M)	
295	760	CONTINUE	
296	770	CONTINUE	
297	780 DO 1080	K=1,3	
298		I0=MSE(I,K)	
299		IF(NSEF(I0),NE.1)	GO TO 1080
300		IF(R(I0)) 1080,790,880	
301	790 IF(INR(I,J),EQ.0)	GO TO 880	
302		IF(INBC,EQ.0)	GO TO 840
303		IF(Z<I0)) 840,800,840	
304	800 IFD(I0,J,1)=0		
305		IFD(I0,J+1,1)=0	
306		K1=K	
307	810 K1=K1+1		
308		IF(K1,EQ.K)	GO TO 840
309		IF(K1,LE,3)	GO TO 820
310		K1=1	
311	820 I1=NASE(I,K1)		
312		IF(I1,EQ.-1)	GO TO 830
313		GO TO 810	
314	830 K1=6-K-K1		
315		I1=NASE(I,K1)	
316		IF(I1,LE,0)	GO TO 840
317		IF(INR(I1,J),EQ.0)	GO TO 880
318	840 IF(J,EQ.1)	GO TO 850	
319		IF(INR(I,J-1),EQ.0)	GO TO 860

FACOM 230-75 M7 FORTTRAN-IV H COMPILER (OPT2) SOURCE PROGRAM LIST

ISN	ST-NO	SOURCE PROGRAM	C FEM
320	850	IFD(I0,J,4)=1	
321	860	IF(J,NE,MAXNPE)	GO TO 870
322		IF(INR(I,J+1),EQ.0)	GO TO 880
323	870	IFD(I0,J+1,4)=1	
324		GO TO 1080	
325	880	IF(INBC,EQ.0)	GO TO 940
326		IF(Z(I0))	1080,900,940
327	900	IFD(I0,J,1)=0	
328		IFD(I0,J+1,1)=0	
329		IF(INR(I,J),EQ.0)	GO TO 1080
330		IF(INCC0(K),NE,0)	GO TO 1080
331		IF(J,EQ.1)	GO TO 910
332		IF(INR(I,J-1),EQ.0)	GO TO 920
333	910	IFD(I0,J,4)=1	
334	920	IF(J,EQ,MAXNPE)	GO TO 930
335		IF(INR(I,J+1),EQ.0)	GO TO 1080
336	930	IFD(I0,J+1,4)=1	
337		GO TO 1080	
338	940	IF(INR(I,J),EQ.0)	GO TO 1080
339		IF(INCC0(K),NE,0)	GO TO 1000
340		IF(J,NE,1)	GO TO 950
341		IFD(I0,J,2)=1	
342		IFD(I0,J,4)=1	
343		GO TO 970	
344	950	IF(INR(I,J-1),EQ.0)	GO TO 970
345		DO 960 L=2,4	
346	960	IFD(I0,J,L)=1	
347	970	IF(J,NE,MAXNPE)	GO TO 980
348		IFD(I0,J+1,2)=1	
349		IFD(I0,J+1,4)=1	
350		GO TO 1080	
351	980	IF(INR(I,J+1),EQ.0)	GO TO 1080
352		DO 990 L=2,4	
353	990	IFD(I0,J+1,L)=1	
354		GO TO 1080	
355	1000	IF(INCC0(K),NE,2)	GO TO 1040
356		IF(J,EQ,1)	GO TO 1010
357		IF(INR(I,J-1),EQ.0)	GO TO 1020
358	1010	IFD(I0,J,2)=1	
359		IFD(I0,J,4)=-1	
360	1020	IF(J,EQ,MAXNPE)	GO TO 1030
361		IF(INR(I,J+1),EQ.0)	GO TO 1080
362	1030	IFD(I0,J+1,2)=1	
363		IFD(I0,J+1,4)=-1	
364		GO TO 1080	
365	1040	IF(INCC0(K),NE,4)	GO TO 1080
366		IF(J,EQ,1)	GO TO 1050
367		IF(INR(I,J-1),EQ.0)	GO TO 1060
368	1050	IFD(I0,J,2)=-1	
369		IFD(I0,J,4)=1	
370	1060	IF(J,EQ,MAXNPE)	GO TO 1070
371		IF(INR(I,J+1),EQ.0)	GO TO 1080
372	1070	IFD(I0,J+1,2)=-1	
373		IFD(I0,J+1,4)=1	
374	1080	CONTINUE	
375	1090	CONTINUE	
376		WRITE(10) MSEU,CUPVO,SH,INRPO,INSMPO,INR0,IFD0,RISFP	

FACOM 230-75 M7 FORTRAN-IV H COMPILER (OPT2) SOURCE PROGRAM LIST

ISN	ST-NO	SOURCE PROGRAM	(FEM)
377	1110	CONTINUE	
378		NCV=1	
379	DO 1120	I=1,MAXMSE	
380	DO 1120	J=1,MAXMPE	
381	DO 1120	K=1,4	
382	IF(IFD(I,J,K),LE,0)	GO TO 1120	
383	IFD(I,J,K)=NCV		
384	NCV=NCV+1		
385	1120	CONTINUE	
386	MAXNCV=NCV-1		
387	REWIND 10		
388	DO 1140	I=1,MAXNSE	
389	READ(10)	MSE0,CUPVO,SH,INRPO,INSMPO,INR0,IFD0,RISFP	
390	BACKSPACE 10		
391	DO 1130	J=1,3	
392	M=MSE0(J)		
393	DO 1130	K=1,MAXMPE	
394	DO 1130	L=1,4	
395	1130 IFD0(J,K,L)=IFD(M,K,L)		
396	WHITE(10)	MSE0,CUPVO,SH,INRPO,INSMPO,INR0,IFD0,RISFP	
397	1140	CONTINUE	
398	WRITE(6,1150)	(MSER(I),((IFD(I,J,K),K=1,4),J=1,MAXMPE),I=1,MAXMSE)	
399	1150 FORMAT(1H ,/(4X,I4,2X,12(I5,1X),/))		
400	WRITE(6,1160)	MAXNCV	
401	1160 FORMAT(1H ,9X,7HMAXNCV=,14)		
402	WHITE(20)	RG,ZG,THETA,AR,AZ,CUPV,MSE,IFD,INR	
403	RETURN		
404	END		

FACOM 230-75 M7 FORTRAN-IV H COMPILER (OPT2) SOURCE PROGRAM LIST

10

ISN	ST-NO	SOURCE PROGRAM
	C	SUBROUTINE MFD1
1	C	SUBROUTINE MFD1(RSC,ZSC,W,H,RP,ZP,SH)
	C	MAGNETIC FIELD DISTRIBUTION OF A CYLLINDRICAL COIL
	C	WITH RECTANGULAR CROSS SECTION
2	DIMENSION	R(2), R0(2), Z(2), RP(3), ZP(3), SH(3,2)
3	DOUBLE PRECISION	RDBL, TDBL, SDBL, RSTDDBL, RDBL, PDBL
4	PI=	3.14159265
5	H2=	H/2.
6	W2=	W/2.
7	RO(1)=	RSC-W2
8	RO(2)=	RSC+W2
9	CONST=	1./W/H/PI/2.
10	DT=	PI/3000.
11	DT2=	DT/2.
12	DO 110	K=1,3
13	RADIAL=	RP(K)
14	ZETA=	ZP(K)-ZSC
15	IF(RADIAL-R0(1))	20,10,20
16	10 RADIAL=RADIAL+0.001	
17	20 IF(RADIAL-R0(2))	40,30,40
18	30 RADIAL=RADIAL-0.001	
19	40 IF(ZETA-H2)	60,50,60
20	50 ZETA=ZETA-0.001	
21	60 IF(ZETA+H2)	80,70,80
22	70 ZETA=ZETA+0.001	
23	80 Z(1)=ZETA-H2	
24	Z(2)=ZETA+H2	
25	RDBL0=DBLE(RADIAL)	
26	HR=0.	
27	HZ=0.	
28	T=DT2	
29	90 CT=COS(T)	
30	ST=SIN(T)	
31	TDBL=DBLE(T)	
32	SDBL=DSIN(TDBL)	
33	RSTDDBL=RDBL0*SDBL	
34	RSTDDBL=RSTDDBL*RSTDDBL	
35	RST=RADIAL*ST	
36	RCT=RADIAL*CT	
37	SRST=RST*RST	
38	ARST=RADIAL*ABS(ST)	
39	DO 100 I=1,2	
40	R(I)=R0(I)-RCT	
41	RDBL=DBLE(R(I))	
42	PDBL=RDBL+DSQRT(RDBL*RDBL+RSTDDBL)	
43	P=SNGL(PDBL)	
44	A=R(I)*R(I)+SRST	
45	DO 100 J=1,2	
46	SIG=(-1.)**(I+J-2)	
47	SZ=Z(J)*Z(J)	
48	B=SQRT(A+SZ)	
49	C=SQRT(A)	
50	E=ALOG(R(I)+B)	
51	F=ALOG(Z(J)+B)	
52	G=ALOG((Z(J)+B-C)/(Z(J)-B+C))	
53	O=ATAN(CARST*(B-C)/Z(J)/P)	
54	HR=HR+SIG*(B+RCT*E)*CT	

11.

FACOM 230-75 M7 FORTRAN-IV H COMPILER (OPT2) SOURCE PROGRAM LIST

ISN	ST-NO	SOURCE PROGRAM (MFD1)
55		HZ=HZ+SIG*((A/R(1))-R0(1))*F+Z(J)*E=SRST*G/R(1)+2.*ARST*G)
56	100	CONTINUE
57		T=T+DT
58		IF(T.LE.PI) GO TO 90
59		SH(K,1)=CONST*HR*DT
60		SH(K,2)=CONST*HZ*DT
61	110	CONTINUE
62		RETURN
63		END

12.

FACOM 230-75 M7 FORTRAN-IV H COMPILER (OPT2) SOURCE PROGRAM LIST

ISN	ST-NO	SOURCE PROGRAM
1	C	SUBROUTINE MFD2
	C	SUBROUTINE MFD2(RSCO,ZSCO,RP,ZP,SH0)
2	C	MAGNETIC FIELD DISTRIBUTION OF A CIRCULAR LOOP
3		DIMENSION RP(3),ZP(3),SH0(3,2)
4		P12=6.283185308
5		P=0.
6		Q=0.
7		DO 20 I=1,3
8		Z=ZP(I)-ZSCO
9		Z2=Z*Z
10		IF(RP(I),EQ.0.) GO TO 10
11		AP=RSCO+RP(I)
12		AM=RSCO-RP(I)
13		AP2=AP*AP
14		AM2=AM*AM
15		BP=AP2+Z2
16		BM=AM2+Z2
17		SBP=SQRT(BP)
18		C=2.*RSCO*RP(I)
19		D=SQRT(2.*C/BP)
20		CALL CELI1S(D,P)
21		CALL CELI2S(D,Q)
22		SH0(I,1)=Z*(-P+Q*(AP2-C+Z2)/BM)/SBP/RP(I)/P12
23		SH0(I,2)=(P+Q*(AP*AM-Z2)/BM)/SBP/P12
24		GO TO 20
25	10	SH0(I,1)=0.
26		R2=RSCO*RSCO
27		SH0(I,2)=R2/(R2+Z2)**1.5/2.
28	20	CONTINUE
29		RETURN
		END

/3

FACOM 230-75 M7 FORTRAN-IV H COMPILER (OPT2) SOURCE PROGRAM LIST

ISN	ST-NO	SOURCE PROGRAM
	C	SUBROUTINE ISF
1		SUBROUTINE ISF(R,Z,INR,RMIN,RGO,ZGO,A2,A3,RISF)
2		DIMENSION R(3),Z(3),RISF(6,6,11),A2(3),A3(3),R0(3),
	1	FRC1(3),FRC2(3,3),FRC3(3,3)
3	DO 10	I=1,6
4	DO 10	J=1,6
5	DO 10	K=1,11
6	10	RISF(I,J,K)=0.
7		DELTAO=R(1)*(Z(2)-Z(3))+R(2)*(Z(3)-Z(1))+R(3)*(Z(1)-Z(2))
8		A2(1)=Z(2)-Z(3)
9		A2(2)=Z(3)-Z(1)
10		A2(3)=Z(1)-Z(2)
11		A3(1)=R(3)-R(2)
12		A3(2)=R(1)-R(3)
13		A3(3)=R(2)-R(1)
14		FRC0=R(1)+R(2)+R(3)
15		RGO=FRC0/3.
16		ZGO=(Z(1)+Z(2)+Z(3))/3.
17	DO 40	I=1,3
18		RO(I)=R(I)
19		FRC1(I)=(FRC0+R(I))/72.
20	DO 40	J=1,3
21		IF(I-J) 20,30,40
22	20	K=6-I-J
23		FRC2(I,J)=(2.*FRC0-R(K))/360.
24		FRC2(J,I)=FRC2(I,J)
25		GO TO 40
26	30	FRC2(I,J)=(FRC0+2.*R(I))/180.
27	40	CONTINUE
28		FRC0=FRC0/DELTAO/18.
29		IF(R0(1)) 60,50,60
30	50	RO(1)=RMIN
31	60	IF(R0(2)) 80,70,80
32	70	RO(2)=RMIN
33	80	IF(R0(3)) 100,90,100
34	90	RO(3)=RMIN
35	100	DO 300 I=1,3
36		DO 300 J=1,3
37		IF(I-J) 110,200,300
38	110	K=6-I-J
39		R1=RO(I)
40		R2=RO(J)
41		R3=RO(K)
42		B1=R1-R2
43		B2=R2-R3
44		B3=R3-R1
45		IF(B3) 120,170,120
46	120	IF(B2) 130,160,130
47	130	IF(B1) 140,150,140
48	140	C1=R1/R2
49		C2=R1/R3
50		C3=C1-1.
51		C4=C2-1,
52		C5=C3*C3
53		C6=C4*C4
54		C7=ALOG(C1)
55		C8=ALOG(C2)

FACOM 230-75 M7 FORTRAN-IV H COMPILER (OPT2) SOURCE PROGRAM LIST

14

ISN	ST-NO	SOURCE PROGRAM	(ISF)
56		C9=82*B2	
57		C10=C7/C3/C5-C8/C4/C6-(3,-C1)/C5/2.+ (3,-C2)/C6/2.	
58		C11=C7/C5-C8/C6-1./C3+1./C4	
59		FRC3(I,J)=(1./6.+B3*C10/B2/3.+R3*C11/B2/2.)*DELTAO/B2	
60		GO TO 190	
61	150	C1=R1/R3	
62		C2=C1-1.	
63		C3=C2*C2	
64		FRC3(I,J)=(1./3.- (0.5-1./C2+ALOG(C1)/C3)/C2)*DELTAO/B2/6.	
65		GO TO 190	
66	160	C1=R2/R1	
67		C2=C1-1.	
68		C3=C2*C2	
69		FRC3(I,J)=(-1./3.+C1*(0.5-1./C2+ALOG(C1)/C3)/C2)*DELTAO/B3/2.	
70		GO TO 190	
71	170	IF(B2) 180,310,180	
72	180	C1=R1/R2	
73		C2=C1-1.	
74		C3=C2*C2	
75		FRC3(I,J)=(-1./3.+C1*(0.5-1./C2+ALOG(C1)/C3)/C2)*DELTAO/B1/2.	
76	190	FRC3(J,I)=FRC3(I,J)	
77		GO TO 300	
78	200	J1=I+1	
79		IF(J1.LE.3) GO TO 210	
80		J1=1	
81	210	K=J1+1	
82		IF(K.LE.3) GO TO 220	
83		K=1	
84	220	R1=R0(I)	
85		R2=R0(J1)	
86		R3=R0(K)	
87		B1=R1-R2	
88		B2=R2-R3	
89		B3=R3-R1	
90		IF(B3) 230,280,230	
91	230	IF(B2) 240,270,240	
92	240	IF(B1) 250,260,250	
93	250	C1=R1/R2	
94		C2=R1/R3	
95		C3=C1-1.	
96		C4=C2-1.	
97		C5=C3*C3	
98		C6=C4*C4	
99		C7=ALOG(C1)	
100		C8=ALOG(C2)	
101		C9=C7/C3/C5-C8/C4/C6-(3,-C1)/C5/2.+ (3,-C2)/C6/2.	
102		FRC3(I,J)=DELTAO*C9/B2/3.	
103		GO TO 300	
104	260	C1=R1/R3	
105		C2=C1-1.	
106		C3=C2*C2	
107		FRC3(I,J)=(1./3.+((3.-C1)/2.-ALOG(C1)/C2)/C3)*DELTAO/B2/3.	
108		GO TO 300	
109	270	C1=R1/R2	
110		C2=1.-C1	
111		C3=C2*C2	
112		FRC3(I,J)=(1./3.+C1*(0.5+1/C2+ALOG(C1)/C3)/C2)*DELTAO/B3	

/5

FACOM 230-75 M7 FORTRAN-IV H COMPILER (OPT2) SOURCE PROGRAM LIST

ISN	ST-NO	SOURCE PROGRAM	(ISF)
113		GO TO 300	
114	280	IF(B2) 290,310,290	
115	290	C1=R1/R2	
116		C2=C1-1.	
117		C3=C2*C2	
118		FRC3(I,J)=(1./3.+((3.-C1)/2,- ALOG(C1)/C2)/C3)*DELTAD/B1/3,	
119	300	CONTINUE	
120		GO TO 330	
121	310	WRITE(6,320)	
122	320	FORMAT(1H0+10X,24HERROR *** B1=B2=B3=0 ***)	
123		STOP	
124	330	DO 530 I=1,6	
125		IF(I=3) 340,340,350	
126	340	SI1=-1.	
127		I3=I	
128		GO TO 360	
129	350	SI1=1.	
130		I3=I-3	
131	360	DO 530 J=1,6	
132		IF(I-J) 370,370,530	
133	370	IF(J=3) 380,380,390	
134		SJ1=-1.	
135		J3=J	
136		GO TO 400	
137	390	SJ1=1.	
138		J3=J-3	
139	400	SIJ=SI1*SJ1	
140		AA22=A2(I3)*A2(J3)	
141		RISF(I,J,1)=SIJ*FRC3(I3,J3)	
142		RISF(I,J,2)=AA22*FRC0	
143		RISF(I,J,3)=A3(I3)*A3(J3)*FRC0	
144		IF(SIJ) 410,430,430	
145	410	DO 420 K=2,3	
146		RISF(I,J,K)=RISF(I,J,K)/2.	
147	420	IF(I,EQ.J) GO TO 450	
148		DO 440 K=1,3	
149	440	RISF(J,I,K)=RISF(I,J,K)	
150		450 IF(INR,EQ.0) GO TO 530	
151		RISF(I,J,4)=DELTAD*FRC2(I3,J3)	
152		RISF(I,J,5)=AA22*FRC0+(A2(I3)+A2(J3))/18.+FRC3(I3,J3)/3.	
153		RISF(I,J,6)=A2(J3)*FRC1(I3)	
154		RISF(I,J,7)=A3(J3)*FRC1(I3)	
155		RISF(I,J,8)=A3(I3)*A2(J3)*FRC0	
156		RISF(I,J,9)=SJ1*DELTAD/24.	
157		IF(I3,EQ,J3) GO TO 460	
158		RISF(I,J,9)=RISF(I,J,9)/2.	
159	460	RISF(I,J,10)=SI1*A3(J3)/12.	
160		RISF(I,J,11)=SJ1*(A2(I3)/6.+FRC3(I3,J3))/2.	
161		IF(SIJ) 470,490,490	
162	470	DO 480 K=4,8	
163		RISF(I,J,K)=RISF(I,J,K)/2.	
164	480	IF(I,EQ.J) GO TO 530	
165		RISF(J,I,4)=RISF(I,J,4)	
166		RISF(J,I,5)=RISF(I,J,5)	
167		RISF(J,I,6)=A2(I3)*FRC1(J3)	
168		RISF(J,I,7)=A3(I3)*FRC1(J3)	
169		RISF(J,I,8)=A3(J3)*A2(I3)*FRC0	

16

FACOM 230-75 M7 FORTRAN-IV H COMPILER (OPT2) SOURCE PROGRAM LIST

ISN	ST-NO	SOURCE PROGRAM	(ISF)
170		RISF(J,I,9)=S11*DELTAD/24.	
171		IF(I3.EQ.J3) GO TO 500	
172		RISF(J,I,9)=RISF(J,I,9)/2.	
173	500	RISF(J,I,10)=S11*A3(I3)/12.	
174		RISF(J,I,11)=S11*(A2(J3)/6.+FRC3(J3,I3))/2.	
175		IF(S1J) 510,530,530	
176	510	DO 520 K=6,8	
177	520	RISF(J,I,K)=RISF(J,I,K)/2.	
178	530	CONTINUE	
179	DO 535	I=1,3	
180		A2(I)=A2(I)/DELTAD	
181	535	A3(I)=A3(I)/DELTAD	
182		IF(DELTAD.GE.0.) GO TO 550	
183	DO 540	I=1,6	
184	DO 540	J=1,6	
185	DO 540	K=1,11	
186		RISF(I,J,K)=-RISF(I,J,K)	
187	540	CONTINUE	
188	550	RETURN	
189		END	

FACOM 230-75 M7 FORTRAN-IV H COMPILER (OPT2) SOURCE PROGRAM LIST

ISN	ST-NO	SOURCE PROGRAM
	C	SUBROUTINE ATM
1	C	SUBROUTINE ATM(MAXSMP,MAXRES,MAXCUR,MAXNSE,MAXNPE,MPE,MAXNCV,MA 1XNRV,MAXMSE,MAXMPE)
	C	DIMENSION SMP(MAXSMP),RES(MAXRES),ASC(MAXCUR),PSC(MAXCUR),INSM 1P(MAXNPE),INR(MAXNPE),MSE(3),NCM(3),NCV(3,MPE),NRM(3,MPE),NRV(3,MP 1E,MAXNRV),CUPV(3),SH(3,2,MAXCUR),IFD(3,MAXMPE+4),RISF(MAXNPE,6,6,1
	C	11)
2	C	DIMENSION SMP(1),RES(1),ASC(1),PSC(1),INSM 1P(2),INR(2),MSE(3),NCM(3),NCV(3, 12),NRM(3, 12),NR 1V(3, 12, 96),CUPV(3),SH(3,2, 1),IFD(3, 3,4),RISF(
	C	1 2,6,6,11)
	C	COMPLEX CUR(MAXCUR),AE(MAXNPE,24,24),BE(MAXNPE,24),A(3,MPE,MAX 1NRV),B(3,MPE)
3	C	COMPLEX CUR(1),AE(2,24,24),BE(2,24),A(3, 12,
	1	1 96),B(3, 12)
4	DEFINE	FILE 30(1300,360,U,IAV)
5	READ(5,10)	FREQ
6	10	FORMAT(F10.5)
7	READ(5,20)	SMP
8	20	FORMAT(F6.3)
9	READ(5,30)	RES
10	30	FORMAT(F10.4)
11	READ(5,40)	ASC
12	40	FORMAT(F10.2)
13	READ(5,50)	PSC
14	50	FORMAT(F10,2)
15	WRITE(6,60)	FREQ
16	60	FORMAT(1H0,9X,F10.5)
17	WRITE(6,70)	SMP
18	70	FORMAT(1H0,9X,F8.3)
19	WRITE(6,80)	RES
20	80	FORMAT(1H0,9X,F10.4)
21	WRITE(6,90)	ASC
22	90	FORMAT(1H0,9X,F10.2)
23	WRITE(6,100)	PSC
24	100	FORMAT(1H0,9X,F10.2)
25	PI=3.1415927	
26	DO 110	I=1,MAXRES
27	110	RES(I)=RES(I)/FREQ/PI/PI/80.
28	WRITE(6,115)	RES
29	115	FORMAT(1H ,9X,4HRES,E12.5)
30	DO 120	I=1,MAXCUR
31	ASC1=ASC(I)*1000,	
32	PSC1=PSC(I)*PI/180.	
33	120	CUR(I)=ASC1*CMPLX(COS(PSC1),SIN(PSC1))
34	NCM(1)=0	
35	DO 130	J0=1,MPE
36	NCV(1,J0)=0	
37	NRM(1,J0)=0	
38	B(1,J0)=(0.,0.)	
39	DO 130	K0=1,MAXNRV
40	NRV(1,J0,K0)=0	
41	A(1,J0,K0)=(0.,0.)	
42	130 CONTINUE	
43	DO 140	I=1,MAXMSE
44	I1=10*I-9	
45	WRITE(30,I1)	NCM(1),(NCV(1,J0),NRM(1,J0),(NRV(1,J0,K0),A(1,J0,K0),

18

FACOM 230-75 M7 FORTRAN-IV H COMPILER (OPT2) SOURCE PROGRAM LIST

ISN	ST-NO	SOURCE PROGRAM	(ATM)
		1K0=1,MAXNRV),B(1,JO),JO=1,MPE)	
46	140	CONTINUE	
47		REWIND 10	
48		DO 550 I=1,MAXNSE	
49		READ(10) MSE,CUPV,SH,INRP,INSMP,INR,IFD,RISF	
50		CALL AEM(SMP,RES,CUR,MAXSMP,MAXRES,MAXCUR,MAXNPE,SH,INRP,INSMP	
		1,INR,RISF,AE,BE)	
51		DO 150 IO=1,3	
52		I1=MSE(10)*10-9	
53		READ(30,I1) NCM(10),(NCV(10,JO),NRM(10,JO),(NRV(10,JO,K0),A(10,JO,	
		1K0),K0=1,MAXNRV),B(10,JO),JO=1,MPE)	
54	150	CONTINUE	
55		DO 530 J=1,MAXNPE	
56		IF(INR(J).NE.0) GO TO 300	
57		KC=1	
58	160	IF(KC.GT.3) GO TO 170	
59		IO=KC	
60		JC=J	
61		GO TO 180	
62	170	IO=KC-3	
63		JC=J+1	
64	180	NCV0=IFD(10,JC,1)	
65		IF(NCV0,EQ.0) GO TO 290	
66		J2=NCM(10)	
67		IF(J2,EQ.0) GO TO 200	
68		JO=0	
69		DO 190 J1=1,J2	
70		IF(NCV(10,J1),NE,NCV0) GO TO 190	
71		JO=J1	
72	190	CONTINUE	
73		IF(JO.NE.0) GO TO 210	
74	200	JO=J2+1	
75		NCM(10)=JO	
76		NCV(10,JO)=NCV0	
77		KR=1	
78	210	IF(KR.GT.3) GO TO 230	
79		IR=KR	
80		JR=J	
81		GO TO 240	
82	230	IR=KR-3	
83		JR=J+1	
84	240	NRV0=IFD(IR,JR,1)	
85		IF(NRV0,EQ.0) GO TO 260	
86		K2=NRM(10,JO)	
87		IF(K2,EQ.0) GO TO 260	
88		KO=0	
89		DO 250 K1=1,K2	
90		IF(NRV(10,JO,K1),NE,NRV0) GO TO 250	
91		KO=K1	
92	250	CONTINUE	
93		IF(KO.NE.0) GO TO 270	
94	260	KO=K2+1	
95		IF(KO.LE,MAXNRV) GO TO 264	
96		WRITE(6,262) I,J,KC,KR	
97	262	FORMAT(1H ,9X,4(15.5X))	
98	264	CONTINUE	
99		NRM(10,JO)=KO	

FACOM 230-75 M7 FORTRAN-IV H COMPILER (OPT2) SOURCE PROGRAM LIST

19

ISN	ST-NO	SOURCE PROGRAM	(ATM)
100		NRV(I0,J0,K0)=NRV0	
101	270	A(I0,J0,K0)=A(I0,J0,K0)+AE(J,KC,KR)	
102	280	KR=KR+1	
103	1F(KR,LE,6)	GO TO 220	
104	290	KC=KC+1	
105	1F(KC,LE,6)	GO TO 160	
106	GO	TO 530	
107	300	KC=1	
108	310	I0=(KC-1)/4+1	
109	LC=KC-4*I0+4		
110	1F(I0,GT,3)	GO TO 320	
111	JC=J		
112	GO	TO 330	
113	320	I0=I0-3	
114	JC=J+1		
115	330	NCV0=IFD(I0,JC,LC)	
116	1F(NCV0,EQ,0)	GO TO 320	
117	1F(NCV0,NE,-1)	GO TO 350	
118	1F(LC,NE,2)	GO TO 340	
119	NCV0=IFD(I0,JC,4)		
120	GO	TO 350	
121	340	NCV0=IFD(I0,JC,2)	
122	350	J2=NCM(I0)	
123	1F(J2,EQ,0)	GO TO 370	
124	J0=0		
125	DO 360	J1=1,J2	
126	1F(NCV(I0,J1),NE,NCV0)	GO TO 360	
127	J0=J1		
128	360	CONTINUE	
129	1F(J0,NE,0)	GO TO 380	
130	370	J0=J2+1	
131	NCM(I0)=J0		
132	NCV(I0,J0)=NCV0		
133	380	KR=1	
134	390	IR=(KR-1)/4+1	
135	LR=KR-4*IR+4		
136	1F(IR,GT,3)	GO TO 400	
137	JR=J		
138	GO	TO 410	
139	400	IR=IR-3	
140	JR=J+1		
141	410	NRV0=IFD(IR,JR,LR)	
142	1F(NRV0,EQ,0)	GO TO 500	
143	1F(NRV0,NE,-1)	GO TO 430	
144	1F(LR,NE,2)	GO TO 420	
145	NRV0=IFD(IR,JR,4)		
146	GO	TO 430	
147	420	NRV0=IFD(IR,JR,2)	
148	430	K2=NRM(I0,J0)	
149	1F(K2,EQ,0)	GO TO 450	
150	K0=0		
151	DO 440	K1=1,K2	
152	1F(NRV(I0,J0,K1),NE,NRV0)	GO TO 440	
153	K0=K1		
154	440	CONTINUE	
155	1F(K0,NE,0)	GO TO 460	
156	450	K0=K2+1	

20

FACOM 230-75 M7 FORTRAN-IV H COMPILER (OPT2) SOURCE PROGRAM LIST

ISN	ST-NO	SOURCE PROGRAM	(ATM)
157		IF(KU.LE.MAXNRV) GO TO 454	
158		WRITE(6,452) I,J,KC,KR	
159	452	FORMAT(1H ,9X,4(15,5X))	
160	454	CONTINUE	
161		NRM(I0,J0)=K0	
162		NRV(I0,J0,K0)=NRV0	
163	460	IF(IFD(I0,JC,LC),E0,-1) GO TO 480	
164		IF(IFD(IR,JR,LR),E0,-1) GO TO 470	
165		A(I0,J0,K0)=A(I0,J0,K0)+AE(J,KC,KR)	
166		GO TO 500	
167	470	A(I0,J0,K0)=A(I0,J0,K0)-CUPV(IR)*AE(J,KC,KR)	
168		GO TO 500	
169	480	IF(IFD(IR,JR,LR),E0,-1) GO TO 490	
170		A(I0,J0,K0)=A(I0,J0,K0)-CUPV(I0)*AE(J,KC,KR)	
171		GO TO 500	
172	490	A(I0,J0,K0)=A(I0,J0,K0)+CUPV(I0)*CUPV(IR)*AE(J,KC,KR)	
173	500	KR=KR+1	
174		IF(KR.LE.24) GO TO 390	
175		IF(LC,EQ.1,OR,LC.E0.3) GO TO 520	
176		IF(IFD(I0,JC,LC),E0,0) GO TO 520	
177		IF(IFD(I0,JC,LC),E0,-1) GO TO 510	
178		B(I0,J0)=B(I0,J0)+BE(J,KC)	
179		GO TO 520	
180	510	B(I0,J0)=B(I0,J0)-CUPV(I0)*BE(J,KC)	
181	520	KC=KC+1	
182		IF(KC.LE.24) GO TO 310	
183	530	CONTINUE	
184		WRITE(6,536) I,MSE,MAXNRV,MPE,MAXMSE	
185	536	FORMAT(1H ,9X,7I5)	
186		DO 540 I0=1,3	
187		I1=MSE(I0)*10^-9	
188		WRITE(30+I1) NCM(I0),(NCV(I0,J0),NRM(I0,J0),(NRV(I0,J0,K0),A(I0,J0,1,K0),K0=1,MAXNRV),B(I0,J0),J0=1,MPE)	
189	540	CONTINUE	
190	550	CONTINUE	
191		NGEN=0	
192		NBAND=0	
193		IKO=0	
194		DO 580 I=1,MAXMSE	
195		I1=10*I-9	
196		READ(30+I1) NCM(1),(NCV(1,J0),NRM(1,J0),(NRV(1,J0,K0),A(1,J0,K0),K0=1,MAXNRV),B(1,J0),J0=1,MPE)	
197		J1=NCM(1)	
198		IF(J1.LE.0) GO TO 580	
199		WRITE(6,557) NCM(1)	
200	557	FORMAT(1H0,9X,7HNCM(1)=,15)	
201		DO 561 J0=1,J1	
202		K1=NRM(1,J0)	
203		NCV(1,J0),NRM(1,J0),B(1,J0)	
204	558	FORMAT(1H ,15,5X,15,5X,E12.5,1X,E12.5)	
205		WRITE(6,559) (NRV(1,J0,K0),A(1,J0,K0),K0=1,K1)	
206	559	FORMAT(1H ,5(13,E11.4,E11.4,1X),/(1X,5(13,E11.4,E11.4,1X)))	
207	561	CONTINUE	
208		NGEN=NGEN+J1	
209		DO 575 J=1,J1	
210		K1=NCV(1,J)	
211		K2=NRM(1,J)	

2/

FACOM 230-75 M7 FORTRAN-IV H COMPILER (OPT2) SOURCE PROGRAM LIST

ISN	ST-NO	SOURCE PROGRAM	(ATM)
212		IKOO=0	
213		MINC=10000000	
214		DO 565 K=1,K2	
215		IF(K1.LT.NRV(1,J,K)) GO TO 565	
216		IKOO=IKOO+1	
217		IF(MINC.LE.NRV(1,J,K)) GO TO 565	
218		MINC=NRV(1,J,K)	
219	565	CONTINUE	
220		IF(IKO.GE.IKOO) GO TO 570	
221		IKO=IKOO	
222	570	MINC=K1-MINC+1	
223		IF(NBAND.GE.MINC) GO TO 575	
224		NBAND=MINC	
225	575	CONTINUE	
226	580	CONTINUE	
227		REWIND 40	
228		WRITE(40) NGEN,NBAND,IKO	
229		K5=0	
230		B(1,1)=(0.,0.)	
231		DO 591 K=1,IKO	
232		NRV(1,1,K)=0	
233		A(1,1,K)=(0.,0.)	
234		DO 592 I=1,NGEN	
235		592 WRITE(40) K5,(NRV(1,1,K6),A(1,1,K6),K6=1,IKO),B(1,1)	
236		DO 650 I=1,MAXMSE	
237		I1=10*I-9	
238		READ(30,I1) NCM(1),(NCV(1,JO),NRM(1,JO),(NRV(1,JO,K0),A(1,JO+K0),K 10=1,MAXNRV),B(1,JO),JO=1,MPE)	
239	594	J1=NCM(1)	
240		IF(J1.LE.0) GO TO 650	
241		DO 620 J=1,J1	
242		K1=NCV(1,J)	
243		K2=NRM(1,J)	
244		K3=1	
245		DO 600 K=1,K2	
246		IF(K1.LT.NRV(1,J,K)) GO TO 600	
247		NRV(1,J,K3)=NRV(1,J,K)	
248		A(1,J,K3)=A(1,J,K)	
249		K3=K3+1	
250	600	CONTINUE	
251		DO 610 K=K3,IKO	
252		NRV(1,J,K)=0	
253		A(1,J,K)=(0.,0.)	
254	610	CONTINUE	
255		REWIND 40	
256		READ(40) NGEN,NBAND,IKO	
257		IF(K1.EQ.1) GO TO 616	
258		K4=K1-1	
259		DO 615 K=1,K4	
260		615 READ(40) K5,(NRV(2,J,K6),A(2,J,K6),K6=1,IKO),B(2,J)	
261		616 WRITE(40) K1,(NRV(1,J,K6),A(1,J,K6),K6=1,IKO),B(1,J)	
262		620 CONTINUE	
263		650 CONTINUE	
264		WRITE(6,655) MAXNCV,NGEN,NBAND,IKO	
265	655	FORMAT(1H ,9X,4(15,2X))	
266		IF(MAXNCV.EQ.1) GO TO 670	
267		WRITE(6,660)	

22

FACOM 230-75 M7 FORTRAN-IV H COMPILER (OPT2) SOURCE PROGRAM LIST

ISN	ST-NO	SOURCE PROGRAM	(ATM)
268		660 FORMAT(1H ,9X,28HERROR *** MAXNCV,NE,NGEN ***)	
269		STOP	
270		670 RETURN	
271		END	

FACOM 230-75 M7 FORTRAN-IV H COMPILER (OPT2) SOURCE PROGRAM LIST

ISN	ST-NO	SOURCE PROGRAM
C	SUBROUTINE	AEM
1	SUBROUTINE	AEM(SMP,RES,CUR,MAXSMP,MAXRES,MAXCUR,MAXNPE,SH,INRP 1,INSMP,INR,RISF,AE,BE)
2	DIMENSION	SMP(MAXSMP),RES(MAXRES),SH(3,2,MAXCUR),INSMP(MAXNPE) 1,INR(MAXNPE),RISF(MAXNPE,6,6,11)
3	COMPLEX	CUR(MAXCUR),AE(MAXNPE,24,24),BE(MAXNPE,24),SMF(3,2)
4		IF(INRP.EQ.0) GO TO 20
5	DO 10	I=1,3
6	DO 10	J=1,2
7		SMF(I,J)=(0.,0.)
8	DO 10	K=1,MAXCUR
9		SMF(I,J)=SMF(I,J)+CUR(K)*SH(I,J,K)
10	CONTINUE	
11	20 DO 180	I=1,MAXNPE
12	DO 30	J=1,24
13		BE(I,J)=(0.,0.)
14	DO 30	K=1,24
15	30 AE(I,J,K)=(0.,0.)	
16		IF(INR(I).NE.0) GO TO 50
17	DO 40	J=1,6
18	DO 40	K=1,6
19		AE(I,J,K)=CMPLX(RISF(I,J,K,2)+RISF(I,J,K,1)+RISF(I,J,K,3),0.)
20	40 CONTINUE	
21		GO TO 180
22	50 INR0=INR(I)	
23		INSMP0=INSMP(I)
24		C1=SMP(INSMP0)
25		C2=RES(INR0)
26		J0=1
27	DO 130	J=1,6
28		J1=J0+1
29		J2=J0+2
30		J3=J0+3
31		K0=1
32	DO 120	K=1,6
33		K1=K0+1
34		K2=K0+2
35		K3=K0+3
36		IF(K.GT.3) GO TO 60
37		K4=K
38		GO TO 70
39	60 K4=K-3	
40	70 IF(J0.GT.K3) GO TO 110	
41		AE(I,J0,K3)=CMPLX(C1*RISF(I,K,J,7),0.)
42		IF(J1.GT.K3) GO TO 110
43		AE(I,J1,K3)=CMPLX(0.,C2*RISF(I,J,K,8))
44		IF(J2.GT.K3) GO TO 80
45		AE(I,J2,K3)=CMPLX(0.,C2*RISF(I,K,J,10))
46		IF(J3.GT.K3) GO TO 80
47		AE(I,J3,K3)=CMPLX(C1*RISF(I,J,K,4),-C2*(RISF(I,J,K,2)+RISF(I,J,K,1)))
48	80 IF(J0.GT.K2) GO TO 110	
49		AE(I,J0,K2)=CMPLX(C1*RISF(I,K,J,9),0.)
50		IF(J1.GT.K2) GO TO 110
51		AE(I,J1,K2)=CMPLX(0.,C2*RISF(I,K,J,11))
52		IF(J2.GT.K2) GO TO 90
53		AE(I,J2,K2)=CMPLX(C1*RISF(I,J,K,4),-C2*(RISF(I,J,K,5)+RISF(I,J,K,3)))

FACOM 230-75 M7 FORTHAN-IV H COMPILER (OPT2) SOURCE PROGRAM LIST

ISN	ST-NO	SOURCE PROGRAM	(AEM)
	100)		
54	IF(J5.GT.K2)	GO TO 90	
55	AE(I,J3,K2)=CMPLX(0.,C2*RISF(I,J,K,10))		
56	90 IF(J0.GT.K1)	GO TO 110	
57	AE(I,J0,K1)=CMPLX(C1*RISF(I,K,J,6),0.)		
58	IF(J1.GT.K1)	GO TO 110	
59	AE(I,J1,K1)=CMPLX(C1*RISF(I,J,K,4),-C2*(RISF(I,J,K,1)+RISF(I,J,K,3		
	100))		
60	IF(J2.GT.K1)	GO TO 100	
61	AE(I,J2,K1)=CMPLX(0.,C2*RISF(I,J,K,11))		
62	IF(J3.GT.K1)	GO TO 100	
63	AE(I,J3,K1)=CMPLX(0.,C2*RISF(I,K,J,8))		
64	100 IF(J0.GT.K0)	GO TO 110	
65	AE(I,J0,K0)=CMPLX(C1*(RISF(I,J,K,2)+RISF(I,J,K,1)+RISF(I,J,K,3)),0		
	1.)		
66	IF(J1.GT.K0)	GO TO 110	
67	AE(I,J1,K0)=CMPLX(C1*RISF(I,J,K,6),0.)		
68	IF(J2.GT.K0)	GO TO 110	
69	AE(I,J2,K0)=CMPLX(C1*RISF(I,J,K,9),0.)		
70	IF(J3.GT.K0)	GO TO 110	
71	AE(I,J3,K0)=CMPLX(C1*RISF(I,J,K,7),0.)		
72	110 BE(I,J1)=BE(I,J1)-SMF(K4,1)*RISF(I,J,K,4)		
73	BE(I,J3)=BE(I,J3)-SMF(K4,2)*RISF(I,J,K,4)		
74	120 K0=K0+4		
75	130 J0=J0+4		
76	DO 140 J=1,24		
77	DO 140 K=1,24		
78	IF(J.LE.K)	GO TO 140	
79	AE(I,J,K)=AE(I,K,J)		
80	140 CONTINUE		
81	DO 170 J1=2,22,4		
82	J3=J1+2		
83	BE(I,J1)=C1*BE(I,J1)		
84	BE(I,J3)=C1*BE(I,J3)		
85	170 CONTINUE		
86	180 CONTINUE		
87	RETURN		
88	END		

FACOM 230-75 M7 FORTTRAN-IV H COMPILER (OPT2) SOURCE PROGRAM LIST

ISN	ST-NO	SOURCE PROGRAM
	C	SUBROUTINE CTM
1		SUBROUTINE CTM
2		DIMENSION IC(3),IO(2)
2	C	DIMENSION A(INCORE),AA(NBAND5),AI(NN),B(NEQUI),C(NN),IN(NN),JN
2	C	1(NBAND),S(NBAND),SUM(NBAND)
3		DIMENSION AC(15000),AAC(130),AI(182),BC(7875),CC(182),I
3		INC(182),JNC(125),SC(125),SUM(125)
4		COMMON /COM0/ IC,IO,IDIAG,IM,MG,IIO,N1,N2,IJ,MBAND,SS,IKO
5		COMPLEX A,AA,AI,B,C,S,SS,SUM
6		READ(5,10) INCORE,INCAL
7	10	FORMAT(2I10)
8		READ(5,20) (IO(I),I=1,2),(IC(J),J=1,3),IDIAG
9	20	FORMAT(6I10)
10		II=IU(1)
11		REWIND II
12		READ(II) NGEN,NBAND,IKO
13		IM=(NBAND+1)*NBAND/2
14		MG=(INCORE-IM)/NBAND
15		NN=NBAND+MG
16		NBAND5=NBAND+5
17		NEQUI=INCAL*(INCAL+1)/2
18		CALL INPUT1(INCORE,INCAL,NGEN,NBAND,NBAND5,NN,NEQUI,A,AA,AI,B,
		1C,IN,JN,S,SUM)
19		II=IO(2)
20		REWIND II
21		WRITE(II) NGEN,NBAND,IKO
22	30	I2=MINO(NN,NGEN-MBAND)
23		IF(NBAND-I2) 40,40,50
24	40	CALL INPUT2(INCORE,INCAL,NGEN,NBAND,NBAND5,NN,NEQUI,I2,A,AA,AI
		1,B,C,IN,JN,S,SUM)
25		I3=I2-NBAND+1
26		CALL GAUSS1(INCORE,INCAL,NGEN,NBAND,NBAND5,NN,NEQUI,I2+13,A,AA
		1,AI,B,C,IN,JN,S,SUM)
27		GO TO 30
28	50	CALL GAUSS2(INCORE,INCAL,NGEN,NBAND,NBAND5,NN,NEQUI,A,AA,AI,B,
		1C,IN,JN,S,SUM)
29		CALL BAKCA2(INCORE,INCAL,NGEN,NBAND,NBAND5,NN,NEQUI,A,AA,AI,B,
		1C,IN,JN,S,SUM)
30		RETURN
31		END

26

FACOM 230-75 M7 FORTRAN-IV H COMPILER (OPT2) SOURCE PROGRAM LIST

ISN	ST-NO	SOURCE PROGRAM
	C	SUBROUTINE INPUT1
1		SUBROUTINE INPUT1(INCORE, INCAL, NGEN, NBAND, NBAND5, NN, NEQUI, A, AA
	1, AI, B, C, IN, JN, S, SUM)	
2		DIMENSION IC(3), IO(2)
3		DIMENSION A(INCORE), AA(NBAND5), AI(NN), B(NEQUI), C(NN), IN(NN), JN
	1(NBAND), S(NBAND), SUM(NBAND)	
4		COMMON /COM0/ IC, IO, IDIAG, IM, MG, IIO, N1, N2, IJ, MBAND, SS, IKO
5		COMPLEX A, AA, AI, B, C, S, SS, SUM
6		WRITE(6,2003) INCORE, INCAL, NGEN, NBAND, NBAND5, NN, NEQUI
7		MBAND=0
8		II=IO(1)
9		IO=2
10		DO 1 I=1, INCORE
11		AI(I)=(0., 0.)
12	1	CONTINUE
13		N1=NBAND-1
14		DO 2 I=1, N1
15		S(I)=(0., 0.)
16	2	CONTINUE
17		IN(1)=0
18		DO 3 I=1, N1
19		IN(I+1)=IN(I)+1
20	3	CONTINUE
21		N2=NBAND+1
22		DO 4 I=N2, NN
23		IN(I)=IN(I-1)+NBAND
24	4	CONTINUE
25		DO 17 I=1, N1
26		READ (II) JJ, (JN(J), AA(J), J=1, IKO), C(I)
27		IF (I-JJ) 18, 5, 18
28	5	IMAX=I
29		IF (IDIAG) 7, 7, 6
30	6	AMAX=0.
31	7	DO 15 J=1, IKO
32		IF (JN(J)) 15, 15, 8
33	8	KK=JN(J)
34		IF (I-KK, LT, 0) GO TO 15
35		IF (IDIAG) 11, 11, 9
36	9	BMAX=AMAX1(ABS REAL(AA(J))), ABS(AIMAG(AA(J)))
37		IF (AMAX-BMAX) 10, 11, 11
38	10	AMAX=BMAX
39		IMAX=KK
40	11	S(I)=S(I)+AA(J)
41		IF (I-KK) 13, 12, 13
42	12	AI(I)=AA(J)
43		GO TO 14
44	13	S(KK)=S(KK)+AA(J)
45	14	LL=IN(I)+KK
46		A(LL)=AA(J)
47	15	CONTINUE
48		IF (I-IMAX) 20, 17, 20
49	17	CONTINUE
50		RETURN
51	18	WRITE (6,2000) I, JJ
52		STOP
53	20	WRITE (6,2002) I, IMAX
54		STOP

27

FACOM 230-75 M7 FORTRAN-IV H COMPILER (OPT2) SOURCE PROGRAM LIST

ISN	ST-NO	SOURCE PROGRAM (INPUT1)
55		2000 FORMAT(22H INPUT MATRIX ROW NO.,15,1H=,15)
56		2002 FORMAT(22H INPUT MATRIX ROW NO.,15,17H ABS-MAX-COL NO.,15)
57		2003 FORMAT(1H ,9X,7(15,5X))
58		END

28

FACOM 230-75 M7 FORTRAN-IV H COMPILER (OPT2) SOURCE PROGRAM LIST

ISN	ST-NO	SOURCE PROGRAM
1	C	SUBROUTINE INPUT2 SUBROUTINE INPUT2(INCORE, INCAL, NGEN, NBAND, NBANDS, NN, NEQUI, I2, A 1, AA, AI, B, C, IN, JN, S, SUM)
2		DIMENSION IC(3), IO(2)
3		DIMENSION A(INCORE), AA(NBANDS), AI(NN), B(NEQUI), C(NN), IN(NN), JN 1(NBAND), S(NBAND), SUM(NBAND)
4		COMMON /COM0/ IC, IO, IDIAG, IM, MG, IIO, N1, N2, IJ, MBAND, SS, IKO
5		COMPLEX A, AA, AI, B, C, S, SS, SUM
6		WRITE(6,2003) MBAND, I2, INCORE, INCAL, NGEN, NBAND, NBANDS, NN, NEQUI II=IO(1)
7		DO 11 I=NBAND+12
8		K2=IN(I)
9		DO 1 J=1, NBAND
10		K3=K2+J
11		A(K3)=(0.,0.)
12		1 CONTINUE
13		I3=I+MBAND
14		READ (II) JJ, (JN(J), AA(J), J=1, IKO), C(I)
15		IF(I3-JJ) 14, 2, 14
16		2 IMAX=I3
17		IF(IDIAG) 4, 4, 3
18		3 AMAX=0.
19		4 DO 9 J=1, IKO
20		IF(JN(J)) 9, 9, 5
21		5 KK=JN(J)
22		IF(I3-KK, LT, 0) GO TO 9
23		IF(IDIAG) 8, 8, 6
24		6 BMAX=AMAX1(ABS(REAL(AA(J))), ABS(AIMAG(AA(J))))
25		IF(AMAX-BMAX) 7, 8, 8
26		7 AMAX=BMAX
27		IMAX=KK
28		8 LL=KK-MBAND
29		MM=INC(I)+LL-I+NBAND
30		A(MM)=AA(J)
31		9 CONTINUE
32		IF(I3-IMAX) 15, 11, 15
33		11 CONTINUE
34		IF(NGEN-JJ) 12, 12, 13
35		12 REWIND II
36		13 RETURN
37		14 WRITE (6,2000) I3, JJ
38		STOP
39		15 WRITE (6,2002) I3, IMAX
40		STOP
41		2000 FORMAT(22H INPUT MATRIX ROW NO.,15,1H=,15)
42		2002 FORMAT(22H INPUT MATRIX ROW NO.,15,17H ABS-MAX-COL NO.,15)
43		2003 FORMAT(1H ,9X,9(15,5X))
44		END

FACOM 230-75 M7 FORTRAN-IV H COMPILER (OPT2) SOURCE PROGRAM LIST

ISN	ST-NO	SOURCE PROGRAM
	C	SUBROUTINE GAUSS1
1		SUBROUTINE GAUSS1(INCORE, INCAL, NGEN, NBAND, NBAND5, NN, NEQUI, I2, I13, A, AA, AI, B, C, IN, JN, S, SUM)
2		DIMENSION IC(3), IO(2)
3		DIMENSION A(INCORE), AA(NBANDS), AI(NN), B(NEQUI), C(NN), IN(NN), JN1(NBAND), S(NBAND), SUM(NBAND)
4		COMMON /COM0/ IC, IO, IDIAG, IM, MG, IIO, N1, N2, IJ, MBAND, SS, IKO
5		COMPLEX A, AA, AI, B, C, S, SS, SUM
6		WRITE(6,2100) MBAND, I2, INCORE, INCAL, NGEN, NBAND, NBAND5, NN, NEQUI
7	2100	FORMAT(1H , 9X, 9(15.5X))
8		DO 35 I=1, I3
9		LL=MBAND+I
10		WRITE(6,2008) MBAND, I3, I, LL
11	2008	FORMAT(1H , 9X, 4(10.5X))
12		I4=IN(NBAND)+NBAND
13		S(NBAND)=A(I4)
14		AI(NBAND)=A(I4)
15		N1=N8AND-1
16		DO 36 J=1, N1
17		I4=IN(NBAND)+J
18		S(J)=S(J)+A(I4)
19		S(NBAND)=S(NBAND)+A(I4)
20	36	CONTINUE
21		AA(2)=AI(1)
22		AA(3)=A(1)
23		AA(4)=CSQRT(A(1))
24		IF(LL-IC(1)) 3, 1, 3
25	1	AA(1)=AA(4)
26		DO 2 J=2, NBAND
27		SUM(J-1)=(0., 0.)
28	2	CONTINUE
29	3	DO 9 J=2, NBAND
30		JJ=IN(J)
31		AA(J+3)=A(JJ+1)/AA(4)
32		IF(LL-IC(1)) 5, 4, 5
33	4	AA(1)=AA(1)+AA(J+3)
34	5	DO 8 K=2, J
35		J1=IN(J-1)+K-1
36		J2=IN(J)+K
37		A(J1)=A(J2)-AA(J+3)*AA(K+3)
38		IF(LL-IC(1)) 8, 6, 8
39	6	SUM(K-1)=SUM(K-1)+A(J1)
40		IF(J-K) 7, 8, 7
41	7	SUM(J-1)=SUM(J-1)+A(J1)
42	8	CONTINUE
43	9	CONTINUE
44		AA(NBAND+4)=C(1)/AA(4)
45		AA(NBAND+5)=S(1)/AA(4)
46		DO 10 J=2, NBAND
47		C(J-1)=C(J)-AA(NBAND+4)*AA(J+3)
48		S(J-1)=S(J)-AA(NBAND+5)*AA(J+3)
49		AI(J-1)=AI(J)
50	10	CONTINUE
51		IF(I-13) 11, 13, 13
52	11	NB=NBAND+I
53		C(NBAND)=C(NB)
54		DO 12 J=1, NBAND

FACOM 230-75 M7 FORTRAN-IV H COMPILER (OPT2) SOURCE PROGRAM LIST

ISN	ST-NO	SOURCE PROGRAM (GAUSS1)
55		J1=IN(NBAND)+J
56		J2=IN(NB)+J
57		A(J1)=A(J2)
58	12	CONTINUE
59	13	MM=NBAND+5
60		II=IO(110)
61		WRITE (II) LL,(AA(J),J=2,MM)
62		WRITE(6,2006) LL,(A(J),J=1,19),A(1M)
63	2006	FORMAT(1H ,2X,15,3X,4(E12.5,1X,E12.5,5X),/,4(11X,4(E12.5,1X,E12.5,15X),/))
64		IF(LL-IC(1)) 35,15,35
65	18	J1=NBAND+5
66		SS=AA(1)-AA(J1)
67		WRITE(6,2(02) NGEN,NBAND
68	2002	FORMAT(1H1,10X,10HDIMENSION=,15,5X,6HWIDTH=,13//3X,3HNO.,,10X,15HSU 1M(RIGHT-SIDE),28X,6HSUMCHECK,27X,12HSUM-SUMCHECK)
69		WRITE(6,2003) LL,AA(1),AA(J1),SS
70		MINE=1
71	DO 21	J=1,N1
72		SS=SUM(J)-S(J)
73		JL=J+LL
74		IF(MINE=60) 20,19,19
75	19	MINE=0
76		WRITE(6,2002) NGEN,NBAND
77	20	WRITE(6,2003) JL,SUM(J),S(J),SS
78	2003	FORMAT(1X,15,3(5X,1H(,1PE14.7,2X,1PE14.7,2H1)))
79		MINE=MINE+1
80	21	CONTINUE
81		IF(IC(2).GE.IC(1)+IC(3)) IC(1)=IC(1)+IC(3)
82	35	CONTINUE
83		MBAND=MBAND+13
84		WRITE(6,2007) MBAND,I3
85	2007	FORMAT(1H ,9X,6HMBAND=,110,5X,3H13=,110)
86		RETURN
87		END

FACOM 230-75 M7 FORTRAN-IV H COMPILER (OPT2) SOURCE PROGRAM LIST

ISN	ST-NO	SOURCE PROGRAM
	C	SUBROUTINE GAUSS2 SUBROUTINE GAUSS2(INCORE, INCAL, NGEN, NBAND, NBAND5, NN, NEQUI, A, AA 1, A1, B, C, IN, JN, S, SUM) 2 DIMENSION IC(3), IO(2) 3 DIMENSION A(INCORE), AA(NBAND5), A1(NN), B(NEQUI), C(NN), IN(NN), JN 1(NBAND), S(NBAND), SUM(NBAND) 4 COMMON /COM0/ IC, IO, IDIAG, IM, MG, IIO, N1, N2, IJ, MBAND, SS, IKO 5 COMPLEX A, AA, A1, B, C, S, SS, SUM 6 WRITE(6,2100) INCORE, INCAL, NGEN, NBAND, NBAND5, NN, NEQUI 7 2100 FORMAT(1H ,9X,7(15.5X)) 8 WRITE(6,2007) IN 9 2007 FORMAT(1H ,/,3(5X,15(15.5X),/)) 10 IMAX=NBAND-1-INCAL 11 IF(IMAX) 21,21,1 12 1 DO 20 I=1,IMAX 13 WRITE(6,2006) LL, (A(J), J=1,19), A(IM) 14 2006 FORMAT(1H ,2X,15.3X,4(E12.5,1X,E12.5,5X),/,4(11X,4(E12.5,1X,E12.5, 15 15X),/)) 15 JMAX=NBAND-1-I 16 LL=MBAND+1 17 AA(2)=A1(1) 18 AA(3)=A(1) 19 AA(4)=CSQRT(A(1)) 20 IF(LL-IC(1)) 4,2,4 21 2 AA(1)=AA(4) 22 DO 3 J=1,JMAX 23 SUM(J)=(0.,0.) 24 3 CONTINUE 25 4 DO 10 J=1,JMAX 26 JJ=IN(J+1) 27 AA(J+4)=A(JJ+1)/AA(4) 28 IF(LL-IC(1)) 6,5,6 29 5 AA(1)=AA(1)+AA(J+4) 30 6 DO 9 K=1,J 31 J1=IN(J)+K 32 J2=IN(J+1)+K+1 33 A(J1)=A(J2)-AA(J+4)*AA(K+4) 34 IF(LL-IC(1)) 9,7,9 35 7 SUM(K)=SUM(K)+A(J1) 36 IF(J-K) 8,9,8 37 8 SUM(J)=SUM(J)+A(J1) 38 9 CONTINUE 39 10 CONTINUE 40 AA(JMAX+5)=C(1)/AA(4) 41 AA(JMAX+6)=S(1)/AA(4) 42 DO 11 J=1,JMAX 43 C(J)=C(J+1)-AA(JMAX+5)*AA(J+4) 44 S(J)=S(J+1)-AA(JMAX+6)*AA(J+4) 45 A1(J)=A1(J+1) 46 11 CONTINUE 47 MM=JMAX+6 48 II=IO(IIO) 49 WRITE (II) LL, (AA(J), J=2,MM) 50 IF(LL-IC(1)) 20,16,20 51 16 J1=JMAX+6 52 SS=AA(1)-AA(J1) 53 WRITE (6,2002) NGEN, NBAND

FACOM 230-75 M7 FORTRAN-IV H COMPILER (OPT2) SOURCE PROGRAM LIST

ISN	ST-NO	SOURCE PROGRAM (GAUSS2)
54	2002	FORMAT(1H1,10X,10HDIMENSION=,15,5X,6HWIDTH=,13,//,3X,3HNO.,10X,15H 1SUM(RIGHT-SIDE),28X,8HSUMCHECK,27X,12HSUM-SUMCHECK) WRITE (6,2003) LL,AA(1),AA(J1),SS
55		MINE=1
56		DO 19 J=1,JMAX
57		SS=SUM(J)-S(J)
58		JL=J+LL
59		IF(MINE=60) 18,17,17
60	17	MINE=0
61		WRITE(6,2002) NGEN,NBAND
62	18	WRITE (6,2003) JL,SUM(J),S(J),SS
63	2003	FORMAT(1X,15,3(5X,1H(,1PE14.7,2X,1PE14.7,2H)))
64		MINE=MINE+1
65	19	CONTINUE
66		IF(IC(2).GE.IC(1)+IC(3)) IC(1)=IC(1)+IC(3)
67	20	CONTINUE
68		MBAND=MBAND+IMAX
69	21	IMAX=NGEN-MBAND
70		JN(1)=0
71	DO 22	I=2,IMAX
72		JN(I)=JN(I-1)+IMAX-I+2
73	22	CONTINUE
74	DO 24	I=1,IMAX
75		DO 23 J=1,I
76		J1=IN(I)+J
77		J2=JN(J)+I-J+1
78		B(J2)=A(J1)
79	23	CONTINUE
80	24	CONTINUE
81		WRITE(6,2008) B(1),B(NQUI)
82	2008	FORMAT(1H ,9X,2(E12.5,2X,E12.5,5X))
83		CALL GAUSS3(INCORE,INCAL,NGEN,NBAND,NBAND5,NN,NQUI,IMAX,A,AA,
84		1AI,B,C,IN,JN,S,SUM)
85		RETURN
86		END

FACOM 230-75 M7 FORTRAN-IV H COMPILER (OPT2) SOURCE PROGRAM LIST

ISN	ST-NO	SOURCE PROGRAM
	C	SUBROUTINE GAUSS3 SUBROUTINE GAUSS3(INCORE, INCAL, NGEN, NBAND, NBAND5, NN, NEQUI, IMAX 1, A, AA, AI, B, C, IN, JN, S, SUM) 2 DIMENSION IC(3), IO(2) 3 DIMENSION A(INCORE), AA(NBAND5), AI(NN), B(NEQUI), C(NN), IN(NN), JN 1(NBAND), S(NBAND), SUM(NBAND) 4 COMMON /COM0/ IC, IO, IDIAG, IM, MG, IIO, N1, N2, IJ, MBAND, SS, IK0 5 COMPLEX A, AA, AI, B, C, S, SS, SUM 6 WRITE(6, 2100) 7 2100 FORMAT(1H ,9X, 7(15.5X)) 8 WRITE(6, 2007) B(1), B(NEQUI) 9 2007 FORMAT(1H ,9X, 2(E12.5, 2X, E12.5, 5X)) 10 DO 16 I=1, IMAX 11 LL=MBAND+1 12 JJ=JN(I)+1 13 AA(I)=B(JJ) 14 B(JJ)=CSQRT(B(JJ)) 15 IF(LL-IC(1)) 3, 1, 3 16 1 DO 2 J=I, IMAX 17 SUM(J)=(0., 0.) 18 2 CONTINUE 19 SUM(I)=B(JJ) 20 3 C(I)=C(I)/B(JJ) 21 S(I)=S(I)/B(JJ) 22 IF(I-IMAX) 4, 11, 11 23 4 JMIN=JN(I)+2 24 JMAX=JN(I)+IMAX-I+1 25 DO 6 J=JMIN, JMAX 26 B(J)=B(J)/B(JJ) 27 IF(LL-IC(1)) 6, 5, 6 28 5 SUM(I)=SUM(I)+B(J) 29 6 CONTINUE 30 KMIN=I+1 31 DO 10 K=KMIN, IMAX 32 J1=JN(I)+K-I+1 33 J2=JN(K) 34 DO 9 J=K, IMAX 35 J3=JN(I)+J-I+1 36 J4=J2+J-K+1 37 B(J4)=B(J4)-B(J1)*B(J3) 38 IF(LL-IC(1)) 9, 7, 9 39 7 SUM(K)=SUM(K)+B(J4) 40 IF(J-K) 8, 9, 8 41 8 SUM(J)=SUM(J)+B(J4) 42 9 CONTINUE 43 C(K)=C(K)-B(J1)*C(I) 44 S(K)=S(K)-B(J1)*S(I) 45 10 CONTINUE 46 11 IF(LL-IC(1)) 16, 12, 16 47 12 WRITE(6, 2000) NGEN, NBAND 48 2000 FORMAT(1H1, 10X, 10HDIMENSION*, 15.5X, 6HWIDTH*, 13, //3X, 3HNO., , 10X, 15HS 1UM(RIGHT-SIDE), 28X, 8HSUMCHECK, 27X, 12HSUM-SUMCHECK) 49 MINE=0 50 DO 15 J=1, IMAX 51 SS=SUM(J)-S(J) 52 JL=MBAND+J 53 IF(MINE-60) 14, 13, 13

FACOM 230-75 M7 FORTRAN-IV H COMPILER (OPT2) SOURCE PROGRAM LIST

ISN	ST-NO	SOURCE PROGRAM (GAUSS3)
54	13	MINE=0
55		WRITE (6,2000) NGEN,NBAND
56	14	WRITE (6,2001) JL,SUM(J),S(J),SS
57	2001	FORMAT(1X,I5,3(5X,1H(,1PE14.7,2X,1PE14.7,2H)))
58		MINE=MINE+1
59	15	CONTINUE
60		IF(IC(2).GE.IC(1)+IC(3)) IC(1)=IC(1)+IC(3)
61	16	CONTINUE
62		I01=4*IMAX
63		I02=IMAX*(IMAX+1)/2
64		I03=NGEN-IMAX+1
65		II=IO(IIC)
66		WRITE (II) I03,(AI(J),AA(J),C(J),S(J),J=1,IMAX)
67	DO 24	J=1,I02,10000
68		K2=J
69		IF(J+9999-I02) 22,21,21
70	21	K3=I02
71		GO TO 23
72	22	K3=J+9999
73	23	WRITE (II) (B(K),K=K2,K3)
74	24	CONTINUE
75		ENDFILE II
76		REWIND II
77		WRITE (6,2004) NGEN,NBAND,IKO,I03
78	2004	FORMAT(1H1,10X,10HDIMENSION=,I5,5X,6HWIDTH=,I5,5X,37HA NUMBER OF C
		10EFFICIENT(ONE FORMULA)=,I5,/,10X,17HLAST FORMULA NO.=,I10)
79		I1=NGEN-IMAX
80	DO 27	I=1,IMAX
81		J2=J1+1
82		A(J2)=C(I)
83	27	CONTINUE
84		II=IO(IIO)
85		I1=I03-1
86		IF(I1) 30,30,28
87	28	DO 29 I=1,11
88		READ(II)
89	29	CONTINUE
90	30	CONTINUE
91		CALL BAKCA1(INCORE,INCAL,NGEN,NBAND,NBAND5,NN,NEQUI,IMAX,A,AA,
		1AI,B,C,IN,JN,S,SUM)
92		RETURN
93		END

FACOM 230-75 M7 FORTRAN-IV H COMPILER (OPT2) SOURCE PROGRAM LIST

35

ISN	ST-NO	SOURCE PROGRAM
	C	SUBROUTINE BAKCA1
1		SUBROUTINE BAKCA1(INCORE, INCAL, NGEN, NBAND, NBANDS, NN, NEQUI, IMAX
	1, A, AA, AI, E, C, IN, JN, S, SUM)	
2	DIMENSION	IC(3), IO(2)
3	DIMENSION	A(INCORE), AA(NBAND5), AI(NN), B(NEQUI), C(NN), IN(NN), JN
	1(NRAND), S(NEAND), SUM(NBAND)	
4	COMMON /COM0/ IC, IO, IDIAG, IM, MG, IIO, N1, N2, IJ, MBAND, SS, IKO	
5	COMPLEX A, AA, AI, B, C, S, SS, SUM	
6	WRITE(6,2100) INCORE, INCAL, NGEN, NBAND, NBAND5, NN, NEQUI	
7	2100 FORMAT(1H , 9X, 7(15.5X))	
8	DO 4 I=1, IMAX	
9	J1=NGEN-1	
10	J2=IMAX-I+1	
11	JJ=JN(J2)	
12	IF(I-1) 3, 3, 1	
13	1 DO 2 J=2, 1	
14	J3=J1+J	
15	J4=JJ+J	
16	A(J1+1)=A(J1+1)-B(J4)*A(J3)	
17	2 CONTINUE	
18	3 A(J1+1)=A(J1+1)/B(JJ+1)	
19	4 CONTINUE	
20	MBAND=NGEN-IMAX+1	
21	RETURN	
22	END	

FACOM 230-75 M7 FORTRAN-IV H COMPILER (OPT2) SOURCE PROGRAM LIST

ISN	ST-NO	SOURCE PROGRAM
	C	SUBROUTINE BAKCA2 SUBROUTINE BAKCA2(INCORE, INCAL, NGEN, NBAND, NBAND5, NN, NEQUI, A, AA 1, AI, B, C, IN, JN, S, SUM) DIMENSION IC(3), IO(2) DIMENSION A(INCORE), AA(NBAND5), AI(NN), B(NEQUI), C(NN), IN(NN), JN 1(NBAND), S(NBAND), SUM(NBAND) COMMON /COM0/ IC, IO, IDIAG, IM, MG, IIO, N1, N2, IJ, MBAND, SS, IKO COMPLEX A, AA, AI, B, C, S, SS, SUM WRITE(6,2100) INCORE, INCAL, NGEN, NBAND, NBAND5, NN, NEQUI 2100 FORMAT(1H ,9X,7(15.5X)) I2=MBAND II=IC(IIO) 1 J1=NGEN+1 11 J2=NGEN+MIN0(NBAND, NGEN-I2+2) 12 I2=I2-1 13 READ (II) LL, SS, SS, (A(I), I=J1+J2), A(I2) 14 IF(I2-LL) 10, 11, 10 10 WRITE (6,2003) II, LL, I2 2003 FORMAT(1H1.4X,18HPhysical FILE NO.=,15.5X,12Hformula NO.=,15.5X,25 1HCALCULATING SOLUTION NO.=,15) 17 STOP 18 J3=J2-NGEN 19 DO 12 I=2, J3 20 J4=NGEN+I 21 J5=I2+I-1 22 A(I2)=A(I2)-A(J4)*A(J5) 23 12 CONTINUE 24 A(I2)=A(I2)/A(NGEN+1) 25 BACKSPACE II 26 BACKSPACE II 27 GO TO 14 28 19 WRITE(6,18) (A(I), I=1, NGEN) 29 18 FORMAT(1H ,/, 21(6X, 3(E12.5, 2X, E12.5, 5X), E12.5, 2X, E12.5, /)) 30 REWIND 20 31 READ(20) 32 WRITE(20) (A(I), I=1, NGEN) 33 WRITE(6,2006) IN 34 2006 FORMAT(1H ,/, 3(5X, 15(15.3X), /)) 35 17 RETURN 36 14 IF(I2=1) 19, 19+1 37 END

37

FACOM 230-75 M7 FORTRAN-IV H COMPILER (OPT2) SOURCE PROGRAM LIST

ISN	ST-NO	SOURCE PROGRAM
	C	SUBROUTINE EMC
1	C	SUBROUTINE EMC(MAXNSE,MAXMSE,MAXNPE,MAXMPE,MAXNCV,MAXNRV,MPE)
	C	DIMENSION RG(MAXNSE),ZG(MAXNSE),THETA(MAXNPE),CUPV(MAXMSE),MSE(MA 1XNSE,3),AR(MAXNSE,3),AZ(MAXNSE,3),IFD(MAXMSE,MAXMPE,4),INR(MAXNSE, 1MAXNPE)
2	C	DIMENSION RG(234),ZG(234),THETA(2),CUPV(130),MSE(1 1 234,3),AR(234,3),AZ(234,3),IFD(130, 3,4),INR(234, 1 2)
3	C	COMPLEX HSPRO,HSPTO,HSPZ0,HVPRO,HVPT0,HVPZ0,CURR1,CURR2,CURT1, 1CURT2,CURZ1,CURZ2
	C	COMPLEX POT(MAXMSE,MAXMPE,4),HR(MAXNSE,MAXNPE),HT(MAXNSE,MAXNP 1E),HZ(MAXNSE,MAXNPE),CURR(MAXNSE,MAXNPE),CURT(MAXNSE,MAXNPE),CURZ(1MAXNSE,MAXNPE),X(MAXNCV)
4	C	COMPLEX POT(130, 3,4),HR(234, 2),HT(234, 12),HZ(234, 2),CURR(234, 2),CURT(234, 2),CURZ(1 234, 2),X(501)
	C	DIMENSION NCV2(MPE),NRM(MPE),NRV(MPE,MAXNCV),A(MPE,MAXNCV),B(M 1PE)
5	C	DIMENSION NCV2(12),NRM(12),NRV(12,96),A(12,96),B(12)
6	C	COMPLEX A,B,C1,C2,CUR
7	REWIND 20	RG,ZG,THETA,AR,AZ,CUPV,MSE,IFD,INR
8	READ(20)	
9	READ(20)	X
10	DO 50	I=1,MAXMSE
11	DO 50	J=1,MAXMPE
12	DO 50	K=1,4
13	NCV=IFD(I,J,K)	
14	IF(NCV)	30,20,10
15	10 POT(I,J,K)=X(NCV)	
16	GO TO 50	
17	20 POT(I,J,K)=0.	
18	GO TO 50	
19	30 IF(K,NE,2)	GO TO 40
20	NCV1=IFD(I,J,4)	
21	POT(I,J,K)=-CUPV(I)*X(NCV1)	
22	GO TO 50	
23	40 NCV1=IFD(I,J,2)	
24	POT(I,J,K)=-CUPV(I)*X(NCV1)	
25	50 CONTINUE	
26	DO 70	I=1,MAXMSE
27	WRITE(6,60)	I,((POT(I,JO,KU),K0=1,4),JO=1,MAXMPE)
28	60 FORMAT(1H ,5X,14,3X,4(E12.5,2X,E12.5,3X),/,13X,4(E12.5,2X,E12.5,3X) 1),/,13X,4(E12.5,2X,E12.5,3X))	
29	70 CONTINUE	
30	CUR=(0.,0.)	
31	DO 110	I=1,MAXNSE
32	DO 110	J=1,MAXNPE
33	HSPRO=(0.,0.)	
34	HSPTO=(0.,0.)	
35	HSPZ0=(0.,0.)	
36	HVPRO=(0.,0.)	
37	HVPT0=(0.,0.)	
38	HVPZ0=(0.,0.)	
39	CURR1=(0.,0.)	
40	CURT1=(0.,0.)	
41	CURZ1=(0.,0.)	
42	CURR2=(0.,0.)	

FACOM 230-75 M7 FORTRAN-IV H COMPILER (OPT2) SOURCE PROGRAM LIST

ISN	ST-NO	SOURCE PROGRAM (EMC)
43		CURT2=(0.,0.)
44		CURZ2=(0.,0.)
45		DO 80 K=1,3
46		I1=MSE(I,K)
47		HSPRO=HSPR0+AR(I,K)*(POT(I1,J,1)+POT(I1,J+1,1))
48		HSPT0=HSPT0+POT(I1,J+1,1)-POT(I1,J,1)
49		HSPZ0=HSPZ0+AZ(I,K)*(POT(I1,J,1)+POT(I1,J+1,1))
50		IF(INR(I,J).EQ.0) GO TO 80
51		HVPRO=HVPRO+POT(I1,J,2)+POT(I1,J+1,2)
52		HVPT0=HVPT0+POT(I1,J,3)+POT(I1,J+1,3)
53		HVPZ0=HVPZ0+POT(I1,J,4)+POT(I1,J+1,4)
54		CURR1=CURR1+POT(I1,J+1,4)-POT(I1,J,4)
55		CURR2=CURR2+AZ(I,K)*(POT(I1,J,3)+POT(I1,J+1,3))
56		CURT1=CURT1+AZ(I,K)*(POT(I1,J,2)+POT(I1,J+1,2))
57		CURT2=CURT2+AR(I,K)*(POT(I1,J,4)+POT(I1,J+1,4))
58		CURZ1=CURZ1+AR(I,K)*(POT(I1,J,3)+POT(I1,J+1,3))
59		CURZ2=CURZ2+POT(I1,J+1,2)-POT(I1,J,2)
60		80 CONTINUE
61		RGT=RG(I)*THETA(J)*3.
62		HR(I,J)=HSPRO/2.
63		HT(I,J)=HSPT0/RGT
64		HZ(I,J)=HSPZ0/2.
65		INRO=INR(I,J)
66		IF(INRO.NE.0) GO TO 90
67		CURR(I,J)=(0.,0.)
68		CURT(I,J)=(0.,0.)
69		CURZ(I,J)=(0.,0.)
70		GO TO 95
71		90 HR(I,J)=HR(I,J)+HVPRO/6.
72		HT(I,J)=HT(I,J)+HVPT0/6.
73		HZ(I,J)=HZ(I,J)+HVPZ0/6.
74		CURR(I,J)=CURR1/RGT-CURR2/2.
75		CURT(I,J)=(CURT1-CURT2)/2.
76		CURZ(I,J)=HVPT0/RG(I)/6.+CURZ1/2.-CURZ2/RGT
77		95 WRITE(6,100) I,J,RG(I),ZG(I),HR(I,J),HT(I,J),HZ(I,J),CURR(I,J)
78		1,CURT(I,J),CURZ(I,J)
79		100 FORMAT(1H ,2X,14,3X,14,3X,2(E12.5,3X),3(E12.5,1X,E12.5,3X),/,47X,3
80		1(E12.5,1X,E12.5,3X))
81		IF(J.NE.1) GO TO 110
82		CUR=CUR+CURT(I,1)
83		110 CONTINUE
84		WRITE(6,120) CUR
85		120 FORMAT(1H ,5X,4HCUR=,E12.5,2X,E12.5)
86		DO 160 I=1,MAXMSE
87		I1=10*I-9
88		READ(30,I1) NCM,(NCV2(J),NRM(J),(NRV(J,K),A(J,K),K=1,MAXNRV),BC
89		1J),J=1,MPE)
90		IF(NCM.LE.0) GO TO 160
91		DO 150 J=1,NCM
92		C1=(0.,0.)
93		K1=NRM(J)
94		IF(K1.LE.0) GO TO 150
95		DO 130 K=1,K1
96		K2=NRV(J,K)
		C1=C1+A(J,K)*X(K2)
		130 CONTINUE
		C2=C1-B(J)

39

FACOM 230-75 M7 FORTRAN-IV H COMPILER (OPT2) SOURCE PROGRAM LIST

ISN	ST-NO	SOURCE PROGRAM (EMC)
97		WRITE(6,140) NCV2(J),C1,B(J),C2
98	140	FORMAT(1H ,9X,15.5X,3(E12.5,2X,E12.5,5X))
99	150	CONTINUE
100	160	CONTINUE
101		RETURN
102		END

40.

FACOM 230-75 GLIED (V-01.L-07) -760610-

```

NAME  NONAME,ENTRY=ELM(FTMAIN),OVLY
DOMAIN HCM,RWX,OVLY
CALL  PRVLIB,SSL
INPUT  RELBIN
* PGSLIB
* COMLIB
* PLTLIB
SGMT  SEG1
SELECT (FTMAIN)
SGMT  SEG2,CHN=SEG1
SELECT (FEM,MFD1,MFD2,1SF)
SGMT  SEG3,CHN=SEG1
SELECT (ATM,AEM)
SGMT  SEG4,CHN=SEG1
SELECT (CTM,INPUT1,INPUT2,GAUSS1,GAUSS2,GAUSS3,BAKCA1,BAKCA2)
SGMT  SEG5,CHN=SEG1
SELECT (EMC)
FIN.

```

付録 V. ベクトル・ポテンシャル法の改良

外部ベクトル・ポテンシャル $\dot{\mathbf{A}}^{(e)}$ を次の様に定義する。

$$\frac{1}{\mu} \nabla \times \nabla \times \dot{\mathbf{A}}^{(e)} = \dot{\mathbf{i}}^{(e)} \quad (V-1)$$

$$\nabla \cdot \dot{\mathbf{A}}^{(e)} = 0 \quad (V-2)$$

すでによく知られている通り、上式を満足する $\dot{\mathbf{A}}^{(e)}$ は次式で与えられる。

$$\dot{\mathbf{A}}^{(e)} = -\frac{\mu}{4\pi} \int_V \frac{\dot{\mathbf{i}}^{(e)}}{r} dV \quad (V-3)$$

この $\dot{\mathbf{A}}^{(e)}$ を用いて、ベクトル・ポテンシャル $\dot{\mathbf{a}}$ を新たに定義する。

$$\dot{\mathbf{a}} = \dot{\mathbf{A}} - \dot{\mathbf{A}}^{(e)} \quad (V-4)$$

上式の $\dot{\mathbf{A}}$ を基礎方程式 (13), (16) に代入して次式を得る。

$$\frac{1}{\mu} \nabla \times \nabla \times \dot{\mathbf{a}} + j\omega\sigma(\dot{\mathbf{a}} + \nabla \dot{\Phi}) = -j\omega\sigma \dot{\mathbf{A}}^{(e)} \quad (V-5)$$

$$\nabla \cdot \dot{\mathbf{a}} + \nabla^2 \dot{\Phi} = 0 \quad (V-6)$$

この場合のエネルギー汎関数 $\dot{I}(\dot{\mathbf{a}}, \dot{\Phi})$ は次の様になる。

$$\begin{aligned} \dot{I}(\dot{\mathbf{a}}, \dot{\Phi}) &= \sum_{V(e)} \int_{V(e)} \left[\frac{1}{2\mu} (\nabla \times \nabla \times \dot{\mathbf{a}}) + \frac{j\omega\sigma}{2} (\dot{\mathbf{a}} + \nabla \dot{\Phi})^2 \right. \\ &\quad \left. + j\omega\sigma \dot{\mathbf{A}}^{(e)} \cdot (\dot{\mathbf{a}} + \nabla \dot{\Phi}) \right] dV \end{aligned} \quad (V-7)$$

$$= \sum_{V(e)} \int_{V(e)} \left[\frac{1}{2\mu} (\nabla \times \nabla \times \dot{\mathbf{a}}) + \frac{j\omega\sigma}{2} (\dot{\mathbf{a}} + \nabla \dot{\Phi})^2 + j\omega\sigma \dot{\mathbf{A}}^{(e)} \cdot \dot{\mathbf{a}} \right] dV$$

$$+ \sum_{S(e)} \int_{S(e)} j\omega\sigma \dot{\Phi} \dot{\mathbf{A}}^{(e)} \cdot d\mathbf{S} \quad (V-8)$$

有限要素が真空の場合、上式の σ を零とおくだけでよい。又、 $S^{(e)}$ を共有する有限要素の媒質が同一の導電率を有する時、この有限要素同志の寄与が相殺されるため、上式のこの面に関する面積分の項はなくなる。

エネルギー汎関数 $\dot{I}(\dot{\mathbf{a}}, \dot{\Phi})$ を停留にする $\dot{\mathbf{a}}, \dot{\Phi}$ は、明らかに、基本方程式 (式 (V-5)) と式 (V-6) と第 2.1.1 節に述べた境界条件を満足する。